

S-8355/56/57/58 系列是一种由基准电压源、振荡电路、误差放大器、相位补偿电路、PWM 控制电路(S-8355/57 系列)、PWM / PFM 切换控制电路(S-8356/58 系列)等构成的 CMOS 升压 DC/DC 控制器。

通过使用外接低通态电阻 N 沟道功率 MOS，即可适用于需要高效率、高输出电流的应用电路上。

S-8355/57 系列产品通过以线性方式在 0 ~ 83%(250 kHz、300 kHz、600 kHz 产品为 0 ~ 78%)范围内改变占空系数的 PWM 控制电路和设定在最佳状态的误差放大电路、相位补偿电路，来获得低纹波、高效率和良好的过渡特性。

S-8356/58 系列通过 PWM / PFM 切换控制电路，在负载较轻时，将工作状态切换为占空系数为 15% 的 PFM 控制电路，可以防止因 IC 的工作电流引起的效率降低。

## ■ 特点

- 低电压工作：可保证以 0.9 V ( $I_{OUT} = 1$  mA)启动
- 低消耗电流：工作时 25.9  $\mu$ A (3.3 V、100 kHz、典型值)  
休眠时 0.5  $\mu$ A (最大值)
- 占空系数：内置 PWM / PFM 切换控制电路(S-8356/58 系列)  
15 ~ 83% (100 kHz 产品)  
15 ~ 78% (250 kHz、300 kHz、600 kHz 产品)
- 外接部件：线圈、二极管、电容器、晶体管
- 输出电压：在 1.5 ~ 6.5 V ( $V_{DD} / V_{OUT}$  分离型)之间，可以 0.1 V 为进阶单位来选择  
在 2.0 ~ 6.5 V ( $V_{DD} / V_{OUT}$  分离型以外)之间，可以 0.1 V 为进阶单位来选择
- 输出电压精度： $\pm 2.4\%$
- 振荡频率：可以设定为 100 kHz、250 kHz、300 kHz、600 kHz
- 软启动功能：6 ms (100 kHz、典型值)
- 带开/关控制功能
- 无铅、Sn 100%、无卤素\*1

\*1. 详情请参阅“■ 产品型号的构成”。

## ■ 用途

- 数码相机、电子记事本、PDA 等移动设备用电源
- CD 随身听、MD 等音响装置用电源
- 照相机、视频设备、通信设备的稳压电源
- 微机用电源

## ■ 封装

- SOT-23-3
- SOT-23-5
- SOT-89-3

■ 框图

(1) S-8357/58 系列 B、H、F 型产品  
(没有开/关控制功能)

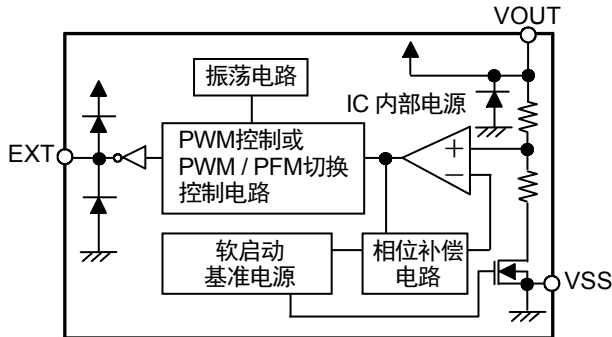


图 1

(2) S-8357/58 系列 B、H、F、N 型产品  
(备有开/关控制功能)

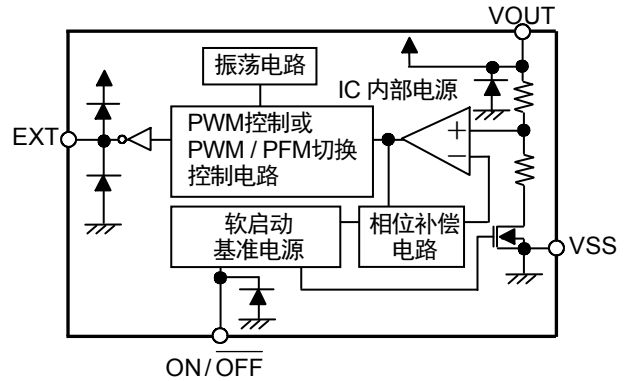


图 2

(3) S-8357/58 系列 E、J、G、P 型产品  
( $V_{DD} / V_{OUT}$  分离型)

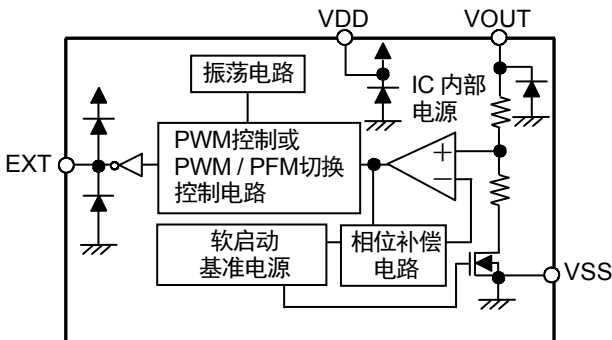


图 3

(4) S-8355/56 系列 K、L、M、Q 型产品  
(备有开/关控制功能、 $V_{DD} / V_{OUT}$  分离型)

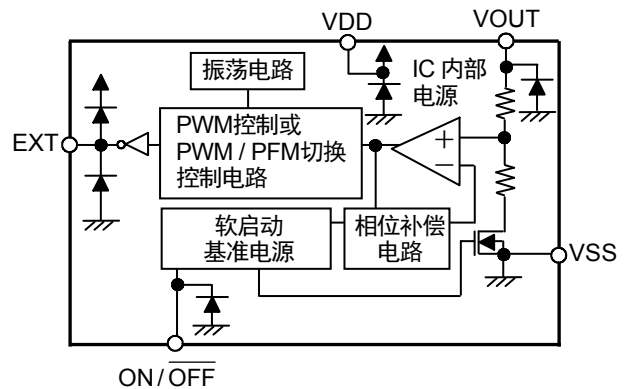


图 4

## ■ 产品型号的构成

S-8355/56/57/58 系列系列，用户可根据用途选择指定产品的控制方式、产品类型、输出电压值和封装种类。产品名上的文字含义请参阅“3. 产品名”、关于封装图面请参阅“4. 封装”、所有的产品名请参阅“5. 产品名目录”。

### 1. 功能一览表

#### (1) PWM 控制产品

表 1

产品名	开关频率 kHz	开/关控制 功能	V <sub>DD</sub> / V <sub>OUT</sub> 分离型	封装	用途
S-8355KxxMC	100	○	○	SOT-23-5	适用于需要输出电压可变且需要开/关控制功能时
S-8355LxxMC	250	○	○	SOT-23-5	适用于需要输出电压可变、备有开/关控制功能且需要薄型线圈时
S-8355MxxMC	300	○	○	SOT-23-5	适用于需要输出电压可变、备有开/关控制功能且需要薄型线圈时
S-8355QxxMC	600	○	○	SOT-23-5	适用于需要输出电压可变、备有开/关控制功能且需要薄型线圈时
S-8357BxxMC	100	○	—	SOT-23-5	适用于需要开/关控制功能时
S-8357BxxMA	100	—	—	SOT-23-3	适用于不需要开/关控制功能时
S-8357BxxUA	100	—	—	SOT-89-3	适用于不需要开/关控制功能时
S-8357ExxMC	100	—	○	SOT-23-5	适用于需要通过外部电阻调整输出电压时
S-8357FxxMC	300	○	—	SOT-23-5	适用于需要开/关控制功能且需要薄型线圈时
S-8357GxxMC	300	—	○	SOT-23-5	适用于需要输出电压可变且需要薄型线圈时
S-8357HxxMC	250	○	—	SOT-23-5	适用于需要开/关控制功能且需要薄型线圈时
S-8357JxxMC	250	—	○	SOT-23-5	适用于需要通过外部电阻调整输出电压且需要薄型线圈时
S-8357NxxMC	600	○	—	SOT-23-5	适用于需要开/关控制功能且需要薄型线圈时
S-8357PxxMC	600	—	○	SOT-23-5	适用于需要通过外部电阻调整输出电压且需要薄型线圈时

(2) PWM / PFM 切换控制产品

表 2

产品名	开关频率 kHz	开/关控制 功能	V <sub>DD</sub> / V <sub>OUT</sub> 分离型	封装	用途
S-8356KxxMC	100	○	○	SOT-23-5	适用于需要输出电压可变且需要开/关控制功能时
S-8356LxxMC	250	○	○	SOT-23-5	适用于需要输出电压可变、备有开/关控制功能且需要薄型线圈时
S-8356MxxMC	300	○	○	SOT-23-5	适用于需要输出电压可变、备有开/关控制功能且需要薄型线圈时
S-8356QxxMC	600	○	○	SOT-23-5	适用于需要输出电压可变、备有开/关控制功能且需要薄型线圈时
S-8358BxxMC	100	○	—	SOT-23-5	适用于需要开/关控制功能时
S-8358BxxMA	100	—	—	SOT-23-3	适用于不需要开/关控制功能时
S-8358BxxUA	100	—	—	SOT-89-3	适用于不需要开/关控制功能时
S-8358ExxMC	100	—	○	SOT-23-5	适用于需要通过外部电阻调整输出电压时
S-8358FxxMC	300	○	—	SOT-23-5	适用于需要开/关控制功能且需要薄型线圈时
S-8358GxxMC	300	—	○	SOT-23-5	适用于需要输出电压可变且需要薄型线圈时
S-8358HxxMC	250	○	—	SOT-23-5	适用于需要开/关控制功能且需要薄型线圈时
S-8358JxxMC	250	—	○	SOT-23-5	适用于需要通过外部电阻调整输出电压且需要薄型线圈时
S-8358NxxMC	600	○	—	SOT-23-5	适用于需要开/关控制功能且需要薄型线圈时
S-8358PxxMC	600	—	○	SOT-23-5	适用于需要通过外部电阻调整输出电压且需要薄型线圈时

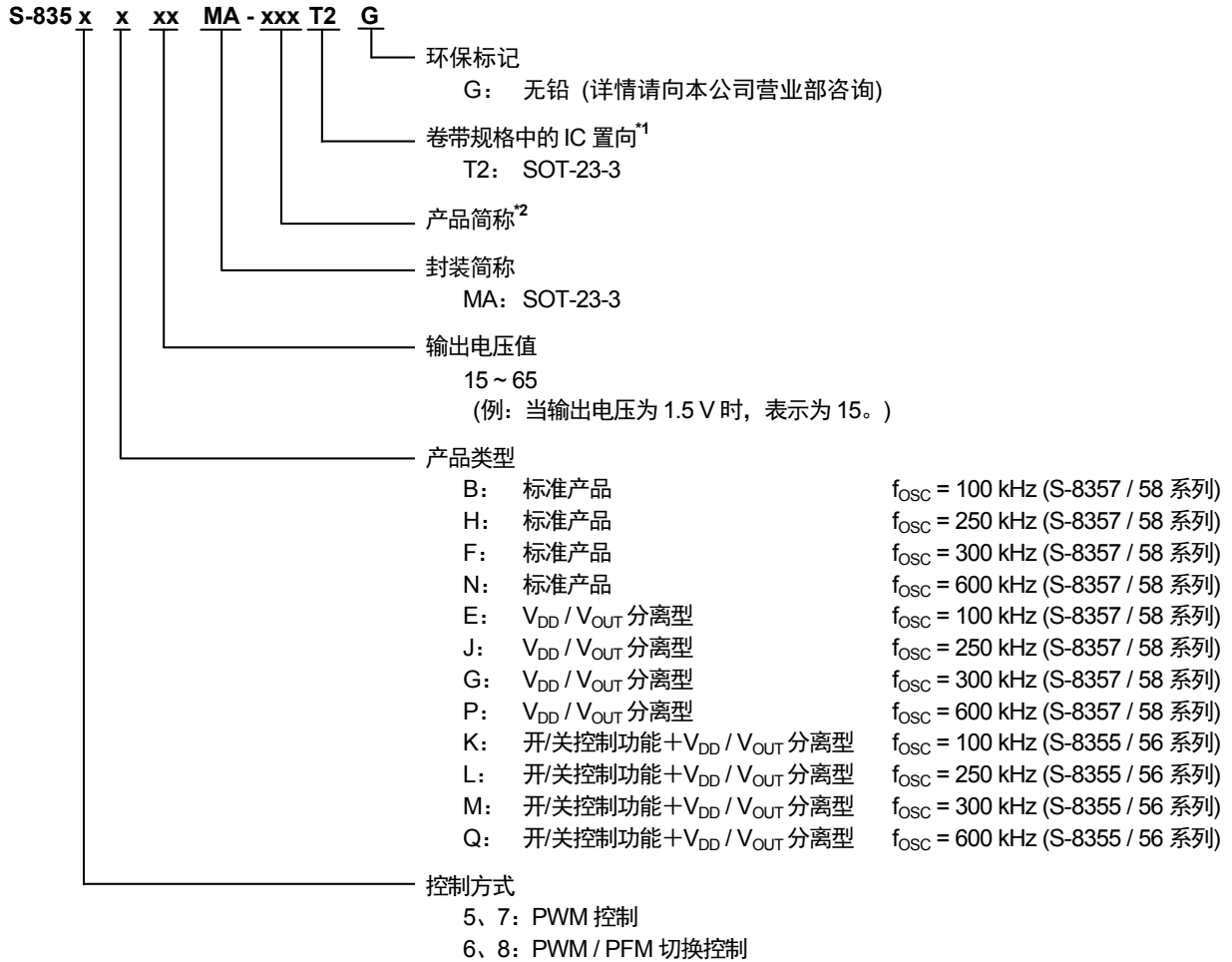
2. 各产品类型的封装以及功能的组合

表 3

系列名	类型	封装 简称	开/关控制功能 备有(○)·没有(×)	V <sub>DD</sub> / V <sub>OUT</sub> 分离型 备有(○)·没有(×)
S-8355 系列, S-8356 系列	K, L, M, Q (开/关控制功能 + V <sub>DD</sub> / V <sub>OUT</sub> 分离型) K = 100 kHz, L = 250 kHz, M = 300 kHz, Q = 600 kHz	MC	○	○
S-8357 系列	B, H, F (标准产品) B = 100 kHz, H = 250 kHz, F = 300 kHz	MA / UA	×	×
		MC	○	
	N (标准产品) N = 600 kHz	MC	○	×
	E, J, G, P (V <sub>DD</sub> / V <sub>OUT</sub> 分离型) E = 100 kHz, J = 250 kHz, G = 300 kHz, P = 600 kHz	MC	×	○
S-8358 系列	B, H, F (标准产品) B = 100 kHz, H = 250 kHz, F = 300 kHz	MA / UA	×	×
		MC	○	
	N (标准产品) N = 600 kHz	MC	○	×
	E, J, G, P (V <sub>DD</sub> / V <sub>OUT</sub> 分离型) E = 100 kHz, J = 250 kHz, G = 300 kHz, P = 600 kHz	MC	×	○

3. 产品名

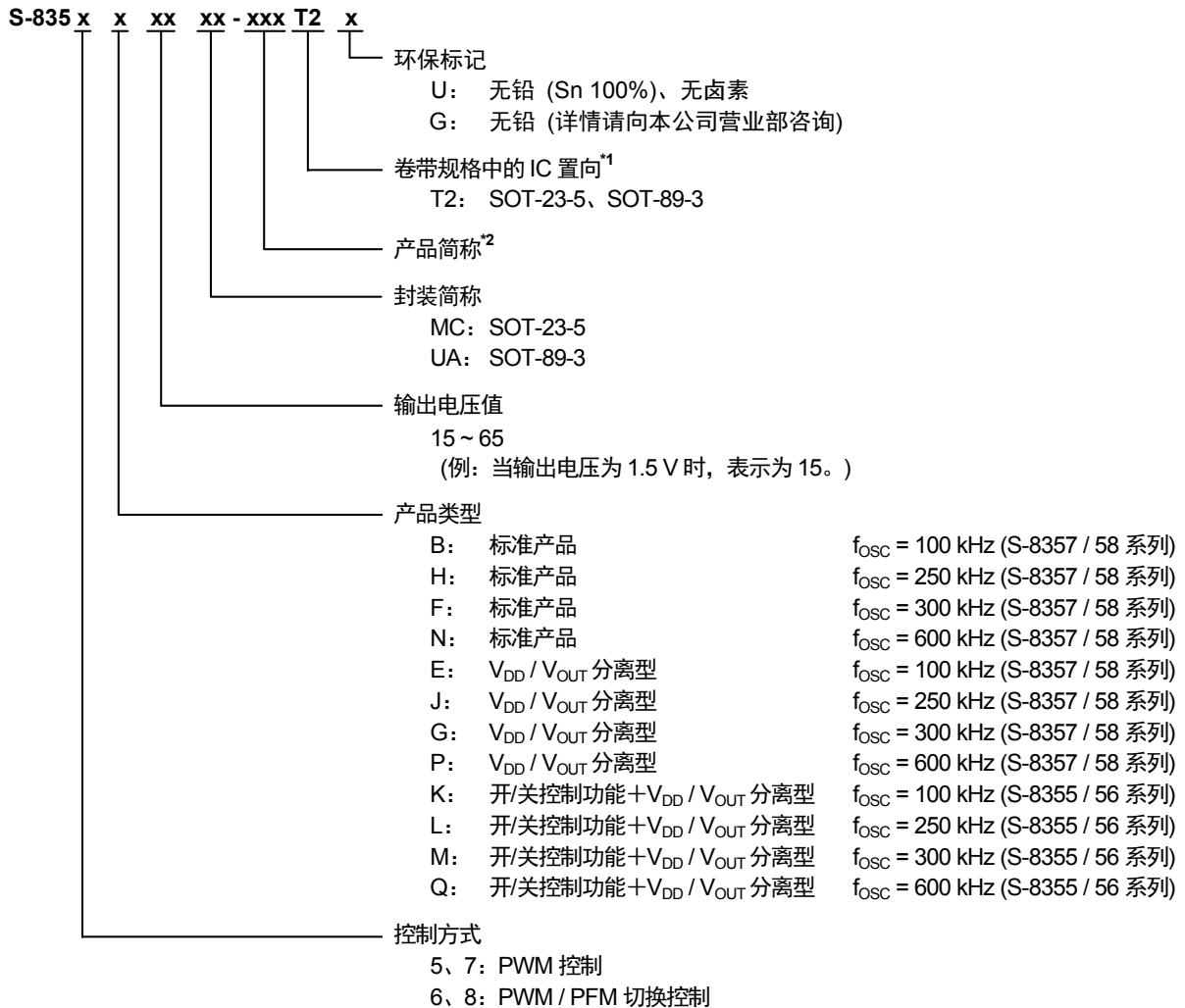
(1) SOT-23-3 封装时



\*1. 请参阅带卷图。

\*2. 请参阅“5. 产品名目录”的表 4 ~ 11。

(2) SOT-23-5、SOT-83-3 封装时



\*1. 请参阅带卷图。

\*2. 请参阅“5. 产品名目录”的表 4 ~ 11。

4. 封装

封装名	图面号码		
	封装图面	卷带图面	带卷图面
SOT-23-3	MP003-A-P-SD	MP003-A-C-SD	MP003-A-R-SD
SOT-23-5	MP005-A-P-SD	MP005-A-C-SD	MP005-A-R-SD
SOT-89-3	UP003-A-P-SD	UP003-A-C-SD	UP003-A-R-SD

5. 产品名目录

(1) S-8355 系列

表 4

输出电压	S-8355KxxMC 系列	S-8355LxxMC 系列	S-8355MxxMC 系列	S-8355QxxMC 系列
1.5 V	—	S-8355L15MC-NCAT2x	—	S-8355Q15MC-OWAT2x
1.8 V	S-8355K18MC-NADT2x	—	S-8355M18MC-MCDT2x	S-8355Q18MC-OWDT2x
2.0 V	S-8355K20MC-NAFT2x	S-8355L20MC-NCFT2x	S-8355M20MC-MCFT2x	S-8355Q20MC-OWFT2x
2.4 V	S-8355K24MC-NAJT2x	—	—	S-8355Q24MC-OWJT2x
2.8 V	—	—	—	S-8355Q28MC-OWNT2x
3.0 V	S-8355K30MC-NAPT2x	—	S-8355M30MC-MCPT2x	S-8355Q30MC-OWPT2x
3.1 V	S-8355K31MC-NAQT2x	—	S-8355M31MC-MCQT2x	S-8355Q31MC-OWQT2x
3.2 V	—	—	S-8355M32MC-MCRT2x	—
3.3 V	S-8355K33MC-NAST2x	—	—	S-8355Q33MC-OWST2x
3.4 V	—	—	S-8355M34MC-MCTT2x	S-8355Q34MC-OWTT2x
4.5 V	—	—	—	S-8355Q45MC-OXET2x
5.0 V	S-8355K50MC-NBJT2x	—	S-8355M50MC-MDJT2x	S-8355Q50MC-OXJT2x
5.1 V	—	—	—	S-8355Q51MC-OXKT2x
5.5 V	—	—	S-8355M55MC-MDOT2x	—
6.0 V	—	—	S-8355M60MC-MDTT2x	S-8355Q60MC-OXTT2x
6.5 V	—	—	S-8355M65MC-MDYT2x	—

备注 1. 用户需要上述输出电压值以外的产品时，请向本公司营业部咨询。

2. x: G 或 U

3. 用户需要 Sn 100%、无卤素产品时，请选择环保标记为“U”的产品。

(2) S-8356 系列

表 5

输出电压	S-8356KxxMC 系列	S-8356LxxMC 系列	S-8356MxxMC 系列	S-8356QxxMC 系列
1.5 V	—	—	S-8356M15MC-MEAT2x	—
1.8 V	S-8356K18MC-NEDT2x	—	S-8356M18MC-MEDT2x	S-8356Q18MC-OYDT2x
2.8 V	—	—	—	S-8356Q28MC-OYNT2x
3.0 V	S-8356K30MC-NEPT2x	S-8356L30MC-NGPT2x	S-8356M30MC-MEPT2x	S-8356Q30MC-OYPT2x
3.1 V	—	—	S-8356M31MC-MEQT2x	S-8356Q31MC-OYQT2x
3.3 V	S-8356K33MC-NEST2x	—	S-8356M33MC-MEST2x	S-8356Q33MC-OYST2x
3.5 V	—	—	S-8356M35MC-MEUT2x	S-8356Q35MC-OYUT2x
3.6 V	S-8356K36MC-NEVT2x	—	S-8356M36MC-MEVT2x	—
4.0 V	S-8356K40MC-NEZT2x	—	—	S-8356Q40MC-OYZT2x
5.0 V	S-8356K50MC-NFJT2x	—	S-8356M50MC-MFJT2x	S-8356Q50MC-OVJT2x
5.3 V	—	—	—	S-8356Q53MC-OVMT2x

备注 1. 用户需要上述输出电压值以外的产品时，请向本公司营业部咨询。

2. x: G 或 U

3. 用户需要 Sn 100%、无卤素产品时，请选择环保标记为“U”的产品。

(3) S-8357 系列

表 6

输出电压	S-8357BxxMC 系列	S-8357BxxMA 系列	S-8357BxxUA 系列	S-8357ExxMC 系列
1.5 V	—	—	—	S-8357E15MC-NKAT2x
2.0 V	—	—	—	S-8357E20MC-NKFT2x
2.5 V	S-8357B25MC-NIKT2x	—	—	—
2.6 V	S-8357B26MC-NILT2x	—	—	—
2.7 V	S-8357B27MC-NIMT2x	—	—	—
2.8 V	S-8357B28MC-NINT2x	—	—	—
3.0 V	S-8357B30MC-NIPT2x	S-8357B30MA-NIPT2G	—	S-8357E30MC-NKPT2x
3.3 V	S-8357B33MC-NIST2x	S-8357B33MA-NIST2G	S-8357B33UA-NIST2x	—
3.6 V	S-8357B36MC-NIVT2x	—	—	—
3.8 V	—	—	S-8357B38UA-NIXT2x	—
4.0 V	S-8357B40MC-NIZT2x	—	—	—
4.8 V	S-8357B48MC-NJHT2x	—	S-8357B48UA-NJHT2x	—
5.0 V	S-8357B50MC-NJJT2x	S-8357B50MA-NJJT2G	S-8357B50UA-NJJT2x	S-8357E50MC-NLJT2x
5.2 V	S-8357B52MC-NJLT2x	—	—	—
5.4 V	S-8357B54MC-NJNT2x	—	—	—
6.0 V	S-8357B60MC-NJTT2x	—	—	—

表 7

输出电压	S-8357FxxMC 系列	S-8357GxxMC 系列	S-8357HxxMC 系列	S-8357JxxMC 系列
2.0 V	—	—	—	S-8357J20MC-NOFT2x
2.5 V	—	—	—	S-8357J25MC-NOKT2x
3.0 V	S-8357F30MC-MGPT2x	—	S-8357H30MC-NMPT2x	—
3.1 V	—	—	S-8357H31MC-NMQT2x	—
3.2 V	S-8357F32MC-MGRT2x	S-8357G32MC-MIRT2x	—	—
3.3 V	S-8357F33MC-MGST2x	S-8357G33MC-MIST2x	—	—
3.5 V	—	—	S-8357H35MC-NMUT2x	—
3.6 V	S-8357F36MC-MGVT2x	—	S-8357H36MC-NMVT2x	—
4.2 V	—	—	S-8357H42MC-NNBT2x	—
5.0 V	S-8357F50MC-MHJT2x	S-8357G50MC-MJTT2x	S-8357H50MC-NNJT2x	S-8357J50MC-NPJT2x
5.2 V	S-8357F52MC-MHLT2x	—	S-8357H52MC-NNLT2x	—
6.5 V	S-8357F65MC-MHYT2x	—	—	—

表 8

输出电压	S-8357NxxMC 系列
3.0 V	S-8357N30MC-O2PT2x
3.3 V	S-8357N33MC-O2ST2x
5.0 V	S-8357N50MC-O3JT2x
5.3 V	S-8357N53MC-O3MT2U

备注 1. 用户需要上述输出电压值以外的产品时，请向本公司营业部咨询。

2. x: G 或 U

3. 用户需要 Sn 100%、无卤素产品时，请选择环保标记为“U”的产品。



(4) S-8358 系列

表 9

输出电压	S-8358BxxMC 系列	S-8358BxxMA 系列	S-8358BxxUA 系列	S-8358ExxMC 系列
2.0 V	—	—	—	S-8358E20MC-NSFT2x
2.3 V	S-8358B23MC-NQIT2x	—	—	—
2.5 V	S-8358B25MC-NQKT2x	—	—	—
2.6 V	S-8358B26MC-NQLT2x	—	—	—
2.7 V	S-8358B27MC-NQMT2x	—	—	—
2.8 V	S-8358B28MC-NQNT2x	—	—	—
3.0 V	S-8358B30MC-NQPT2x	S-8358B30MA-NQPT2G	—	—
3.1 V	S-8358B31MC-NQQT2x	—	—	—
3.2 V	S-8358B32MC-NQRT2x	—	—	—
3.3 V	S-8358B33MC-NQST2x	—	S-8358B33UA-NQST2x	—
3.5 V	S-8358B35MC-NQUT2x	—	—	—
3.6 V	S-8358B36MC-NQVT2x	—	—	—
3.8 V	S-8358B38MC-NQXT2x	—	—	—
4.0 V	S-8358B40MC-NQZT2x	—	—	—
5.0 V	S-8358B50MC-NRJT2x	S-8358B50MA-NRJT2G	S-8358B50UA-NRJT2x	S-8358E50MC-NTJT2x
5.3 V	S-8358B53MC-NRMT2x	—	—	—
6.0 V	S-8358B60MC-NRTT2x	—	S-8358B60UA-NRTT2x	—

表 10

输出电压	S-8358FxxMC 系列	S-8358GxxMC 系列	S-8358HxxMC 系列	S-8358JxxMC 系列
2.3 V	—	—	S-8358H23MC-NUIT2x	—
2.6 V	S-8358F26MC-MKLT2x	—	—	—
2.7 V	S-8358F27MC-MKMT2x	—	—	—
3.0 V	S-8358F30MC-MKPT2x	—	S-8358H30MC-NUPT2x	—
3.2 V	—	—	S-8358H32MC-NURT2x	—
3.3 V	S-8358F33MC-MKST2x	—	S-8358H33MC-NUST2x	S-8358J33MC-NWST2x
3.6 V	S-8358F36MC-MKVT2x	—	—	—
4.0 V	—	—	S-8358H40MC-NUZT2x	—
5.0 V	S-8358F50MC-MLJT2x	S-8358G50MC-MNJT2x	S-8358H50MC-NVJT2x	S-8358J50MC-NXJT2x
5.3 V	S-8358F53MC-MLMT2x	—	—	—
5.7 V	S-8358F57MC-MLQT2x	—	—	—
6.0 V	S-8358F60MC-MLTT2x	—	—	—

表 11

输出电压	S-8358NxxMC 系列	S-8358PxxMC 系列
2.0 V	—	S-8358P20MC-O8FT2x
3.0 V	S-8358N30MC-O6PT2x	—
3.3 V	S-8358N33MC-O6ST2x	—
5.0 V	S-8358N50MC-O7JT2x	—
5.2 V	—	S-8358P52MC-O9LT2x
5.3 V	S-8358N53MC-O7MT2x	—

备注 1. 用户需要上述输出电压值以外的产品时，请向本公司营业部咨询。

2. x: G 或 U

3. 用户需要 Sn 100%、无卤素产品时，请选择环保标记为“U”的产品。

■ 引脚排列图

SOT-23-3

Top view

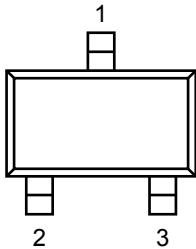


图 5

SOT-23-5

Top view

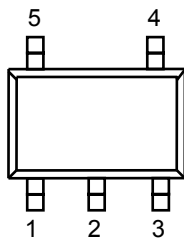


图 6

表 12 S-8357/58 系列 B、H、F 型产品  
(没有开/关控制功能、 $V_{DD}$  /  $V_{OUT}$  非分离型)

引脚号	符号	描述
1	VOUT	输出电压端子兼 IC 电源端子
2	VSS	GND 端子
3	EXT	外部晶体管连接端子

表 13 S-8355/56 系列 K、L、M、Q 型产品  
(备有开/关控制功能、 $V_{DD}$  /  $V_{OUT}$  分离型)

引脚号	符号	描述
1	VOUT	输出电压端子
2	VDD	IC 电源端子
3	ON/ $\overline{\text{OFF}}$	开/关控制端子 “H”：通常工作(升压工作) “L”：停止升压(全部电路停止)
4	VSS	GND 端子
5	EXT	外部晶体管连接端子

表 14 S-8357/58 系列 B、H、F、N 型产品  
(备有开/关控制功能、 $V_{DD}$  /  $V_{OUT}$  非分离型)

引脚号	符号	描述
1	ON/ $\overline{\text{OFF}}$	开/关控制端子 “H”：通常工作(升压工作) “L”：停止升压(全部电路停止)
2	VOUT	输出电压端子兼 IC 电源端子
3	NC <sup>*1</sup>	无连接
4	VSS	GND 端子
5	EXT	外部晶体管连接端子

\*1. NC 表示处于电气开路状态。

表 15 S-8357/58 系列 E、J、G、P 型产品  
(没有开/关控制功能、 $V_{DD}$  /  $V_{OUT}$  分离型)

引脚号	符号	描述
1	VOUT	输出电压端子
2	VDD	IC 电源端子
3	NC <sup>*1</sup>	无连接
4	VSS	GND 端子
5	EXT	外部晶体管连接端子

\*1. NC 表示处于电气开路状态。

SOT-89-3  
 Top view

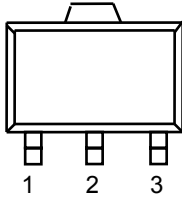


图 7

表 16 S-8357/58 系列 B、H、F 型产品  
 (没有开/关控制功能、 $V_{DD}$  /  $V_{OUT}$  非分离型)

引脚号	符号	描述
1	VSS	GND端子
2	VOUT	输出电压端子兼 IC 电源端子
3	EXT	外部晶体管连接端子

绝对最大额定值

表 17

(除特殊注明以外: Ta = 25°C)

项目	符号	绝对最大额定值	单位
VO <sub>UT</sub> 端子电压	V <sub>OUT</sub>	V <sub>SS</sub> -0.3 ~ V <sub>SS</sub> +12	V
ON/OFF 端子电压 <sup>*1</sup>	V <sub>ON/OFF</sub>	V <sub>SS</sub> -0.3 ~ V <sub>SS</sub> +12	V
VDD端子电压 <sup>*2</sup>	V <sub>DD</sub>	V <sub>SS</sub> -0.3 ~ V <sub>SS</sub> +12	V
EXT端子电压	B, H, F, N型产品	V <sub>SS</sub> -0.3 ~ V <sub>OUT</sub> +0.3	V
	上述以外	V <sub>SS</sub> -0.3 ~ V <sub>DD</sub> +0.3	V
EXT端子电流	I <sub>EXT</sub>	±80	mA
容许功耗	SOT-23-3	150 (基板未安装时)	mW
		430 <sup>*3</sup>	mW
		250 (基板未安装时)	mW
		600 <sup>*3</sup>	mW
		500 (基板未安装时)	mW
SOT-23-5	1000 <sup>*3</sup>	mW	
	500 (基板未安装时)	mW	
SOT-89-3	1000 <sup>*3</sup>	mW	
工作环境温度	T <sub>opr</sub>	-40 ~ +85	°C
保存温度	T <sub>stg</sub>	-40 ~ +125	°C

\*1. 备有开/关控制功能时

\*2. V<sub>DD</sub> / V<sub>OUT</sub>分离型产品时

\*3. 基板安装时

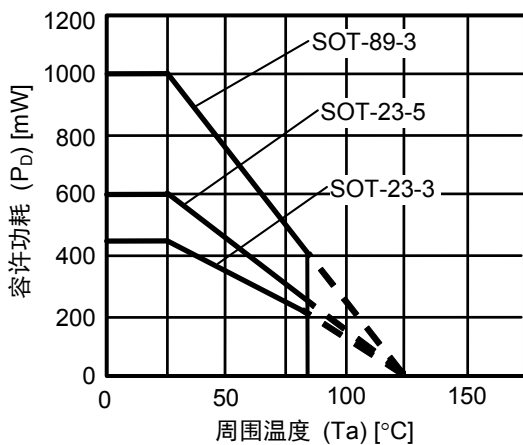
[安装基板]

(1) 基板尺寸: 114.3 mm × 76.2 mm × t1.6 mm

(2) 名称: JEDEC STANDARD51-7

注意 绝对最大额定值是指无论在任何条件下都不能超过的额定值。万一超过此额定值, 有可能造成产品劣化等物理性损伤。

(1) 基板安装时



(2) 基板未安装时

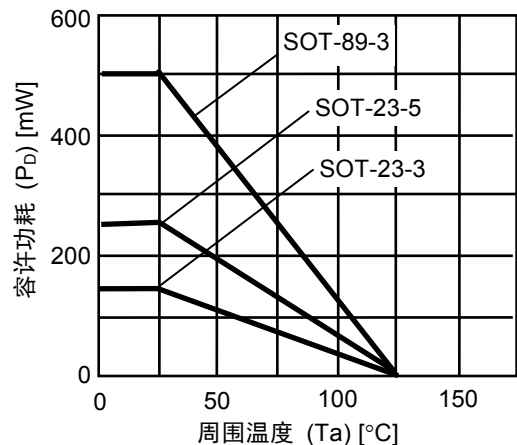


图 8 封装容许功耗

## ■ 电气特性

## (1) 100 kHz 产品 (B、E、K 型产品)

表 18 (1 / 2)

(除特殊注明以外: Ta = 25°C)

项目	符号	条件	最小值	典型值	最大值	单位	测定电路	
输出电压	$V_{OUT}$	—	$V_{OUT(S)} \times 0.976$	$V_{OUT(S)}$	$V_{OUT(S)} \times 1.024$	V	2	
输入电压	$V_{IN}$	—	—	—	10	V	2	
工作开始电压	$V_{ST1}$	$I_{OUT} = 1 \text{ mA}$	—	—	0.9	V	2	
振荡开始电压	$V_{ST2}$	没有外接, 向 $V_{OUT}$ 施加电压	—	—	0.8	V	1	
工作保持电压	$V_{HLD}$	$I_{OUT} = 1 \text{ mA}$ , 缓慢降低 $V_{IN}$ 来进行判断	0.7	—	—	V	2	
消耗电流 1	$I_{SS1}$	$V_{OUT} = V_{OUT(S)} \times 0.95$	S-835xx15 ~ 19	—	14.0	23.4	$\mu\text{A}$	1
			S-835xx20 ~ 29	—	19.7	32.9	$\mu\text{A}$	1
			S-835xx30 ~ 39	—	25.9	43.2	$\mu\text{A}$	1
			S-835xx40 ~ 49	—	32.6	54.4	$\mu\text{A}$	1
			S-835xx50 ~ 59	—	39.8	66.4	$\mu\text{A}$	1
			S-835xx60 ~ 65	—	47.3	78.9	$\mu\text{A}$	1
消耗电流 2	$I_{SS2}$	$V_{OUT} = V_{OUT(S)} + 0.5 \text{ V}$	S-835xx15 ~ 19	—	5.6	11.1	$\mu\text{A}$	1
			S-835xx20 ~ 29	—	5.8	11.5	$\mu\text{A}$	1
			S-835xx30 ~ 39	—	5.9	11.8	$\mu\text{A}$	1
			S-835xx40 ~ 49	—	6.1	12.1	$\mu\text{A}$	1
			S-835xx50 ~ 59	—	6.3	12.5	$\mu\text{A}$	1
			S-835xx60 ~ 65	—	6.4	12.8	$\mu\text{A}$	1
休眠时消耗电流 (备有开/关控制功能时)	$I_{SSS}$	$V_{ON/OFF} = 0 \text{ V}$	—	—	0.5	$\mu\text{A}$	1	
EXT 端子输出电流	$I_{EXTH}$	$V_{EXT} = V_{OUT} - 0.4 \text{ V}$	S-835xx15 ~ 19	-4.5	-8.9	—	$\text{mA}$	1
			S-835xx20 ~ 24	-6.2	-12.3	—	$\text{mA}$	1
			S-835xx25 ~ 29	-7.8	-15.7	—	$\text{mA}$	1
			S-835xx30 ~ 39	-10.3	-20.7	—	$\text{mA}$	1
			S-835xx40 ~ 49	-13.3	-26.7	—	$\text{mA}$	1
			S-835xx50 ~ 59	-16.1	-32.3	—	$\text{mA}$	1
	$I_{EXTL}$	$V_{EXT} = 0.4 \text{ V}$	S-835xx15 ~ 19	9.5	19.0	—	$\text{mA}$	1
			S-835xx20 ~ 24	12.6	25.2	—	$\text{mA}$	1
			S-835xx25 ~ 29	15.5	31.0	—	$\text{mA}$	1
			S-835xx30 ~ 39	19.2	38.5	—	$\text{mA}$	1
			S-835xx40 ~ 49	23.8	47.6	—	$\text{mA}$	1
			S-835xx50 ~ 59	27.4	54.8	—	$\text{mA}$	1
			S-835xx60 ~ 65	30.3	60.6	—	$\text{mA}$	1
			输入稳定度	$\Delta V_{OUT1}$	$V_{IN} = V_{OUT(S)} \times 0.4 \sim \times 0.6$	—	30	60
负载稳定度	$\Delta V_{OUT2}$	$I_{OUT} = 10 \mu\text{A} \sim V_{OUT(S)} / 50 \times 1.25$	—	30	60	$\text{mV}$	2	
输出电压温度系数	$\frac{\Delta V_{OUT}}{\Delta T_a \cdot V_{OUT}}$	Ta = -40 ~ +85°C	—	±50	—	$\text{ppm} / ^\circ\text{C}$	2	
振荡频率	$f_{OSC}$	$V_{OUT} = V_{OUT(S)} \times 0.95$	85	100	115	$\text{kHz}$	1	
最大占空系数	MaxDuty	$V_{OUT} = V_{OUT(S)} \times 0.95$	75	83	90	%	1	
PWM / PFM 切换占空系数 (S-8356/58 系列时)	PFMDuty	$V_{IN} = V_{OUT(S)} - 0.1 \text{ V}$ , 没有负载	10	15	24	%	1	
ON / OFF 端子输入电压 (备有开/关控制功能时)	$V_{SH}$	测定 EXT 端子振荡	0.75	—	—	V	1	
	$V_{SL1}$	判断 EXT 端子振荡停止	$V_{OUT} \geq 1.5 \text{ V}$ 时	—	—	0.3	V	1
	$V_{SL2}$		$V_{OUT} < 1.5 \text{ V}$ 时	—	—	0.2	V	1

表 18 (2 / 2)

(除特殊注明以外:  $T_a = 25^\circ\text{C}$ )

项目	符号	条件	最小值	典型值	最大值	单位	测定电路
ON/OFF 端子输入电流 (备有开/关控制功能时)	$I_{SH}$	$V_{ON/OFF} = V_{OUT(S)} \times 0.95$	-0.1	—	0.1	$\mu\text{A}$	1
	$I_{SL}$	$V_{ON/OFF} = 0\text{ V}$	-0.1	—	0.1	$\mu\text{A}$	1
软启动时间	$t_{SS}$	—	3.0	6.0	12.0	ms	2
效率	EFFI	—	—	85	—	%	2

外接部件

- 线圈: Sumida Corporation 生产 CDRH6D28-470
- 二极管: Rohm Co., Ltd.生产 RB461F(肖脱基型)
- 电容器: Nichicon Corporation 生产 F93(16 V、47  $\mu\text{F}$ 、钽型)
- 晶体管: Sanyo Electric Co., Ltd.生产 CPH3210
- 基极电阻( $R_b$ ): 1.0 k $\Omega$
- 基极电容器( $C_b$ ): 2200 pF(陶瓷型)

$V_{IN} = V_{OUT(S)} \times 0.6$  施加、 $I_{OUT} = V_{OUT(S)} / 50\ \Omega$

备有开/关控制功能时: ON/OFF 端子与  $V_{OUT}$  相连接

$V_{DD} / V_{OUT}$  分离型产品时:  $V_{DD}$  端子与  $V_{OUT}$  端子相连接

**备注 1.** 上述的  $V_{OUT(S)}$  表示输出电压设定值、 $V_{OUT}$  表示实际输出电压的典型值。

**2.** 关于  $V_{DD} / V_{OUT}$  分离型产品

本产品从  $V_{DD} = 0.8\text{ V}$  时开始升压工作, 但为了稳定输出电压、振荡频率, 请将  $V_{DD}$  控制在  $1.8\text{ V} \leq V_{DD} < 10\text{ V}$  的范围内。(不足 1.9 V 的设定产品, 请务必施加电压至  $V_{DD} \geq 1.8\text{ V}$  为止。)

## (2) 250 kHz 产品 (H、J、L 型产品)

表 19

(除特殊注明以外: Ta = 25°C)

项目	符号	条件	最小值	典型值	最大值	单位	测定电路	
输出电压	$V_{OUT}$	—	$V_{OUT(S)} \times 0.976$	$V_{OUT(S)}$	$V_{OUT(S)} \times 1.024$	V	2	
输入电压	$V_{IN}$	—	—	—	10	V	2	
工作开始电压	$V_{ST1}$	$I_{OUT} = 1 \text{ mA}$	—	—	0.9	V	2	
振荡开始电压	$V_{ST2}$	没有外接, 向 $V_{OUT}$ 施加电压	—	—	0.8	V	1	
工作保持电压	$V_{HLD}$	$I_{OUT} = 1 \text{ mA}$ , 缓慢降低 $V_{IN}$ 来进行判断	0.7	—	—	V	2	
消耗电流 1	$I_{SS1}$	$V_{OUT} = V_{OUT(S)} \times 0.95$	S-835xx15 ~ 19	—	28.9	48.2	$\mu\text{A}$	1
			S-835xx20 ~ 29	—	42.7	71.1	$\mu\text{A}$	1
			S-835xx30 ~ 39	—	58.0	96.7	$\mu\text{A}$	1
			S-835xx40 ~ 49	—	74.5	124.1	$\mu\text{A}$	1
			S-835xx50 ~ 59	—	92.0	153.4	$\mu\text{A}$	1
			S-835xx60 ~ 65	—	110.5	184.2	$\mu\text{A}$	1
消耗电流 2	$I_{SS2}$	$V_{OUT} = V_{OUT(S)} + 0.5 \text{ V}$	S-835xx15 ~ 19	—	8.7	17.3	$\mu\text{A}$	1
			S-835xx20 ~ 29	—	8.8	17.6	$\mu\text{A}$	1
			S-835xx30 ~ 39	—	9.0	18.0	$\mu\text{A}$	1
			S-835xx40 ~ 49	—	9.2	18.3	$\mu\text{A}$	1
			S-835xx50 ~ 59	—	9.3	18.6	$\mu\text{A}$	1
			S-835xx60 ~ 65	—	9.5	19.0	$\mu\text{A}$	1
休眠时消耗电流 (备有开/关控制功能时)	$I_{SSS}$	$V_{ON/OFF} = 0 \text{ V}$	—	—	0.5	$\mu\text{A}$	1	
EXT 端子输出电流	$I_{EXTH}$	$V_{EXT} = V_{OUT} - 0.4 \text{ V}$	S-835xx15 ~ 19	-4.5	-8.9	—	mA	1
			S-835xx20 ~ 24	-6.2	-12.3	—	mA	1
			S-835xx25 ~ 29	-7.8	-15.7	—	mA	1
			S-835xx30 ~ 39	-10.3	-20.7	—	mA	1
			S-835xx40 ~ 49	-13.3	-26.7	—	mA	1
			S-835xx50 ~ 59	-16.1	-32.3	—	mA	1
			S-835xx60 ~ 65	-18.9	-37.7	—	mA	1
	$I_{EXTL}$	$V_{EXT} = 0.4 \text{ V}$	S-835xx15 ~ 19	9.5	19.0	—	mA	1
			S-835xx20 ~ 24	12.6	25.2	—	mA	1
			S-835xx25 ~ 29	15.5	31.0	—	mA	1
			S-835xx30 ~ 39	19.2	38.5	—	mA	1
			S-835xx40 ~ 49	23.8	47.6	—	mA	1
			S-835xx50 ~ 59	27.4	54.8	—	mA	1
			S-835xx60 ~ 65	30.3	60.6	—	mA	1
输入稳定度	$\Delta V_{OUT1}$	$V_{IN} = V_{OUT(S)} \times 0.4 \sim \times 0.6$	—	30	60	mV	2	
负载稳定度	$\Delta V_{OUT2}$	$I_{OUT} = 10 \mu\text{A} \sim V_{OUT(S)} / 50 \times 1.25$	—	30	60	mV	2	
输出电压温度系数	$\frac{\Delta V_{OUT}}{\Delta T_a \cdot V_{OUT}}$	Ta = -40 ~ +85°C	—	±50	—	ppm / °C	2	
振荡频率	$f_{OSC}$	$V_{OUT} = V_{OUT(S)} \times 0.95$	212.5	250	287.5	kHz	1	
最大占空系数	MaxDuty	$V_{OUT} = V_{OUT(S)} \times 0.95$	70	78	85	%	1	
PWM / PFM 切换占空系数 (S-8356/58 系列时)	PFMDuty	$V_{IN} = V_{OUT(S)} - 0.1 \text{ V}$ , 没有负载	10	15	24	%	1	
ON / OFF 端子输入电压 (备有开/关控制功能时)	$V_{SH}$	测定 EXT 端子振荡	0.75	—	—	V	1	
	$V_{SL1}$	判断 EXT 端子振荡停止	$V_{OUT} \geq 1.5 \text{ V}$ 时	—	—	0.3	V	1
	$V_{SL2}$		$V_{OUT} < 1.5 \text{ V}$ 时	—	—	0.2	V	1
ON / OFF 端子输入电流 (备有开/关控制功能时)	$I_{SH}$	$V_{ON/OFF} = V_{OUT(S)} \times 0.95$	-0.1	—	0.1	$\mu\text{A}$	1	
	$I_{SL}$	$V_{ON/OFF} = 0 \text{ V}$	-0.1	—	0.1	$\mu\text{A}$	1	
软启动时间	$t_{SS}$	—	1.5	3.0	6.0	ms	2	
效率	EFF1	—	—	85	—	%	2	

外接部件

线圈:	Sumida Corporation 生产 CDRH6D28-220
二极管:	Rohm Co., Ltd.生产 RB461F(肖脱基型)
电容器:	Nichicon Corporation 生产 F93(16 V、47 $\mu$ F、钽型)
晶体管:	Sanyo Electric Co., Ltd.生产 CPH3210
基极电阻( $R_b$ ):	1.0 k $\Omega$
基极电容器( $C_b$ ):	2200 pF(陶瓷型)

$V_{IN} = V_{OUT(S)} \times 0.6$  施加、 $I_{OUT} = V_{OUT(S)} / 50 \Omega$

备有开/关控制功能时: ON/ $\overline{\text{OFF}}$  端子与  $V_{OUT}$  相连接

$V_{DD} / V_{OUT}$  分离型产品时:  $V_{DD}$  端子与  $V_{OUT}$  端子相连接

**备注 1.** 上述的  $V_{OUT(S)}$  表示输出电压设定值、 $V_{OUT}$  表示实际输出电压的典型值。

**2.** 关于  $V_{DD} / V_{OUT}$  分离型产品

本产品从  $V_{DD} = 0.8 \text{ V}$  时开始升压工作, 但为了稳定输出电压、振荡频率, 请将  $V_{DD}$  控制在  $1.8 \text{ V} \leq V_{DD} < 10 \text{ V}$  的范围内。(不足 1.9 V 的设定产品, 请务必施加电压至  $V_{DD} \geq 1.8 \text{ V}$  为止。)



## (3) 300 kHz 产品 (F、G、M 型产品)

表 20

(除特殊注明以外: Ta = 25°C)

项目	符号	条件	最小值	典型值	最大值	单位	测定电路	
输出电压	$V_{OUT}$	—	$V_{OUT(S)} \times 0.976$	$V_{OUT(S)}$	$V_{OUT(S)} \times 1.024$	V	2	
输入电压	$V_{IN}$	—	—	—	10	V	2	
工作开始电压	$V_{ST1}$	$I_{OUT} = 1 \text{ mA}$	—	—	0.9	V	2	
振荡开始电压	$V_{ST2}$	没有外接, 向 $V_{OUT}$ 施加电压	—	—	0.8	V	1	
工作保持电压	$V_{HLD}$	$I_{OUT} = 1 \text{ mA}$ , 缓慢降低 $V_{IN}$ 来进行判断	0.7	—	—	V	2	
消耗电流 1	$I_{SS1}$	$V_{OUT} = V_{OUT(S)} \times 0.95$	S-835xx15 ~ 19	—	33.8	56.4	$\mu\text{A}$	1
			S-835xx20 ~ 29	—	50.3	83.9	$\mu\text{A}$	1
			S-835xx30 ~ 39	—	68.6	114.4	$\mu\text{A}$	1
			S-835xx40 ~ 49	—	88.4	147.4	$\mu\text{A}$	1
			S-835xx50 ~ 59	—	109.4	182.4	$\mu\text{A}$	1
			S-835xx60 ~ 65	—	131.6	219.3	$\mu\text{A}$	1
消耗电流 2	$I_{SS2}$	$V_{OUT} = V_{OUT(S)} + 0.5 \text{ V}$	S-835xx15 ~ 19	—	9.7	19.4	$\mu\text{A}$	1
			S-835xx20 ~ 29	—	9.9	19.7	$\mu\text{A}$	1
			S-835xx30 ~ 39	—	10.0	20.0	$\mu\text{A}$	1
			S-835xx40 ~ 49	—	10.2	20.4	$\mu\text{A}$	1
			S-835xx50 ~ 59	—	10.4	20.7	$\mu\text{A}$	1
			S-835xx60 ~ 65	—	10.5	21.0	$\mu\text{A}$	1
休眠时消耗电流 (备有开/关控制功能时)	$I_{SSS}$	$V_{ON/OFF} = 0 \text{ V}$	—	—	0.5	$\mu\text{A}$	1	
EXT 端子输出电流	$I_{EXTH}$	$V_{EXT} = V_{OUT} - 0.4 \text{ V}$	S-835xx15 ~ 19	-4.5	-8.9	—	$\text{mA}$	1
			S-835xx20 ~ 24	-6.2	-12.3	—	$\text{mA}$	1
			S-835xx25 ~ 29	-7.8	-15.7	—	$\text{mA}$	1
			S-835xx30 ~ 39	-10.3	-20.7	—	$\text{mA}$	1
			S-835xx40 ~ 49	-13.3	-26.7	—	$\text{mA}$	1
			S-835xx50 ~ 59	-16.1	-32.3	—	$\text{mA}$	1
			S-835xx60 ~ 65	-18.9	-37.7	—	$\text{mA}$	1
	$I_{EXTL}$	$V_{EXT} = 0.4 \text{ V}$	S-835xx15 ~ 19	9.5	19.0	—	$\text{mA}$	1
			S-835xx20 ~ 24	12.6	25.2	—	$\text{mA}$	1
			S-835xx25 ~ 29	15.5	31.0	—	$\text{mA}$	1
			S-835xx30 ~ 39	19.2	38.5	—	$\text{mA}$	1
			S-835xx40 ~ 49	23.8	47.6	—	$\text{mA}$	1
			S-835xx50 ~ 59	27.4	54.8	—	$\text{mA}$	1
			S-835xx60 ~ 65	30.3	60.6	—	$\text{mA}$	1
输入稳定度	$\Delta V_{OUT1}$	$V_{IN} = V_{OUT(S)} \times 0.4 \sim \times 0.6$	—	30	60	mV	2	
负载稳定度	$\Delta V_{OUT2}$	$I_{OUT} = 10 \mu\text{A} \sim V_{OUT(S)} / 50 \times 1.25$	—	30	60	mV	2	
输出电压温度系数	$\frac{\Delta V_{OUT}}{\Delta T_a \cdot V_{OUT}}$	$T_a = -40 \sim +85^\circ\text{C}$	—	$\pm 50$	—	ppm / °C	2	
振荡频率	$f_{OSC}$	$V_{OUT} = V_{OUT(S)} \times 0.95$	255	300	345	kHz	1	
最大占空系数	MaxDuty	$V_{OUT} = V_{OUT(S)} \times 0.95$	70	78	85	%	1	
PWM / PFM 切换占空系数 (S-8356/58 系列时)	PFMDuty	$V_{IN} = V_{OUT(S)} - 0.1 \text{ V}$ , 没有负载	10	15	24	%	1	
ON / OFF 端子输入电压 (备有开/关控制功能时)	$V_{SH}$	测定 EXT 端子振荡	0.75	—	—	V	1	
	$V_{SL1}$	判断 EXT 端子振荡停止	$V_{OUT} \geq 1.5 \text{ V}$ 时	—	—	0.3	V	1
	$V_{SL2}$		$V_{OUT} < 1.5 \text{ V}$ 时	—	—	0.2	V	1
ON / OFF 端子输入电流 (备有开/关控制功能时)	$I_{SH}$	$V_{ON/OFF} = V_{OUT(S)} \times 0.95$	-0.1	—	0.1	$\mu\text{A}$	1	
	$I_{SL}$	$V_{ON/OFF} = 0 \text{ V}$	-0.1	—	0.1	$\mu\text{A}$	1	
软启动时间	$t_{SS}$	—	1.5	3.0	6.0	ms	2	
效率	EFFI	—	—	85	—	%	2	

外接部件

线圈:	Sumida Corporation 生产 CDRH6D28-220
二极管:	Rohm Co., Ltd.生产 RB461F(肖脱基型)
电容器:	Nichicon Corporation 生产 F93(16 V、47 $\mu$ F、钽型)
晶体管:	Sanyo Electric Co., Ltd.生产 CPH3210
基极电阻( $R_b$ ):	1.0 k $\Omega$
基极电容器( $C_b$ ):	2200 pF(陶瓷型)

$V_{IN} = V_{OUT(S)} \times 0.6$  施加、 $I_{OUT} = V_{OUT(S)} / 50 \Omega$

备有开/关控制功能时: ON/OFF 端子与  $V_{OUT}$  相连接

$V_{DD} / V_{OUT}$  分离型产品时:  $V_{DD}$  端子与  $V_{OUT}$  端子相连接

**备注 1.** 上述的  $V_{OUT(S)}$  表示输出电压设定值、 $V_{OUT}$  表示实际输出电压的典型值。

**2.** 关于  $V_{DD} / V_{OUT}$  分离型产品

本产品从  $V_{DD} = 0.8 V$  时开始升压工作, 但为了稳定输出电压、振荡频率, 请将  $V_{DD}$  控制在  $1.8 V \leq V_{DD} < 10 V$  的范围内。(不足 1.9 V 的设定产品, 请务必施加电压至  $V_{DD} \geq 1.8 V$  为止。)

(4) 600 kHz 产品 (N 型产品)

表 21

(除特殊注明以外: Ta = 25°C)

项目	符号	条件	最小值	典型值	最大值	单位	测定电路	
输出电压	$V_{OUT}$	—	$V_{OUT(S)} \times 0.976$	$V_{OUT(S)}$	$V_{OUT(S)} \times 1.024$	V	2	
输入电压	$V_{IN}$	—	—	—	10	V	2	
工作开始电压	$V_{ST1}$	$I_{OUT} = 1 \text{ mA}$	—	—	0.9	V	2	
振荡开始电压	$V_{ST2}$	没有外接, 向 $V_{OUT}$ 施加电压	—	—	0.8	V	1	
工作保持电压	$V_{HLD}$	$I_{OUT} = 1 \text{ mA}$ , 缓慢降低 $V_{IN}$ 来进行判断	0.7	—	—	V	2	
消耗电流 1	$I_{SS1}$	$V_{OUT} = V_{OUT(S)} \times 0.95$	S-835xx15 ~ 19	—	63.6	105.9	$\mu\text{A}$	1
			S-835xx20 ~ 29	—	96.4	160.6	$\mu\text{A}$	1
			S-835xx30 ~ 39	—	132.8	221.3	$\mu\text{A}$	1
			S-835xx40 ~ 49	—	172.2	286.9	$\mu\text{A}$	1
			S-835xx50 ~ 59	—	214.0	356.7	$\mu\text{A}$	1
消耗电流 2	$I_{SS2}$	$V_{OUT} = V_{OUT(S)} + 0.5 \text{ V}$	S-835xx15 ~ 19	—	15.9	31.8	$\mu\text{A}$	1
			S-835xx20 ~ 29	—	16.1	32.1	$\mu\text{A}$	1
			S-835xx30 ~ 39	—	16.2	32.4	$\mu\text{A}$	1
			S-835xx40 ~ 49	—	16.4	32.8	$\mu\text{A}$	1
			S-835xx50 ~ 59	—	16.6	33.1	$\mu\text{A}$	1
休眠时消耗电流	$I_{SSS}$	$V_{ON/OFF} = 0 \text{ V}$	S-835xx60 ~ 65	—	16.7	33.3	$\mu\text{A}$	1
			—	—	—	0.5	$\mu\text{A}$	1
EXT 端子输出电流	$I_{EXTH}$	$V_{EXT} = V_{OUT} - 0.4 \text{ V}$	S-835xx15 ~ 19	-4.5	-8.9	—	$\text{mA}$	1
			S-835xx20 ~ 24	-6.2	-12.3	—	$\text{mA}$	1
			S-835xx25 ~ 29	-7.8	-15.7	—	$\text{mA}$	1
			S-835xx30 ~ 39	-10.3	-20.7	—	$\text{mA}$	1
			S-835xx40 ~ 49	-13.3	-26.7	—	$\text{mA}$	1
			S-835xx50 ~ 59	-16.1	-32.3	—	$\text{mA}$	1
	$I_{EXTL}$	$V_{EXT} = 0.4 \text{ V}$	S-835xx60 ~ 65	-18.9	-37.7	—	$\text{mA}$	1
			S-835xx15 ~ 19	9.5	19.0	—	$\text{mA}$	1
			S-835xx20 ~ 24	12.6	25.2	—	$\text{mA}$	1
			S-835xx25 ~ 29	15.5	31.0	—	$\text{mA}$	1
			S-835xx30 ~ 39	19.2	38.5	—	$\text{mA}$	1
			S-835xx40 ~ 49	23.8	47.6	—	$\text{mA}$	1
			S-835xx50 ~ 59	27.4	54.8	—	$\text{mA}$	1
			S-835xx60 ~ 65	30.3	60.6	—	$\text{mA}$	1
输入稳定度	$\Delta V_{OUT1}$	$V_{IN} = V_{OUT(S)} \times 0.4 \sim 0.6$	—	30	60	mV	2	
负载稳定度	$\Delta V_{OUT2}$	$I_{OUT} = 10 \mu\text{A} \sim V_{OUT(S)} / 50 \times 1.25$	—	30	60	mV	2	
输出电压温度系数	$\frac{\Delta V_{OUT}}{\Delta T_a \cdot V_{OUT}}$	$T_a = -40 \sim +85^\circ\text{C}$	—	$\pm 50$	—	ppm / °C	2	
振荡频率	$f_{OSC}$	$V_{OUT} = V_{OUT(S)} \times 0.95$	510	600	690	kHz	1	
最大占空系数	MaxDuty	$V_{OUT} = V_{OUT(S)} \times 0.95$	65	78	85	%	1	
PWM / PFM 切换占空系数 (S-8356/58 系列时)	PFMDuty	$V_{IN} = V_{OUT(S)} - 0.1 \text{ V}$ , 没有负载	10	15	24	%	1	
ON / OFF 端子输入电压	$V_{SH}$	测定 EXT 端子振荡	0.75	—	—	V	1	
	$V_{SL1}$	判断 EXT 端子振荡停止	$V_{OUT} \geq 1.5 \text{ V}$ 时	—	—	0.3	V	1
	$V_{SL2}$		$V_{OUT} < 1.5 \text{ V}$ 时	—	—	0.2	V	1
ON / OFF 端子输入电流	$I_{SH}$	$V_{ON/OFF} = V_{OUT(S)} \times 0.95$	-0.1	—	0.1	$\mu\text{A}$	1	
	$I_{SL}$	$V_{ON/OFF} = 0 \text{ V}$	-0.1	—	0.1	$\mu\text{A}$	1	
软启动时间	$t_{SS}$	—	1.5	3.0	6.0	ms	2	
效率	EFFI	—	—	85	—	%	2	

外接部件

线圈:	Sumida Corporation 生产 CDRH6D28-100
二极管:	Rohm Co., Ltd.生产 RB461F(肖脱基型)
电容器:	Nichicon Corporation 生产 F93(16 V、47 $\mu$ F、钽型)
晶体管:	Sanyo Electric Co., Ltd.生产 CPH3210
基极电阻( $R_b$ ):	1.0 k $\Omega$
基极电容器( $C_b$ ):	2200 pF(陶瓷型)

$V_{IN} = V_{OUT(S)} \times 0.6$  施加、 $I_{OUT} = V_{OUT(S)} / 50 \Omega$ 、ON/OFF =  $\overline{V_{OUT}}$

**备注** 上述的  $V_{OUT(S)}$  表示输出电压设定值、 $V_{OUT}$  表示实际输出电压的典型值。

(5) 600 kHz 产品 (P、Q 型产品)

表 22

(除特殊注明以外: Ta = 25°C)

项目	符号	条件	最小值	典型值	最大值	单位	测定电路	
输出电压	V <sub>OUT</sub>	—	V <sub>OUT(S)</sub> × 0.976	V <sub>OUT(S)</sub>	V <sub>OUT(S)</sub> × 1.024	V	4	
输入电压	V <sub>IN</sub>	—	—	—	10	V	4	
工作开始电压	V <sub>ST1</sub>	I <sub>OUT</sub> = 1 mA	—	—	0.9	V	4	
振荡开始电压	V <sub>ST2</sub>	没有外接, 向 V <sub>OUT</sub> 施加电压	—	—	0.8	V	3	
工作保持电压	V <sub>HLD</sub>	I <sub>OUT</sub> = 1 mA, 缓慢降低 V <sub>IN</sub> 来进行判断	0.7	—	—	V	4	
消耗电流 1	I <sub>SS1</sub>	V <sub>DD</sub> = 3.3 V	—	132.8	221.3	μA	3	
消耗电流 2	I <sub>SS2</sub>	V <sub>DD</sub> = 3.3 V	—	16.2	32.4	μA	3	
休眠时消耗电流 (备有开/关控制功能时)	I <sub>SSS</sub>	V <sub>ON/OFF</sub> = 0 V	—	—	0.5	μA	3	
EXT 端子输出电流	I <sub>EXTH</sub>	V <sub>DD</sub> = 3.3 V	-10.3	-20.7	—	mA	3	
	I <sub>EXTL</sub>	V <sub>DD</sub> = 3.3 V	19.2	38.5	—	mA	3	
输入稳定度	ΔV <sub>OUT1</sub>	V <sub>IN</sub> = V <sub>OUT(S)</sub> × 0.4 ~ × 0.6	—	30	60	mV	4	
负载稳定度	ΔV <sub>OUT2</sub>	I <sub>OUT</sub> = 10 μA ~ V <sub>OUT(S)</sub> / 50 × 1.25	—	30	60	mV	4	
输出电压温度系数	$\frac{\Delta V_{OUT}}{\Delta T_a \cdot V_{OUT}}$	Ta = -40 ~ +85°C	—	±50	—	ppm / °C	4	
振荡频率	f <sub>OSC</sub>	V <sub>DD</sub> = 3.3 V	510	600	690	kHz	3	
最大占空系数	MaxDuty	V <sub>DD</sub> = 3.3 V	65	78	85	%	3	
PWM / PFM 切换占空系数 (S-8356/58 系列时)	PFMDuty	V <sub>IN</sub> = V <sub>OUT(S)</sub> - 0.1 V, 没有负载	10	15	24	%	3	
ON / OFF 端子输入电压 (备有开/关控制功能时)	V <sub>SH</sub>	测定 EXT 端子振荡	0.75	—	—	V	3	
	V <sub>SL1</sub>	判断 EXT 端子振荡停止	V <sub>OUT</sub> ≥ 1.5 V 时	—	—	0.3	V	3
	V <sub>SL2</sub>		V <sub>OUT</sub> < 1.5 V 时	—	—	0.2	V	3
ON / OFF 端子输入电流 (备有开/关控制功能时)	I <sub>SH</sub>	V <sub>ON/OFF</sub> = V <sub>OUT(S)</sub> × 0.95	-0.1	—	0.1	μA	3	
	I <sub>SL</sub>	V <sub>ON/OFF</sub> = 0 V	-0.1	—	0.1	μA	3	
软启动时间	t <sub>SS</sub>	—	1.5	3.0	6.0	ms	4	
效率	EFFI	—	—	85	—	%	4	

外接部件

- 线圈: Sumida Corporation 生产 CDRH6D28-100
- 二极管: Rohm Co., Ltd. 生产 RB461F(肖脱基型)
- 电容器: Nichicon Corporation 生产 F93(16 V、47 μF、钽型)
- 晶体管: Sanyo Electric Co., Ltd. 生产 CPH3210
- 基极电阻(R<sub>b</sub>): 1.0 kΩ
- 基极电容器(C<sub>b</sub>): 2200 pF(陶瓷型)

V<sub>IN</sub> = V<sub>OUT(S)</sub> × 0.6 施加、I<sub>OUT</sub> = V<sub>OUT(S)</sub> / 50 Ω、V<sub>DD</sub> = ON/OFF = V<sub>OUT</sub>

备注 1. 上述的 V<sub>OUT(S)</sub> 表示输出电压设定值、V<sub>OUT</sub> 表示实际输出电压的典型值。

2. 关于 V<sub>DD</sub> / V<sub>OUT</sub> 分离型产品

本产品从 V<sub>DD</sub> = 0.8 V 时开始升压工作, 但为了稳定输出电压、振荡频率, 请将 V<sub>DD</sub> 控制在 1.8 V ≤ V<sub>DD</sub> < 10 V 的范围内。(不足 1.9 V 的设定产品, 请务必施加电压至 V<sub>DD</sub> ≥ 1.8 V 为止。)

■ 测定电路

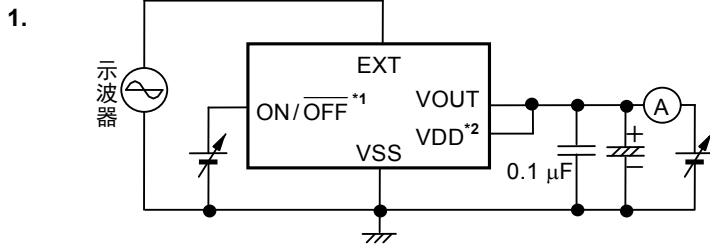


图 9

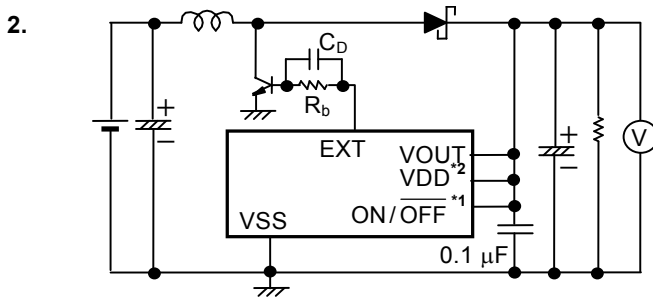


图 10

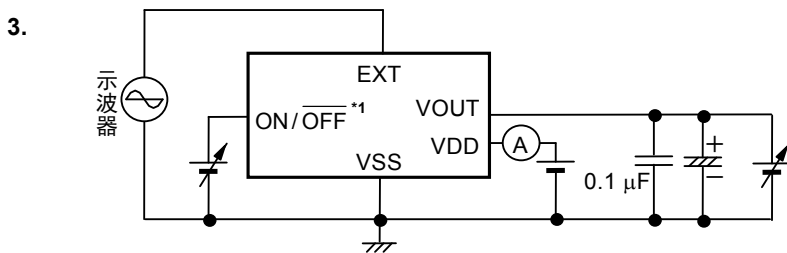


图 11

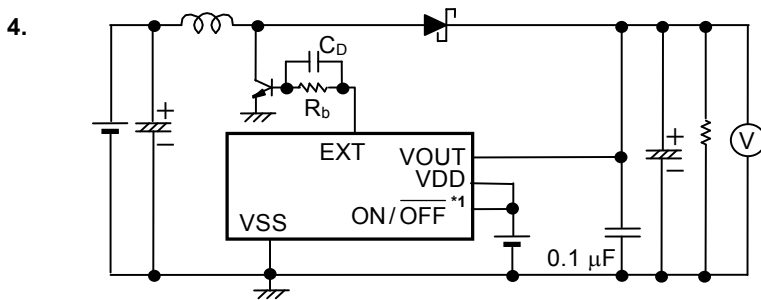


图 12

- \*1. 备有开/关控制功能时
- \*2. V<sub>DD</sub> / V<sub>OUT</sub> 分离型产品时

## ■ 工作说明

### 1. 开关切换控制方式

#### 1.1 PWM 控制 (S-8355/57 系列)

S-8355/57 系列是采用脉冲幅度变调方式(PWM)的 DC-DC 转换器, 具有低消耗电流的特点。以往采用 PFM 方式的 DC-DC 转换器, 在输出负载电流低时脉冲被跳过, 因此输出电压的纹波频率会产生变化, 存在着使纹波电压增大的缺点。

根据负载电流的不同, 虽然脉冲幅度会在 0 ~ 83%(F、G、H、J、L、M、N、P、Q 型产品为 78%)的范围内产生变化, 但开关频率并不产生变化。因此可利用过滤器容易地排除因切换而发生的纹波电压。此外, 由于脉冲幅度为 0%时(无负载或输入电压高时)脉冲被跳过, 因此消耗电流低。

#### 1.2 PWM / PFM 切换控制 (S-8356/58 系列)

S-8356/58 系列是可以根据负载电流而自动切换脉冲幅度变调方式(PWM)和脉冲频率变调方式(PFM)的 DC-DC 转换器, 具有低消耗电流的特点。

在输出负载电流大的领域内, 脉冲幅度可在 15 ~ 83%(F、G、H、J、L、M、N、P、Q 型产品为 78%)的范围内, 利用发生变化的 PWM 控制来进行工作。

在输出负载电流小的领域内, 作为 PFM 控制的脉冲幅度为 15% 的固定脉冲, 可根据负载电流量而被跳过。因此, 振荡电路变为间隔振荡, 可抑制其自身消耗电流, 所以在低负载时可以防止效率的降低。从 PWM 控制切换到 PFM 控制的切换要点, 因外接部件(线圈、二极管等)以及输入电压值、输出电压值而不同, 特别是在输出电流为 100  $\mu$ A 左右的领域内, 可构成高效率的 DC-DC 转换器。

### 2. 软启动功能

本 IC 利用软启动电路, 在电源投入时、或 ON /  $\overline{\text{OFF}}$  端子为“H”时, 可以抑制冲击电流以及输出电压的上冲。

3. ON/OFF 端子 (开/关控制端子) (B、H、F、K、L、M、N、Q 型产品采用 SOT-23-5 封装时)

停止或者启动进行升压工作。

设定 ON/OFF 端子为“L”电位时，停止内部电路的全部工作，因此可大幅度地抑制消耗电流。

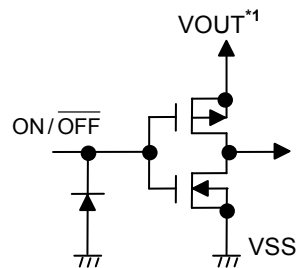
另外，ON/OFF 端子如图13所示的构造，在内部即不被上拉也不被下拉，因此请不要在浮动状态下使用。而且，如果施加0.3 ~ 0.75 V的电压会使电源的消耗电流增加，因此请不要施加电压。在不使用 ON/OFF 端子的情况下，请与VOUT端子相连接。

此外，ON/OFF 端子上没有滞后。

表 23

ON/OFF 端子	CR 振荡电路	输出电压
“H”	工作	固定
“L”	停止	$\cong V_{IN}^{*1}$

\*1. 从  $V_{IN}$  中减去因电感器的直流电阻而引起的电压下降和二极管的正向电压后的电压。



\*1. K、L、M、Q 型产品为 VDD。

图 13 ON/OFF 端子的构造



#### 4. 工作原理

升压型DC/DC控制器的基本方式{(1)~(7)}如下所示(参阅图14)。

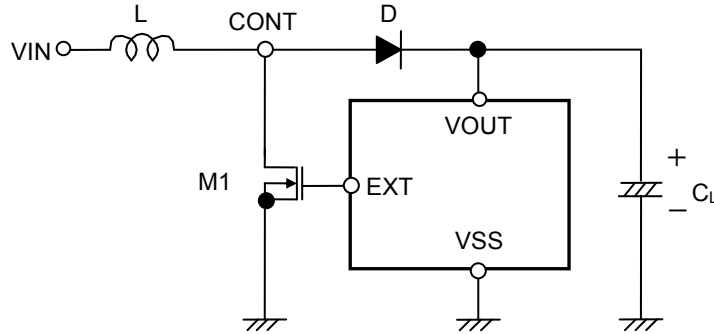


图14 升压型DC/DC控制器的基本方式的电路

在 M1 为 ON 之后瞬间的 CONT 端子的电压( $V_A$ )<sup>\*1</sup>:

$$V_A = V_S^{*2} \dots\dots\dots (1)$$

- \*1. 流经 L 的电流( $I_L$ )为零。
- \*2. M1 的非饱和电压

由于 $I_L$ 的时间而引起的变化:

$$\frac{dI_L}{dt} = \frac{V_L}{L} = \frac{V_{IN} - V_S}{L} \dots\dots\dots (2)$$

公式(2)的积分( $I_L$ ):

$$I_L = \left( \frac{V_{IN} - V_S}{L} \right) \cdot t \dots\dots\dots (3)$$

此 $I_L$ 是在M1为ON时( $t_{ON}$ )流入, 其时间是由OSC的振荡频率而决定。

$t_{ON}$ 后的峰值电流( $I_{PK}$ ):

$$I_{PK} = \left( \frac{V_{IN} - V_S}{L} \right) \cdot t_{ON} \dots\dots\dots (4)$$

此时, 存储在L处的能量可表示为  $\frac{1}{2} \cdot L \cdot (I_{PK})^2$ 。

接着, 在M1为OFF时( $t_{OFF}$ ), 存储在L处的能量通过二极管而被释放, 产生反向电压( $V_L$ )。

反向电压( $V_L$ ):

$$V_L = (V_{OUT} + V_D^{*1}) - V_{IN} \dots\dots\dots (5)$$

- \*1. 二极管的正向电压

CONT端子的电压仅上升相当于 $V_{OUT} + V_D$ 的电压。

$t_{OFF}$ 时, 由于通过二极管流入 $V_{OUT}$ 的电流( $I_L$ )时间而引起的变化:

$$\frac{dI_L}{dt} = \frac{V_L}{L} = \frac{V_{OUT} + V_D - V_{IN}}{L} \dots\dots\dots (6)$$

公式(6)的积分:

$$I_L = I_{PK} - \left( \frac{V_{OUT} + V_D - V_{IN}}{L} \right) \cdot t \dots\dots\dots (7)$$

$t_{ON}$ 时, 能量累积在L处, 并不传送到 $V_{OUT}$ 。从 $V_{OUT}$ 获得输出电流( $I_{OUT}$ )时, 由于电容器( $C_L$ )的能量被使用, 因此 $C_L$ 端子的电压会减少, 在 $t_{ON}$ 之后此电压降到最低。在M1变为OFF时, 累积在L处的能量通过二极管传送到 $C_L$ ,  $C_L$ 端子的电压会急剧地上升。因为 $V_{OUT}$ 是时间函数, 所以通过二极管而流入 $V_{OUT}$ 的电流与负载电流( $I_{OUT}$ )一致时,  $V_{OUT}$ 显示为最大值(纹波电压( $V_{P-P}$ ))。

接着, 求出这个纹波电压值。

假设从 $t_{ON}$ 之后开始, 到 $V_{OUT}$ 达到最高电位为止的时间为 $t_1$ , 那么此时的 $I_{OUT}$ :

$$I_{OUT} = I_{PK} - \left( \frac{V_{OUT} + V_D - V_{IN}}{L} \right) \cdot t_1 \dots\dots\dots (8)$$

$$\therefore t_1 = (I_{PK} - I_{OUT}) \cdot \left( \frac{L}{V_{OUT} + V_D - V_{IN}} \right) \dots\dots\dots (9)$$

$t_{OFF}$ 时, 由于 $I_L = 0$ (电感器的能量被全部释放时), 因此可通过公式(7)求出:

$$\left( \frac{L}{V_{OUT} + V_D - V_{IN}} \right) = \frac{t_{OFF}}{I_{PK}} \dots\dots\dots (10)$$

在公式(10)中导入公式(9):

$$t_1 = t_{OFF} - \left( \frac{I_{OUT}}{I_{PK}} \right) \cdot t_{OFF} \dots\dots\dots (11)$$

在 $t_1$ 的期间内, 充电到 $C_L$ 处的电荷量 $\Delta Q_1$ 为:

$$\Delta Q_1 = \int_0^{t_1} I_L dt = I_{PK} \cdot \int_0^{t_1} dt - \frac{V_{OUT} + V_D - V_{IN}}{L} \cdot \int_0^{t_1} t dt = I_{PK} \cdot t_1 - \frac{V_{OUT} + V_D - V_{IN}}{L} \cdot \frac{1}{2} t_1^2 \dots\dots\dots (12)$$

在公式(9)中导入公式(12):

$$\Delta Q_1 = I_{PK} - \frac{1}{2} (I_{PK} - I_{OUT}) \cdot t_1 = \frac{I_{PK} + I_{OUT}}{2} \cdot t_1 \dots\dots\dots (13)$$

由于 $\Delta Q_1$ 而上升的电压( $V_{P-P}$ )为:

$$V_{P-P} = \frac{\Delta Q_1}{C_L} = \frac{1}{C_L} \cdot \left( \frac{I_{PK} + I_{OUT}}{2} \right) \cdot t_1 \dots\dots\dots (14)$$

在 $t_1$ 的期间内, 如果考虑到被消耗的 $I_{OUT}$ 和 $C_L$ 的等效串联电阻( $R_{ESR}$ ), 那么:

$$V_{P-P} = \frac{\Delta Q_1}{C_L} = \frac{1}{C_L} \cdot \left( \frac{I_{PK} + I_{OUT}}{2} \right) \cdot t_1 + \left( \frac{I_{PK} + I_{OUT}}{2} \right) \cdot R_{ESR} - \frac{I_{OUT} \cdot t_1}{C_L} \dots\dots\dots (15)$$

在公式(15)中导入公式(11):

$$V_{P-P} = \frac{(I_{PK} - I_{OUT})^2}{2I_{PK}} \cdot \frac{t_{OFF}}{C_L} + \left( \frac{I_{PK} + I_{OUT}}{2} \right) \cdot R_{ESR} \dots\dots\dots (16)$$

也就是说, 为了使纹波电压变小, 重要的是连接到输出端子的电容器的容量要大, 并且 $R_{ESR}$ 要小。

### ■ 外接部件的选定

外接部件的特性参数与升压电路的主要特性之间的关系如图 15 所示。

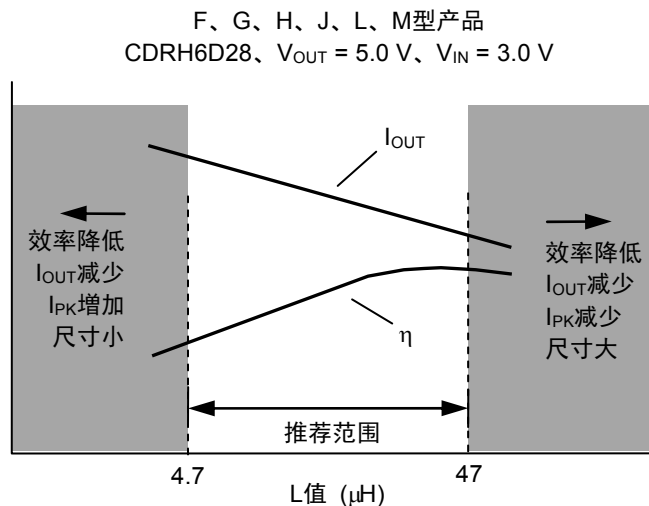
要使输出电流变大时?	要提高效率?		要使纹波电压变小时?
	使用时效率	待机时效率	
使电感值变小	使电感值变大		
使电感器直流电阻变小			
使输出电容值变大			使输出电容值变大
使用 MOS FET 时, 使通态电阻变小	使用 MOS FET 时, 使输入电容值变小		
使用双极型晶体管时, 使外接电阻 $R_b$ 变小	使用双极型晶体管时, 使外接电阻 $R_b$ 变大		

图 15 主要特性与外接部件之间的关系

## 1. 电感器

电感值(L值)对最大输出电流( $I_{OUT}$ )和效率( $\eta$ )产生很大的影响。

S-8355/56/57/58系列的 $I_{OUT}$ 、 $\eta$ 的“L”依靠性的曲线图如图16所示。



L值变得越小，峰值电流( $I_{PK}$ )就变得越大，提高电路的稳定性并使 $I_{OUT}$ 增大。接着，若使L值变得更小，会降低效率而导致开/关切换晶体管的电流驱动能力不足，促使 $I_{OUT}$ 逐渐减少。

L值逐渐变大时，开/关切换晶体管的 $I_{PK}$ 所引起的功耗也随之变小，达到一定的L值时效率变为最大。接着，若使L值变得更大，因线圈的串联电阻所引起的功耗变大，而导致工作效率的降低。 $I_{OUT}$ 也会减少。

因为振荡频率较高的产品可以选择L值较小的产品，因此可使线圈的形状变小。

B、E、K型产品推荐使用22 ~ 100  $\mu\text{H}$ 、F、G、H、J、L、M型产品推荐使用4.7 ~ 47  $\mu\text{H}$ 、N、P、Q型产品推荐使用3.0 ~ 22  $\mu\text{H}$ 的电感器。

此外，在选用电感器时，请注意电感器的容许电流。若电感器流入超过此容许电流的电流，会引起电感器处于磁性饱和状态，而明显地降低工作效率并导致IC的破损。

因此，请选用 $I_{PK}$ 不超过此容许电流的电感器。在连续模式下的 $I_{PK}$ 如下公式所示。

$$I_{PK} = \sqrt{\frac{2I_{OUT}(V_{OUT} + V_D - V_{IN})}{f_{OSC} \cdot L}} \text{ (A)} \dots\dots\dots(17)$$

在此， $f_{OSC}$ 为振荡频率。 $V_D$ 大约为0.4 V。

## 2. 二极管

所使用的外接二极管请满足以下的条件。

- 正向电压较低。(  $V_F < 0.3\text{ V}$  )
- 开关切换速度快。(500 ns 最大值)
- 反向耐压在  $V_{OUT} + V_F$  以上。
- 电流额定值在  $I_{PK}$  以上。

### 3. 电容器 (C<sub>IN</sub>、C<sub>L</sub>)

输入端电容器(C<sub>IN</sub>)可以降低电源阻抗, 另外可使输入电流平均化而提高效率。请根据使用电源的阻抗的不同而选用 C<sub>IN</sub> 值。

输出端电容器(C<sub>L</sub>)是为了使输出电压变得平滑而使用的, 升压型的产品因为针对负载电流而断续地流入电流, 与降压型产品相比需要更大的电容值。在输出电压较高以及负载电流较大的情况下, 由于纹波电压会变大, 因此请根据各自的情况而选用相应的电容值。推荐使用10 μF以上电容器。

为了获得稳定的输出电压, 请注意电容器的等效串联电阻(R<sub>ESR</sub>)。本IC因R<sub>ESR</sub>的不同, 输出的稳定领域会产生变化。因电感值(L值)的不同而异, 使用30 ~ 500 mΩ左右的R<sub>ESR</sub>, 可以发挥最佳的特性。但是, 最佳的R<sub>ESR</sub>值因L值以及电容值、布线、应用电路(输出负载)而不同, 请根据实际的使用状况, 在进行充分的评价之后, 再予以决定。

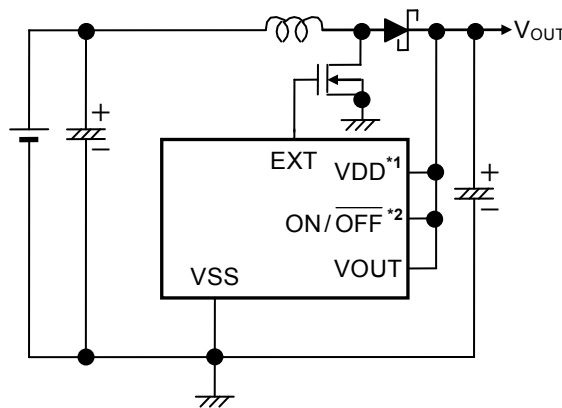
使用陶瓷电容器和电容器外部电阻(R<sub>ESR</sub>)的电路示例, 请参阅「**应用电路**」的「**3. 陶瓷电容器使用示例**」(图 26)。

### 4. 外接晶体管

外接晶体管可以使用增强(N 沟道)MOS FET 型或者双极(NPN)型产品。

#### 4.1 增强(N 沟道)MOS FET 型

使用 MOS FET 晶体管(N 沟道)的电路示例如图 17 所示。



\*1. V<sub>DD</sub> / V<sub>OUT</sub> 分离型产品时

\*2. 备有开/关控制功能时

**图 17 使用 MOS FET(N 沟道)型产品的电路示例**

所选用的MOS FET, 请使用N沟道功率MOS FET。

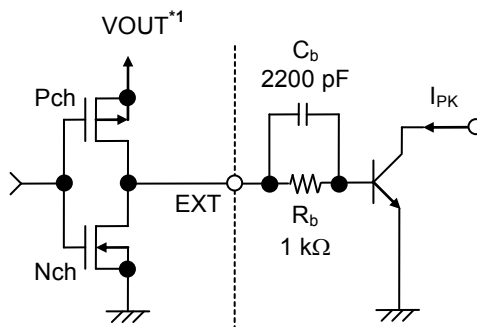
由于所外接的功率MOS FET的门极电压以及电流, 是由升压后的输出电压(V<sub>OUT</sub>)来供应, 因此可以更有效地驱动MOS FET。

因所选用的MOS FET的不同而异, 在接通电源时有可能流入较大的电流。请在实际电路上进行充分的评价基础上, 再予以使用。推荐使用MOS FET的输入容量在700 pF以下的产品。

另外, MOS FET 的通态电阻依靠输出电压(V<sub>OUT</sub>)与 MOS FET 的阈值电压的电压差, 因此会对输出电流以及效率产生影响。特别是, 像 S-8352A20 产品的那样, 输出电压为 2.0 V, 处于电压较低的情况下, 如果不选用带有输出电压值以下的阈值电压的 MOS FET, 电路就不能正常工作, 务请注意。

#### 4.2 双极(NPN)型

使用 Sanyo Electric Co., Ltd.生产的 CPH3210( $h_{FE} = 200 \sim 560$ )双极晶体管(NPN)的电路示例,如「**■ 标准电路**」的图 19 ~ 24 所示。使用双极晶体管来增大输出电流时的驱动能力,该驱动能力由双极晶体管的  $h_{FE}$  值和  $R_b$  值而决定。图 18 表示外围电路。



\*1. E、G、J、K、L、M、P、Q 型产品为  $V_{DD}$ 。

图 18 外接晶体管外围电路

推荐使用的  $R_b$  值为  $1\text{ k}\Omega$  左右。实际上,来自双极晶体管( $h_{FE}$ )的所需要的基极电流( $I_b$ )可按  $I_b = \frac{I_{PK}}{h_{FE}}$  求出,请选用

比  $R_b = \frac{V_{OUT} - 0.7}{I_b} - \frac{0.4}{|I_{EXTH}|}$  \*1 更小的  $R_b$  值。

$R_b$  值变小,可使输出电流增大,但会导致效率恶化。另外,在实际应用时,因为电流在脉冲上流动、或由于布线电阻等,会引起电压的下降,因此请在实际测试中求出最佳值。

此外,如图 18 所示,与  $R_b$  电阻并联连接加速电容器( $C_b$ ),会减少开关切换的功耗而提高效率。

请按

为参考标准来选用  $C_b$  值。但是,在实际应用中,因所使用的双极晶体管特性的不同,最佳的  $C_b$  值也不同,请在进行充分的评价基础上,再选用  $C_b$  值。

\*1. E、G、J、K、L、M、P、Q 型产品为  $R_b = \frac{V_{DD} - 0.7}{I_b} - \frac{0.4}{|I_{EXTH}|}$ 。

**5. V<sub>DD</sub> / V<sub>OUT</sub> 分离型 (E、G、J、K、L、M、P、Q 型产品时)**

在S-8355/56/57/58系列E、G、J、K、L、M、P、Q型产品的IC内部，电路电源(V<sub>DD</sub>端子)与输出电压设定端子(V<sub>OUT</sub>端子)分离隔开，最适用于以下的用途。

- (1) 想通过外接电阻来改变输出电压值时。
- (2) 想提高输出电压值到+15 V、+20 V时。

为了实现上述(1)、(2)，请根据不同的用途选用**表24**的产品。

**表24**

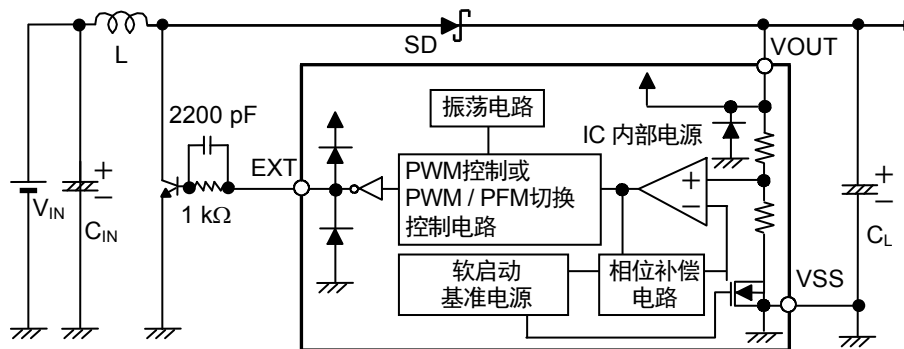
输出电压(V <sub>CC</sub> )	1.8 V ≤ V <sub>CC</sub> < 5 V	5 V ≤ V <sub>CC</sub>	参考电路
S-835xx18	○	○	应用电路1(图25)
S-835xx50	—	○	应用电路1(图25)
连接到V <sub>DD</sub> 端子	V <sub>IN</sub> 或V <sub>CC</sub>	V <sub>IN</sub>	—

- 注意 1.** 虽然本IC在V<sub>DD</sub> = 0.8 V的条件下即可开始升压工作，但为了稳定输出电压、振荡频率，请将V<sub>DD</sub>设定在1.8 ≤ V<sub>DD</sub> ≤ 10 V的范围内。(不足1.9 V的设定产品，请务必施加电压使V<sub>DD</sub> ≥ 1.8 V。)只要在此范围内，将V<sub>DD</sub>端子连接到输入电压V<sub>IN</sub>端子上，或连接到输出V<sub>OUT</sub>端子上均可。
- 2.** 在IC内部，由于在V<sub>OUT</sub>端子与V<sub>SS</sub>端子之间带有阻抗，因此请选用对设定输出电压没有影响的外接电阻R<sub>A</sub>、R<sub>B</sub>。V<sub>OUT</sub>端子—V<sub>SS</sub>端子间内部电阻如下所示。
- (1) S-835xx18: 2.1 ~ 14.8 MΩ
  - (2) S-835xx20: 1.4 ~ 14.8 MΩ
  - (3) S-835xx30: 1.4 ~ 14.2 MΩ
  - (4) S-835xx50: 1.4 ~ 12.1 MΩ
- 3.** 在发生输出电压的振荡等不稳定工作的情况下，请与R<sub>A</sub>电阻串联连接电容器(C<sub>C</sub>)。C<sub>C</sub>值请按如下公式求出。

$$C_C [F] = \frac{1}{2 \cdot \pi \cdot R_A \cdot 20 \text{ kHz}}$$

■ 标准电路

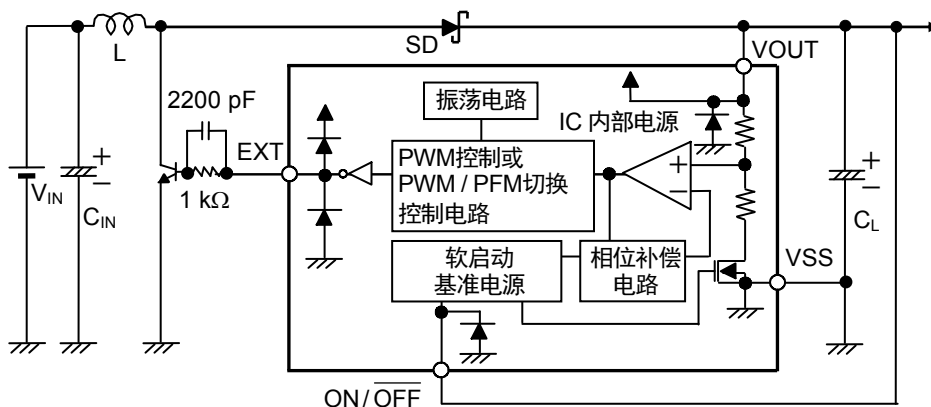
- (1) S-8357BxxMA、S-8357BxxUA、S-8358BxxMA、S-8358BxxUA



备注 VOUT端子为IC内部的电路正电源。

图19

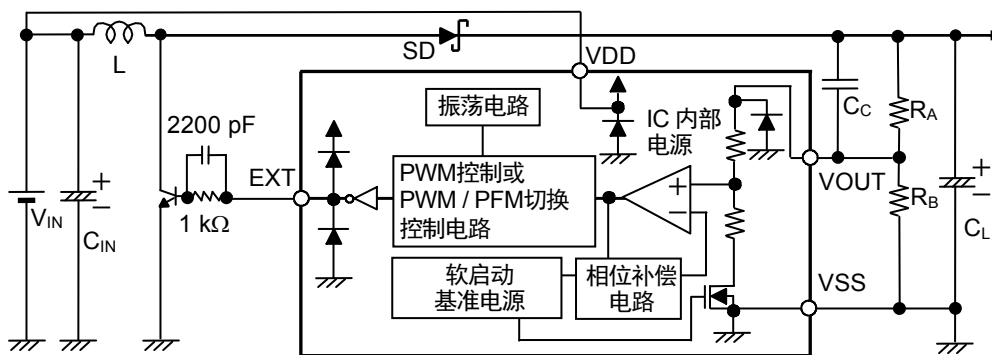
- (2) S-8357BxxMC、S-8357FxxMC、S-8357HxxMC、S-8357NxxMC、S-8358BxxMC、S-8358FxxMC、S-8358HxxMC、S-8358NxxMC



备注 VOUT端子为IC内部的电路正电源。

图20

- (3) S-8357ExxMC、S-8357GxxMC、S-8357JxxMC、S-8357PxxMC、S-8358ExxMC、S-8358GxxMC、S-8358JxxMC、S-8358PxxMC

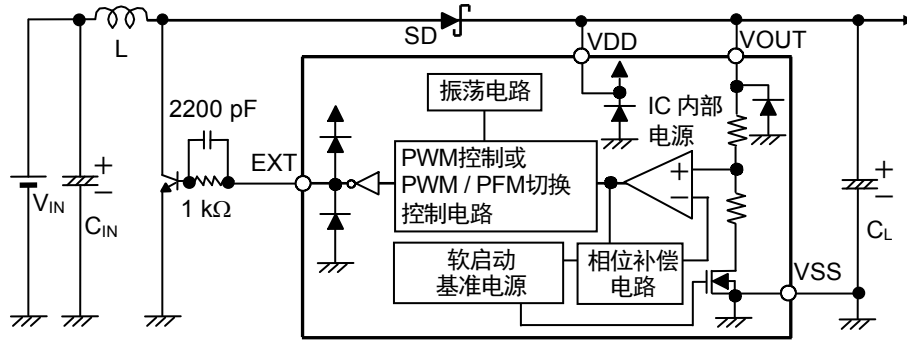


备注 VDD端子为IC内部的电路正电源。

图21



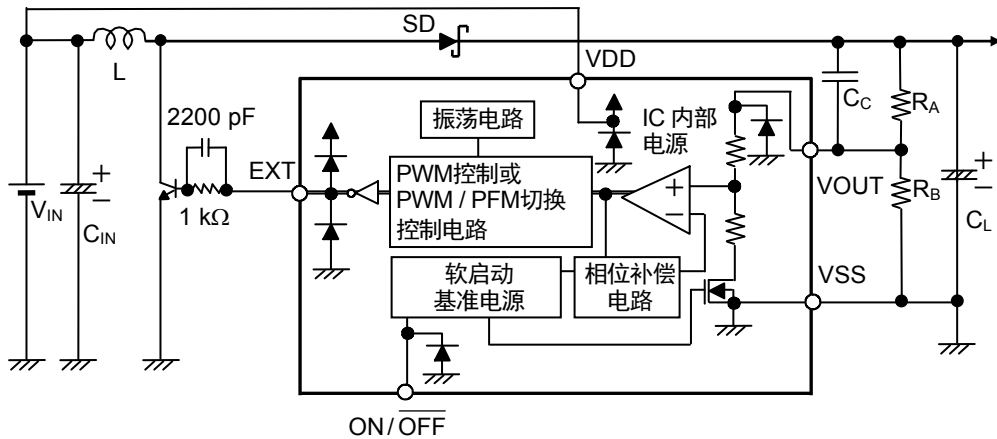
- (4) S-8357ExxMC、S-8357GxxMC、S-8357JxxMC、S-8358ExxMC、S-8358GxxMC、S-8358JxxMC



备注 VDD端子为IC内部的电路正电源。

图22

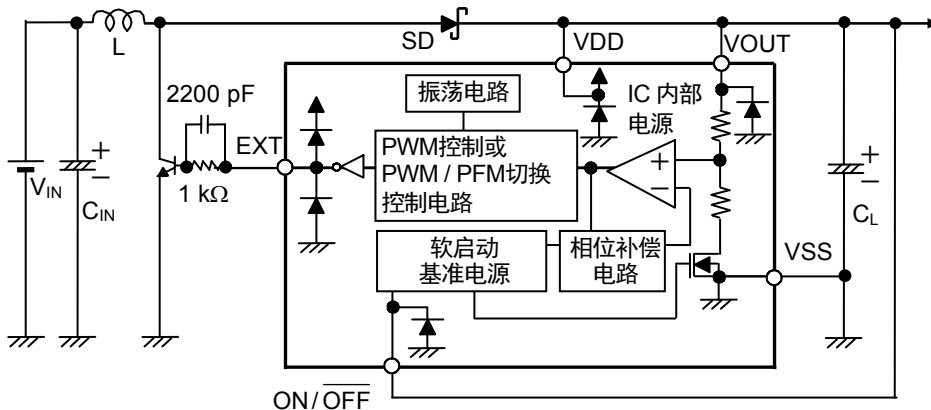
- (5) S-8355KxxMC、S-8355LxxMC、S-8355MxxMC、S-8355QxxMC、S-8356KxxMC、S-8356LxxMC、S-8356MxxMC、S-8356QxxMC



备注 VDD端子为IC内部的电路正电源。

图23

- (6) S-8355KxxMC、S-8355LxxMC、S-8355MxxMC、S-8356KxxMC、S-8356LxxMC、S-8356MxxMC



备注 VDD端子为IC内部的电路正电源。

图24

注意 上記连接图以及参数仅供参考，并不作为保证工作的依据。请在进行充分的评价基础上，设定实际应用电路的参数。

## ■ 注意事项

- 外接的电容器、二极管、线圈等请尽量安装在 IC 的附近。
- 包含了DC/DC控制器的IC，会产生特有的纹波电压和尖峰噪声。另外，在电源投入时会产生冲击电流。这些现象会因所使用的线圈、电容器以及电源阻抗的不同而受到很大的影响，因此在设计时，请在实际的应用电路上进行充分的评价。
- 请注意开/关切换晶体管的功耗(特别在高温时)不要超过封装的容许功耗。
- DC/DC控制器的性能会因为基板布局、外围电路、外围部件的设计的不同而产生很大的变化。设计时，请在实际的应用电路上进行充分的评价。想要使用不同于推荐部件的产品时，请向本公司营业部咨询。
- 本IC虽内置防静电保护电路，但请不要对IC施加超过保护电路性能的过大静电。
- 使用本公司的IC生产产品时，如在其产品中对该IC的使用方法或产品的规格，或因与所进口国对包括本IC产品在内的制品发生专利纠纷时，本公司概不承担相应责任。

## 应用电路

### 1. LCD用电源

以驱动 LCD 面板(15 V、20 V 输出)为应用对象的电路示例和其特性如下所示。

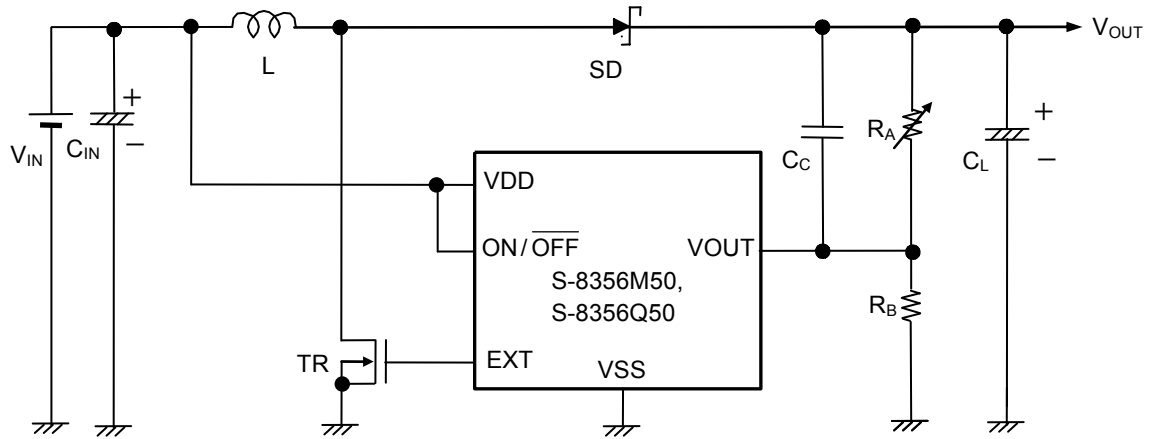


图 25 LCD 用电源电路示例

表 25

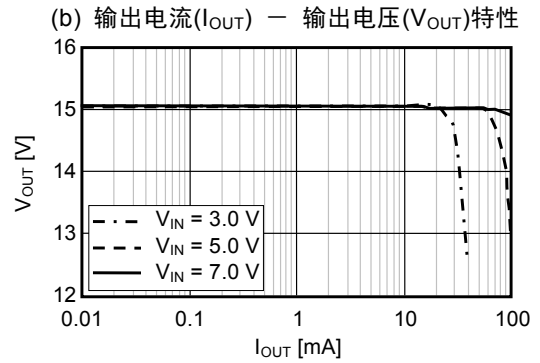
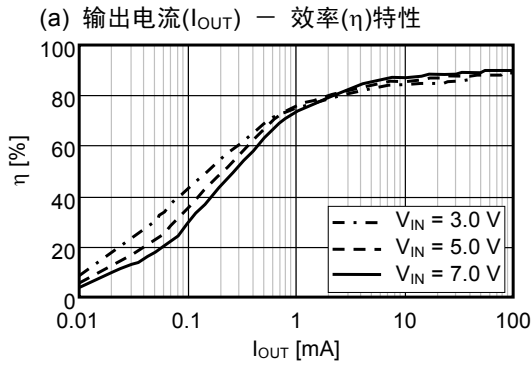
条件	输出电压	IC	L 型产品名	TR 型产品名	SD 型产品名	C <sub>L</sub>	R <sub>a</sub>	R <sub>b</sub>	C <sub>c</sub>
1	15 V	S-8356M50	CDRH5D18-220	MCH3405	MA2Z748	F93 (20 V, 10 μF)	580 kΩ	300 kΩ	15 pF
2	20 V	S-8356M50	CDRH5D18-220	FDN337N	MA729	F93 (25 V, 10 μF)	575 kΩ	200 kΩ	15 pF
3	10 V	S-8356Q50	CDRH5D18-100	MCH3405	MA2Z748	F93 (20 V, 10 μF)	560 kΩ	560 kΩ	15 pF

注意 上記连接图以及参数仅供参考，并不作为保证工作的依据。请在进行充分的评价基础上，设定实际应用电路的参数。

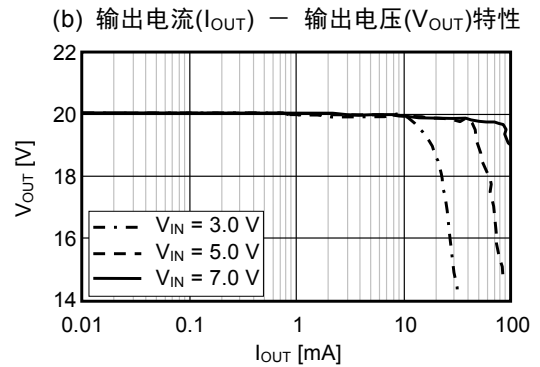
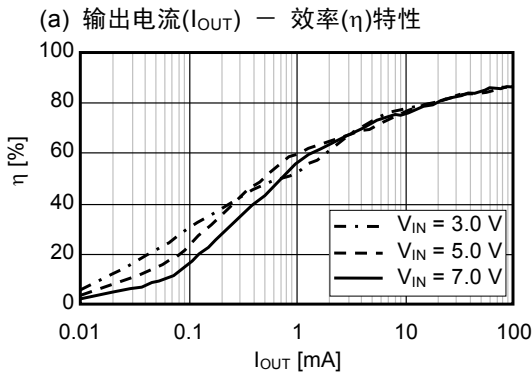
## 2. LCD用电源的输出特性图

按照表 25 的条件 1 ~ 3, (a) 输出电流( $I_{OUT}$ ) - 效率( $\eta$ )特性、(b) 输出电流( $I_{OUT}$ ) - 输出电压( $V_{OUT}$ )特性如下所示。

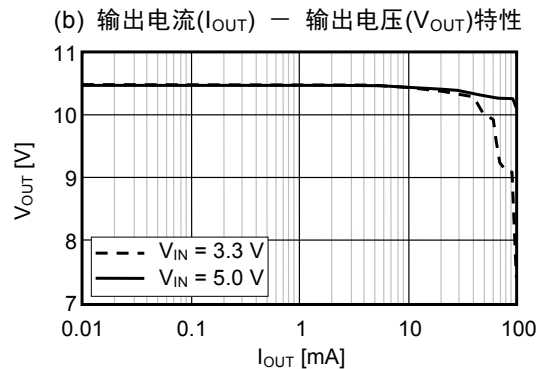
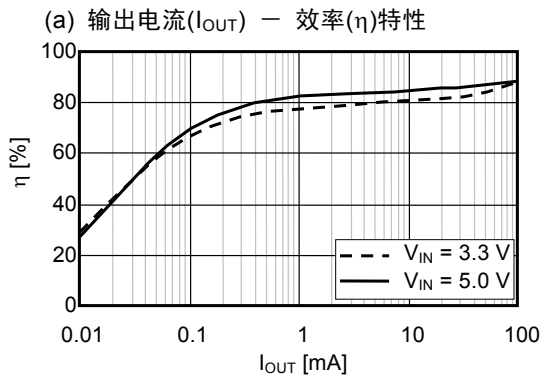
### 条件 1



### 条件 2



### 条件 3



### 3. 陶瓷电容器使用示例

输出侧电容使用陶瓷电容器等 $R_{ESR}$ 较小的部件时,如图26所示,请与陶瓷电容器( $C_L$ )串联连接上相当于 $R_{ESR}$ 的电阻( $R_1$ )。 $R_1$ 因L值以及电容值、布线、应用电路(输出负载)的不同而异。

以使用 $R_1 = 100\text{ m}\Omega$ 、输出电压为3.3 V、输出负载为500 mA为应用对象的电路示例以及其特性如下所示。

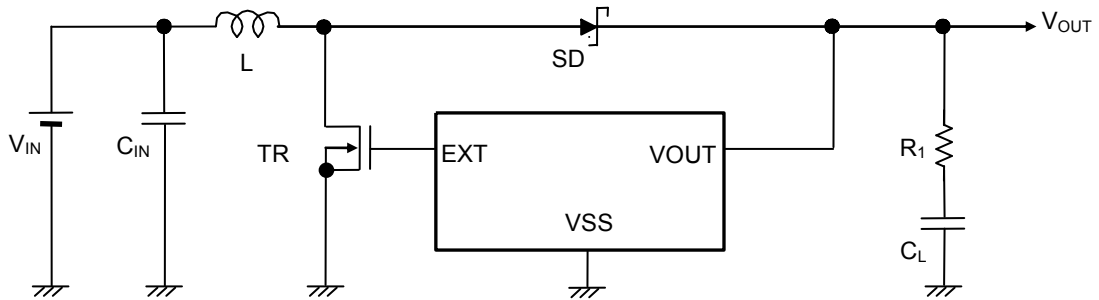


图26 陶瓷电容器使用电路示例

表26

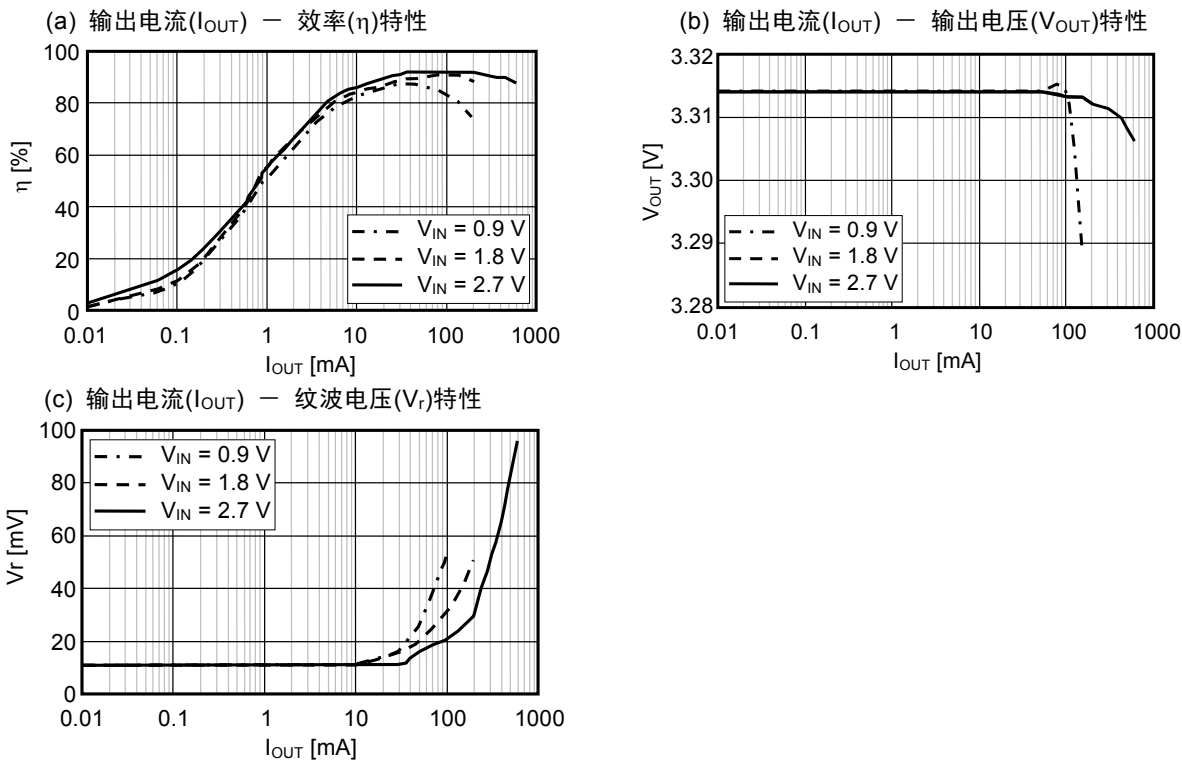
条件	IC	L 型产品名	TR 型产品名	SD 型产品名	$C_L$ (陶瓷电容器)	$R_1$
1	S-8357F33	CDRH6D28-220	FDN335N	M1FH3	$10\ \mu\text{F} \times 2$ 個	$100\ \text{m}\Omega$
2	S-8358B50	CDRH6D28-470	FDN335N	M1FH3	$10\ \mu\text{F} \times 2$ 個	$100\ \text{m}\Omega$
3	S-8357N33	CDRH6D28-100	FDN335N	M1FH3	$10\ \mu\text{F} \times 2$ 個	$100\ \text{m}\Omega$

**注意** 上記连接图以及参数仅供参考,并不作为保证工作的依据。请在进行充分的评价基础上,设定实际应用电路的参数。

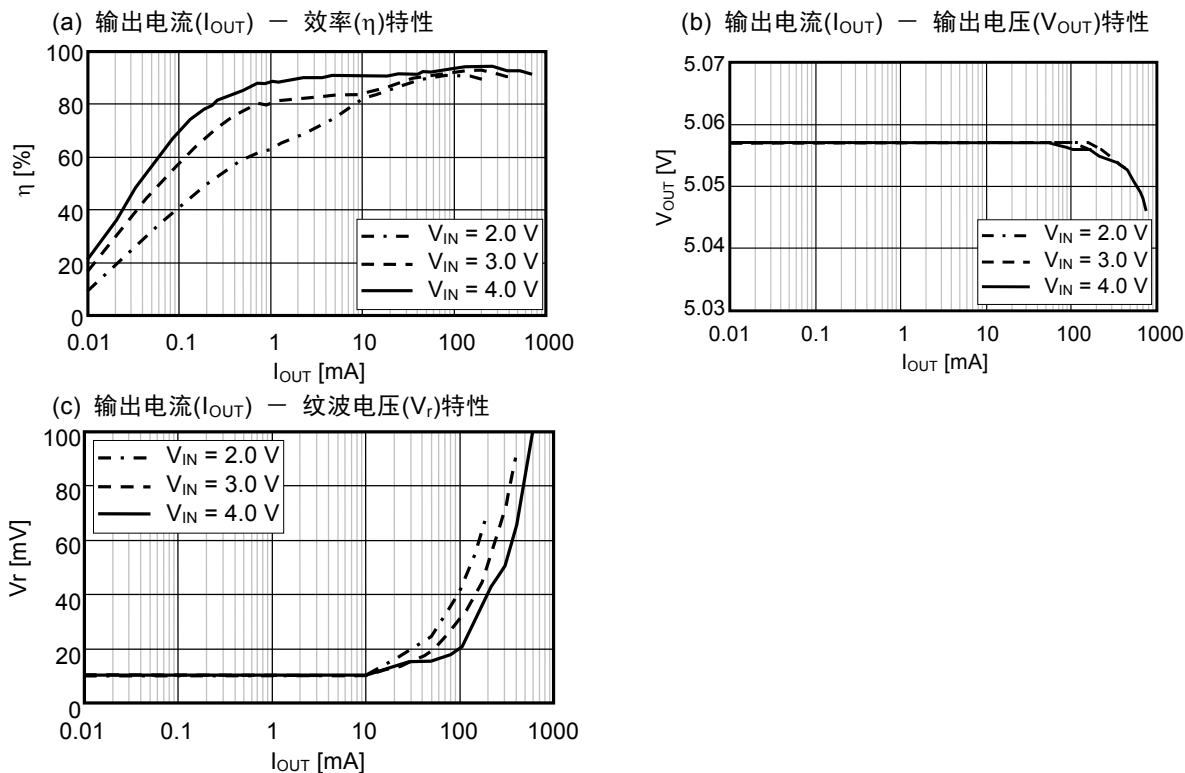
4. 陶瓷电容器使用电路的输出特性图

按照表 26 的条件 1 ~ 3, (a) 输出电流( $I_{OUT}$ ) - 效率( $\eta$ )特性、(b) 输出电流( $I_{OUT}$ ) - 输出电压( $V_{OUT}$ )特性、(c) 输出电流( $I_{OUT}$ ) - 纹波电压( $V_r$ )特性如下所示。

条件 1

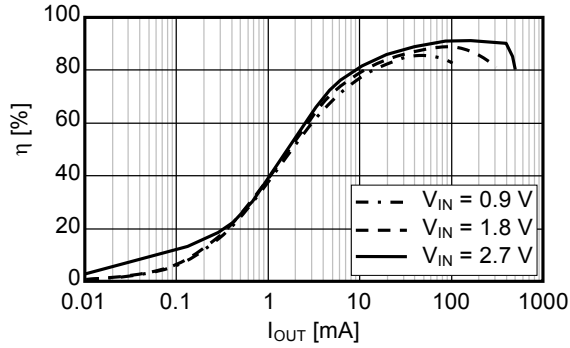


条件 2

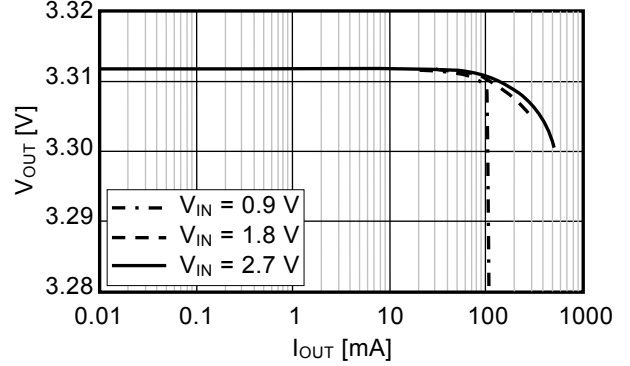


条件 3

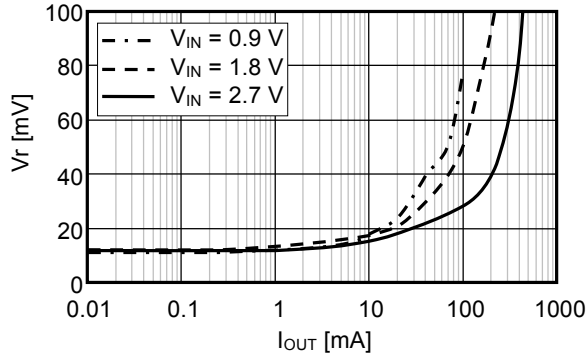
(a) 输出电流( $I_{OUT}$ ) - 效率( $\eta$ )特性



(b) 输出电流( $I_{OUT}$ ) - 输出电压( $V_{OUT}$ )特性



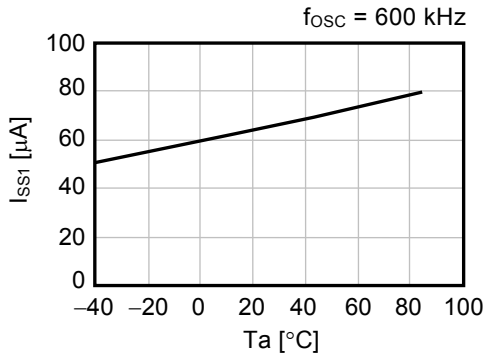
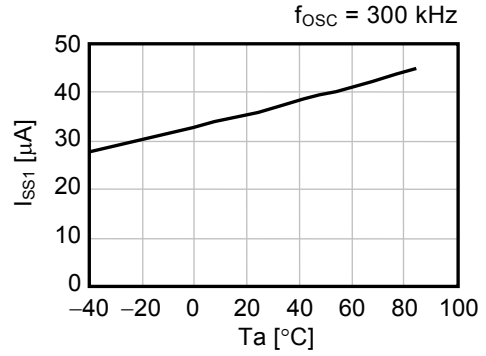
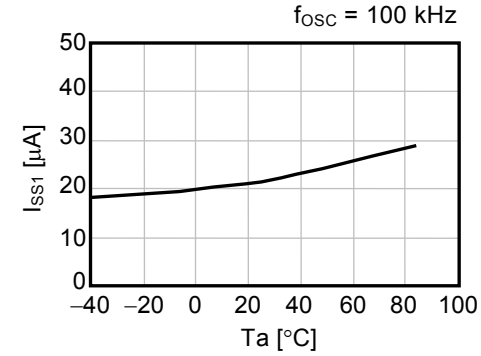
(c) 输出电流( $I_{OUT}$ ) - 纹波电压( $V_r$ )特性



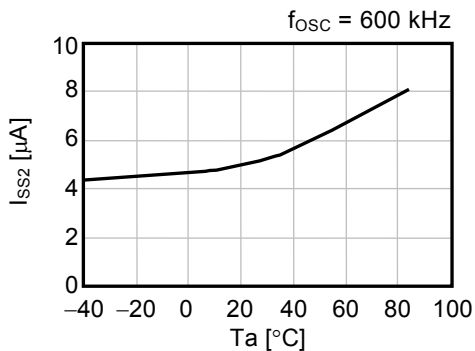
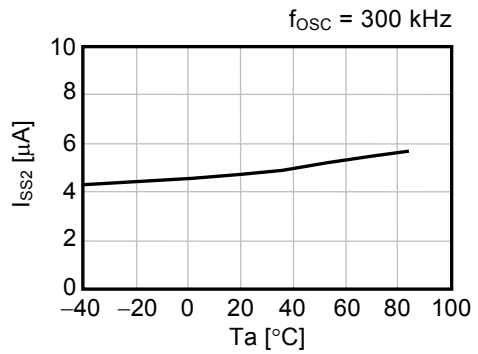
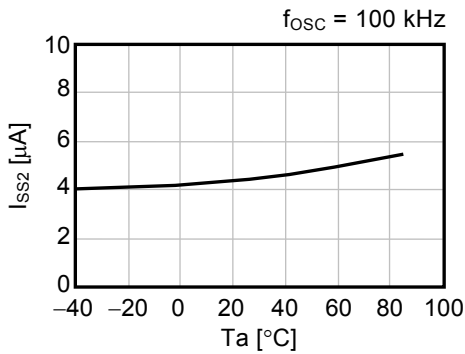
■ 各种特性数据 (典型数据)

1. 主要温度项目特性示例 (Ta = -40 ~ +85°C)

(1) 消耗电流1(I<sub>SS1</sub>) - 温度(Ta) (V<sub>OUT</sub> = 3.3 V)

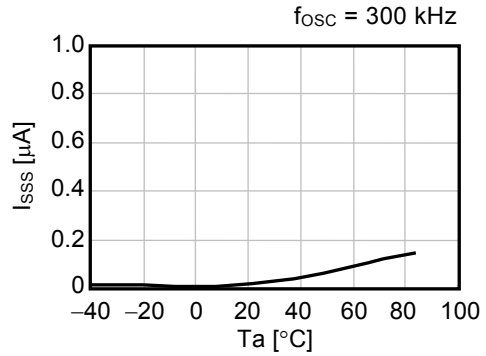
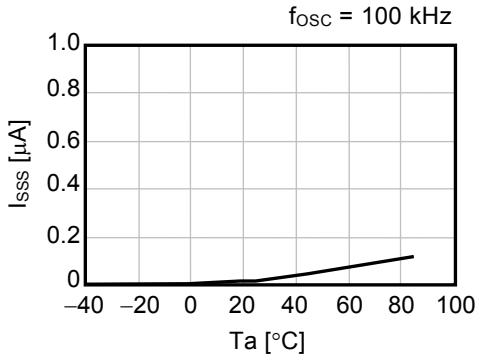


(2) 消耗电流2(I<sub>SS2</sub>) - 温度(Ta) (V<sub>OUT</sub> = 3.3 V)

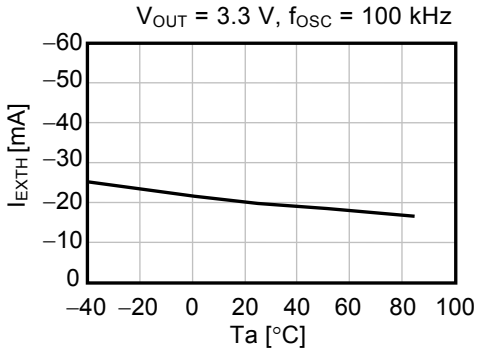




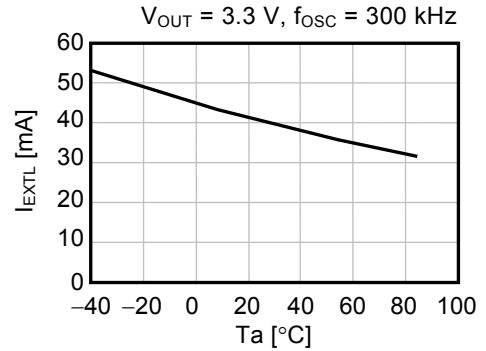
(3) 休眠时消耗电流( $I_{SS}$ ) — 温度( $T_a$ ) ( $V_{OUT} = 3.3\text{ V}$ )



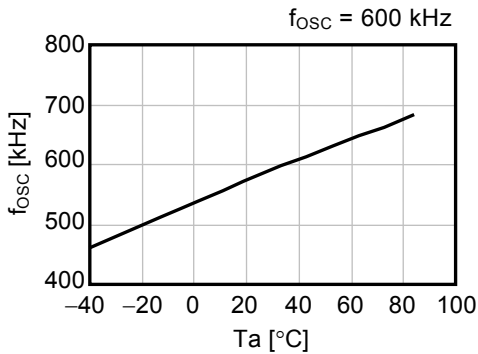
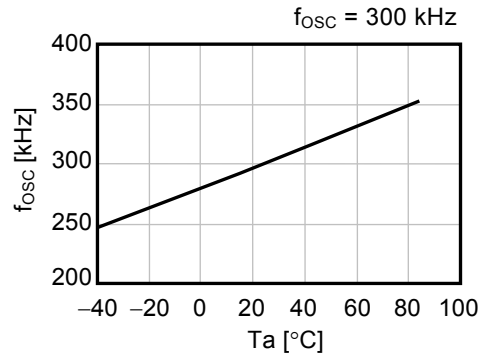
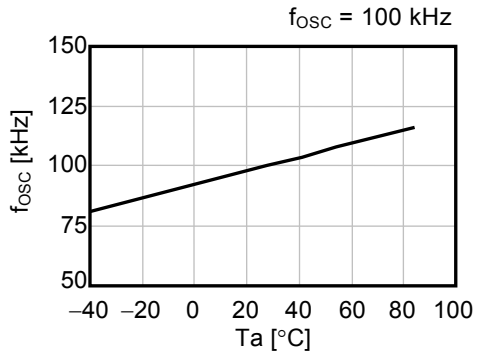
(4) EXT 端子输出电流“H”( $I_{EXTH}$ ) — 温度( $T_a$ )



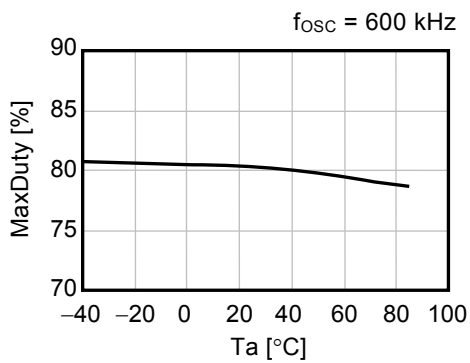
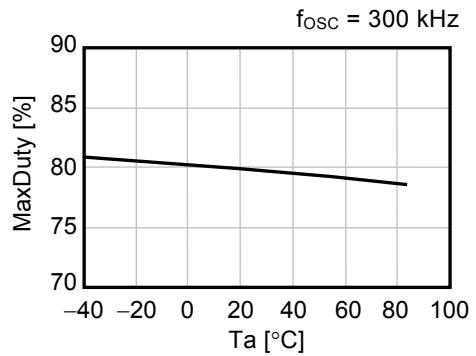
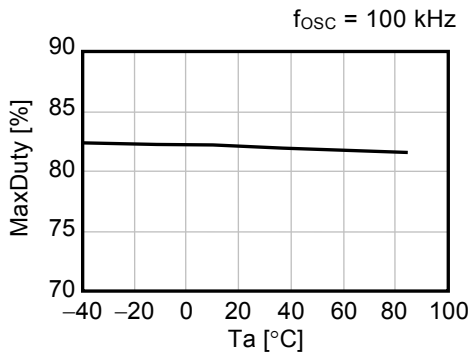
(5) EXT 端子输出电流“L”( $I_{EXTL}$ ) — 温度( $T_a$ )



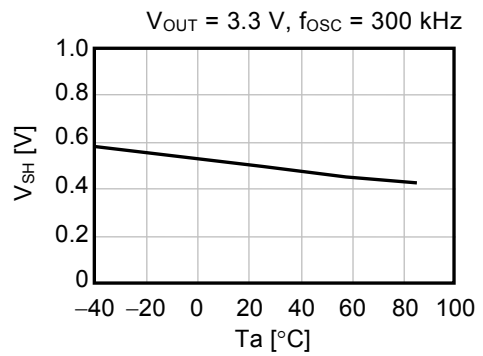
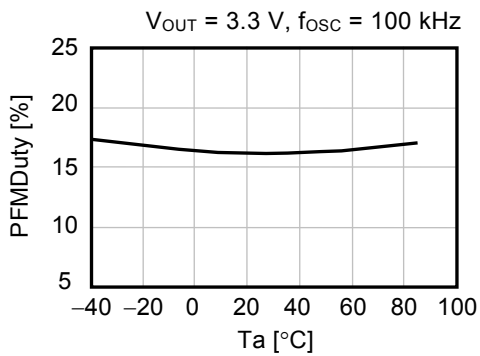
(6) 振荡频率( $f_{OSC}$ ) — 温度( $T_a$ ) ( $V_{OUT} = 3.3\text{ V}$ )



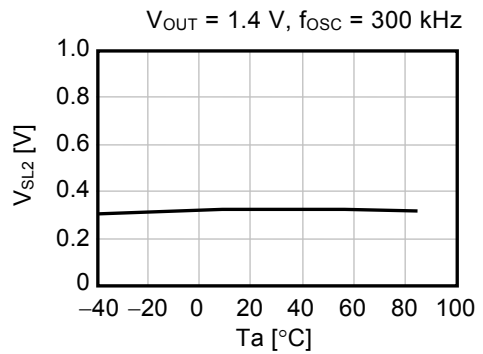
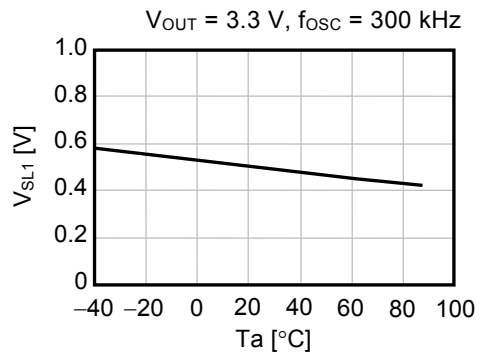
(7) 最大占空系数(MaxDuty) — 温度(Ta) (V<sub>OUT</sub> = 3.3 V)



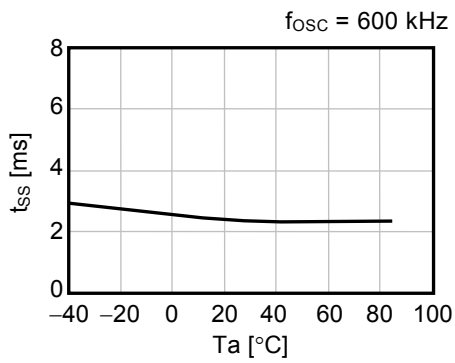
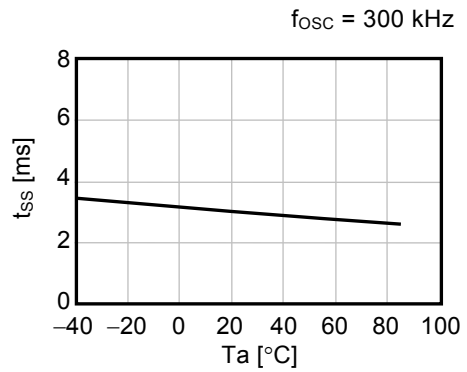
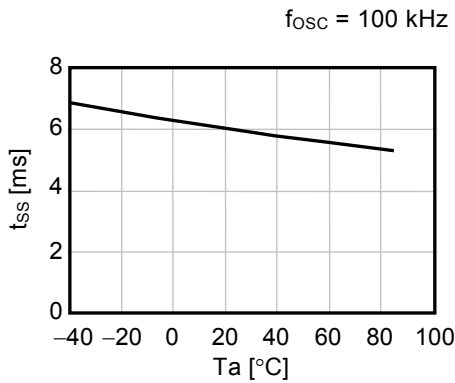
(8) PWM / PFM 切换占空系数(PFMDuty) — 温度(Ta) (9) ON/OFF 端子输入电压“H”(V<sub>SH</sub>) — 温度(Ta) (S-8356/58 系列)



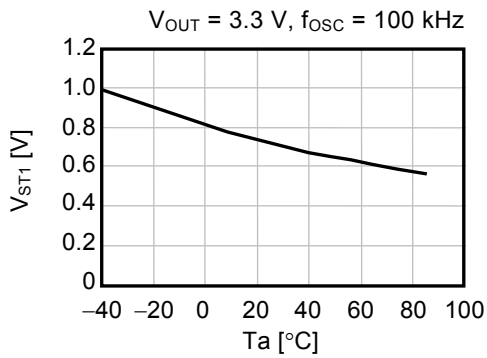
(10) ON/OFF 端子输入电压“L”1(V<sub>SL1</sub>) — 温度(Ta) (11) ON/OFF 端子输入电压“L”2(V<sub>SL2</sub>) — 温度(Ta)



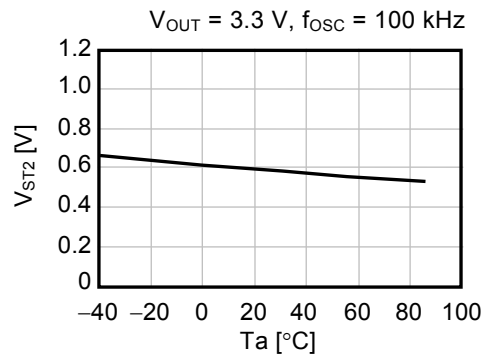
(12) 软启动时间( $t_{SS}$ ) — 温度( $T_a$ ) ( $V_{OUT} = 3.3 V$ )



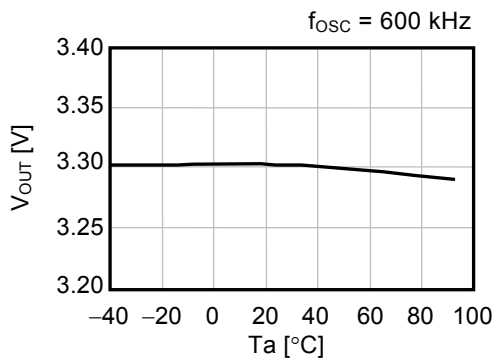
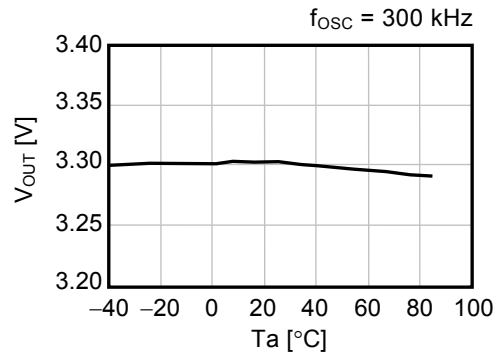
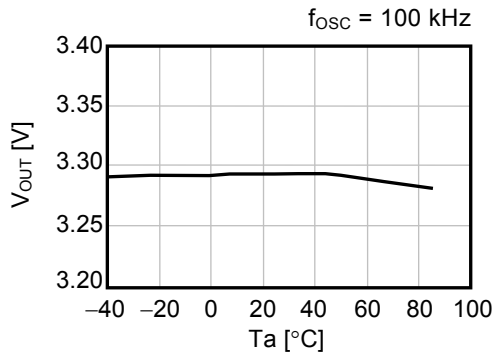
(13) 工作开始电压( $V_{ST1}$ ) — 温度( $T_a$ )



(14) 振荡开始电压( $V_{ST2}$ ) — 温度( $T_a$ )

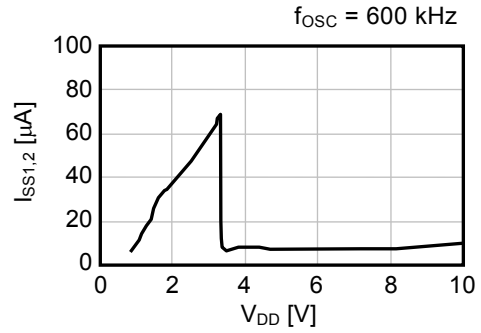
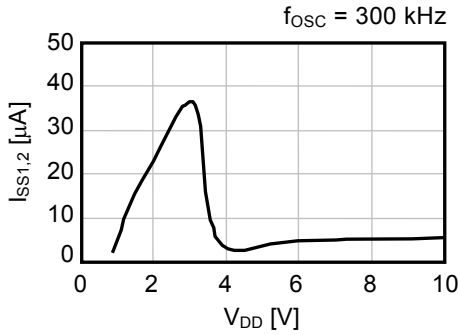


(15) 输出电压( $V_{OUT}$ ) - 温度( $T_a$ ) ( $V_{OUT} = 3.3\text{ V}$ )

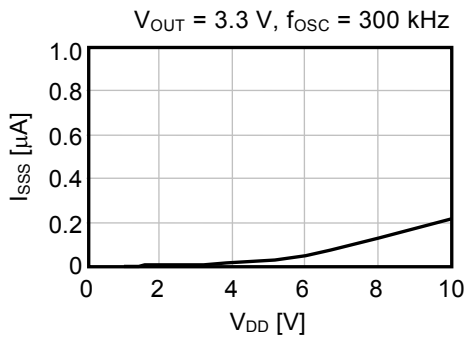


2. 主要项目电源依靠特性示例 (Ta = 25°C)

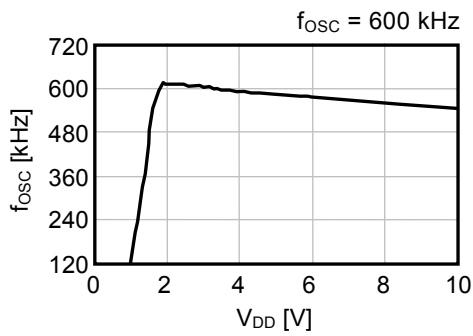
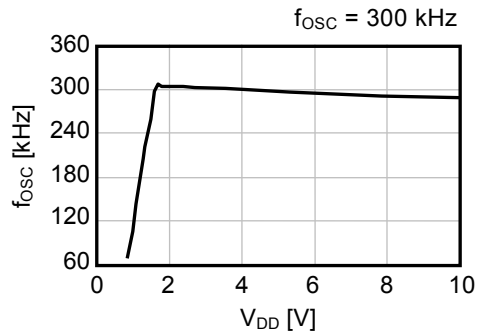
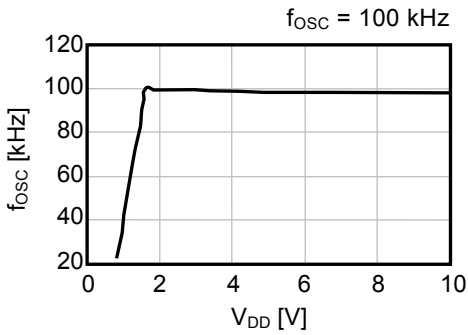
(1) 消耗电流 1(I<sub>SS1</sub>) — 电源电压(V<sub>DD</sub>)、消耗电流 2(I<sub>SS2</sub>) — 电源电压(V<sub>DD</sub>) (V<sub>OUT</sub> = 3.3 V)



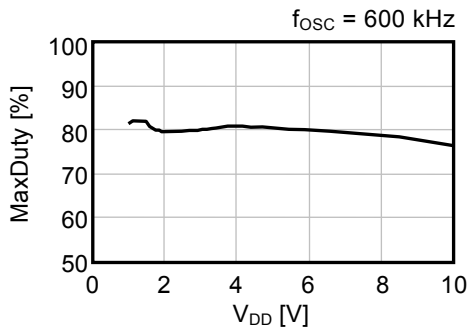
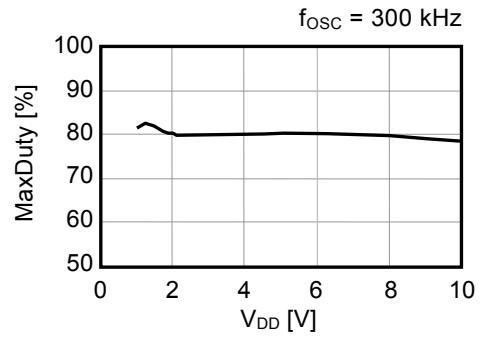
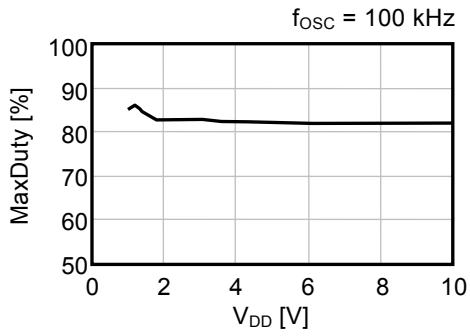
(2) 休眠时消耗电流(I<sub>SSS</sub>) — 电源电压(V<sub>DD</sub>)



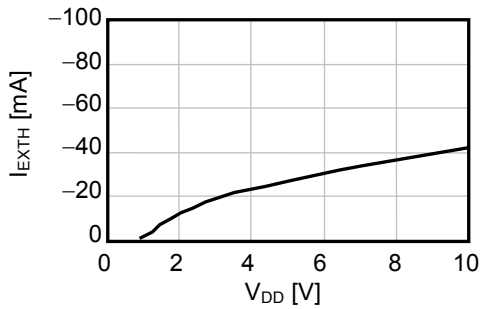
(3) 振荡频率(f<sub>osc</sub>) — 电源电压(V<sub>DD</sub>)



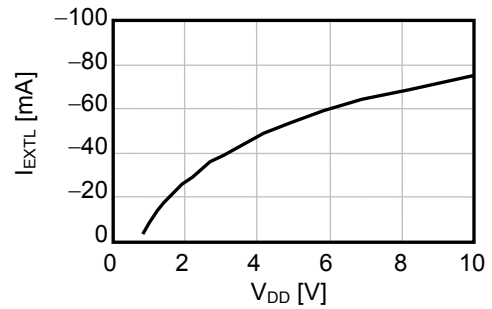
(4) 最大占空系数(MaxDuty) — 电源电压( $V_{DD}$ )



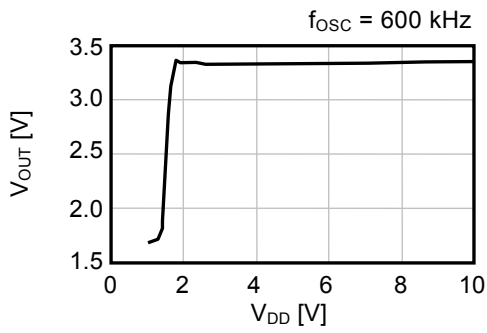
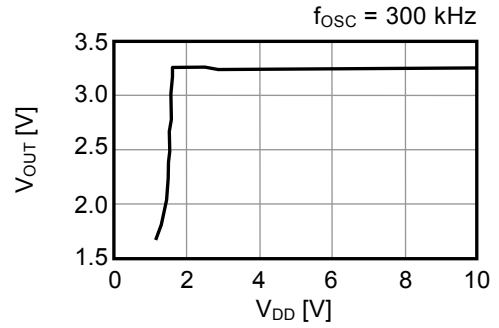
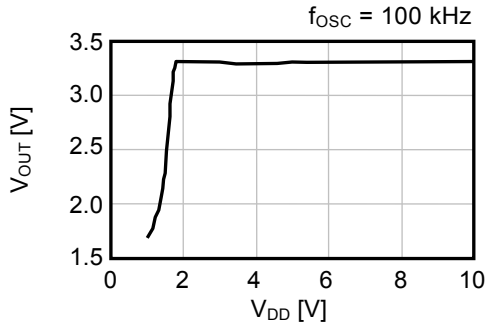
(5) EXT端子输出电流“H”( $I_{EXTH}$ ) — 电源电压( $V_{DD}$ )



(6) EXT端子输出电流“L”( $I_{EXTL}$ ) — 电源电压( $V_{DD}$ )

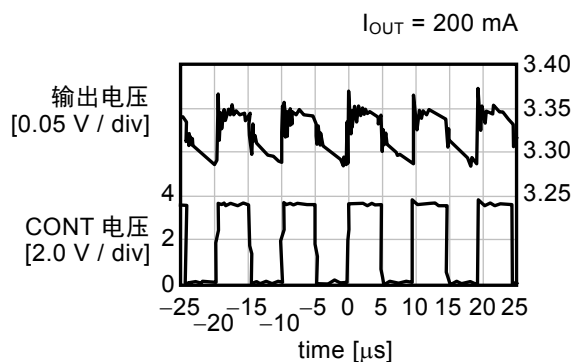
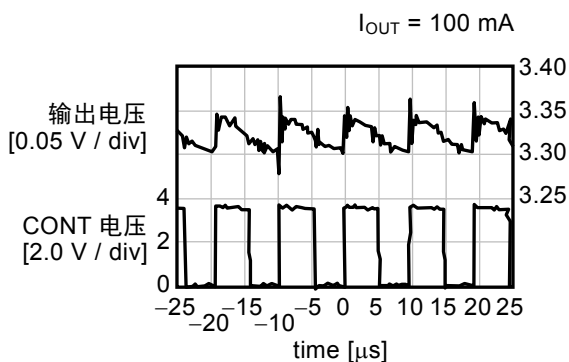
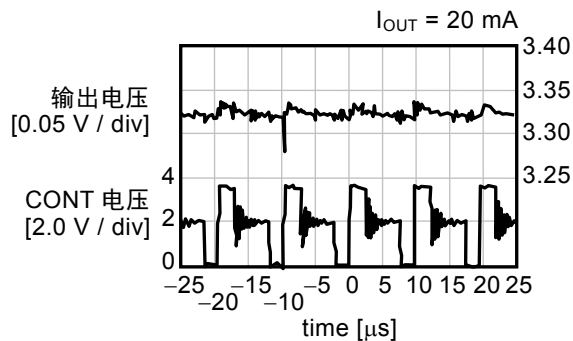
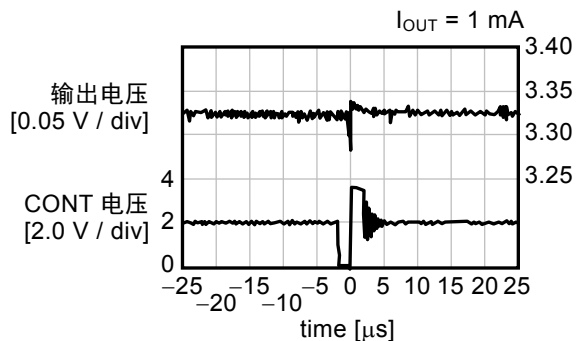


(7) 输出电压( $V_{OUT}$ ) - 电源电压( $V_{DD}$ )  
( $V_{DD}$  分离型、 $V_{OUT} = 3.3\text{ V}$ 、 $V_{IN} = 1.98\text{ V}$ 、 $I_{OUT} = 66\text{ mA}$ )

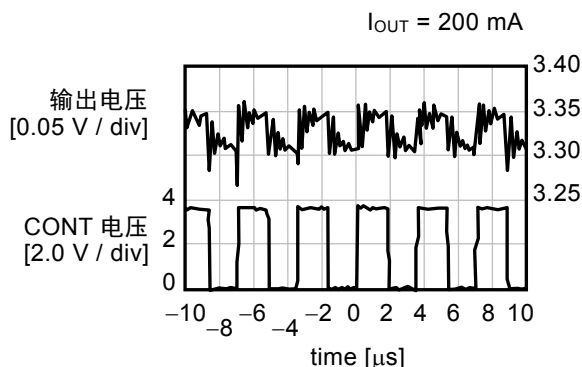
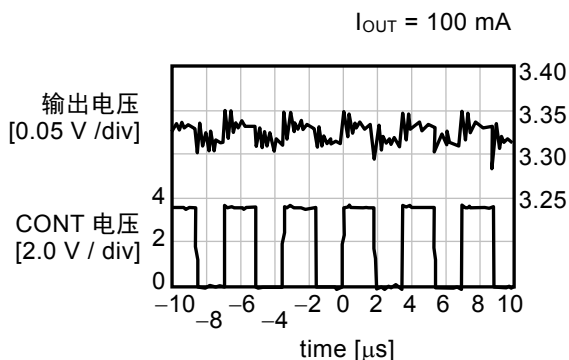
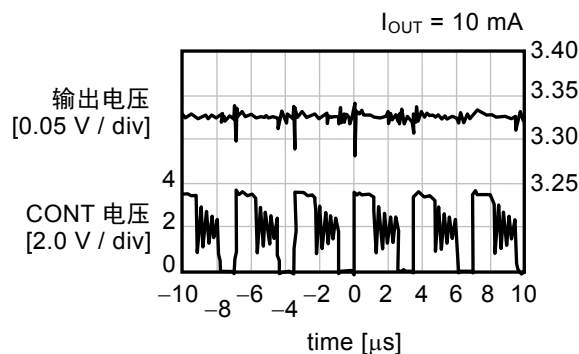
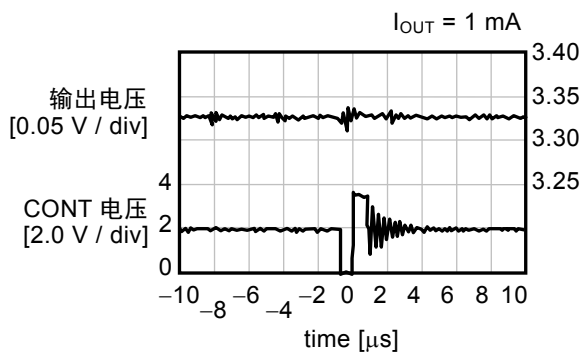


3. 输出波形

(1) S-8358B33MC

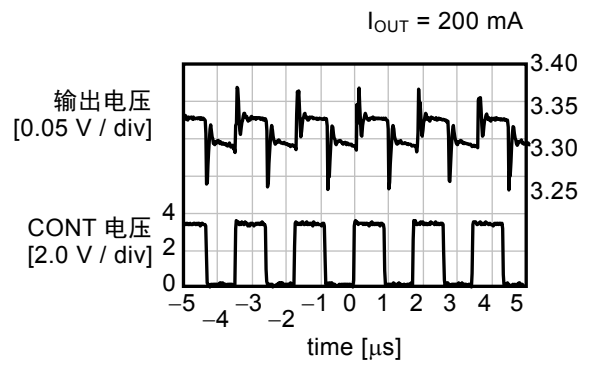
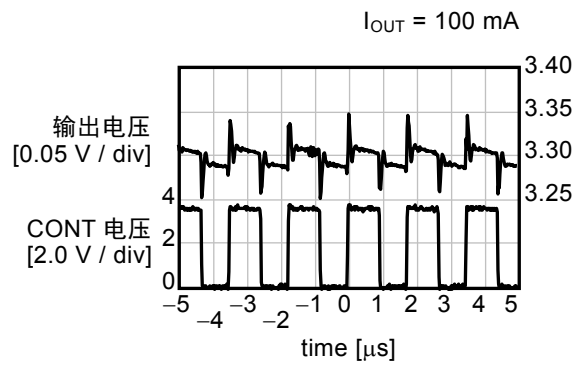
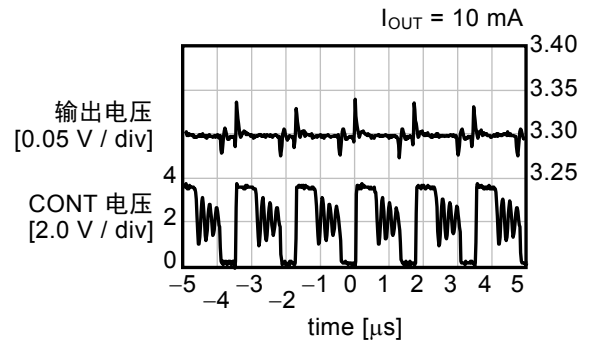
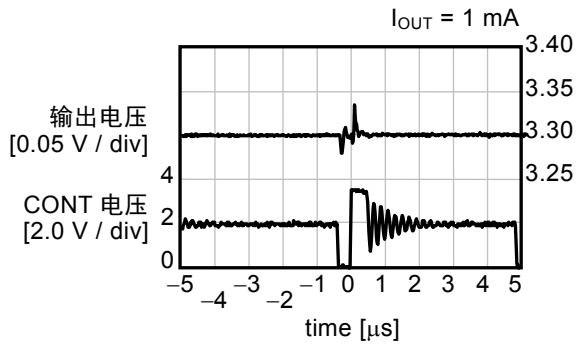


(2) S-8358F33MC



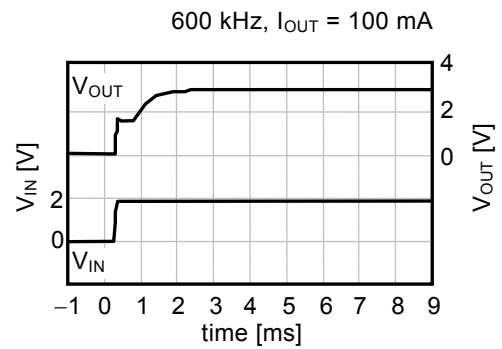
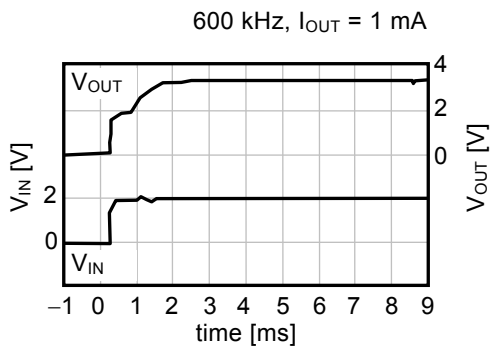
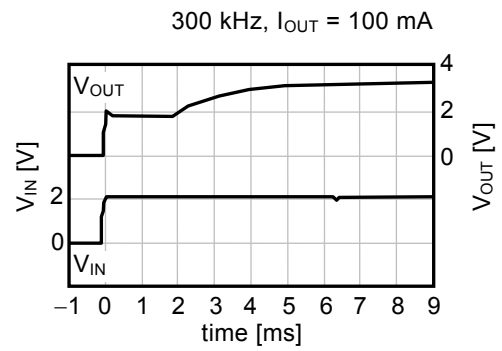
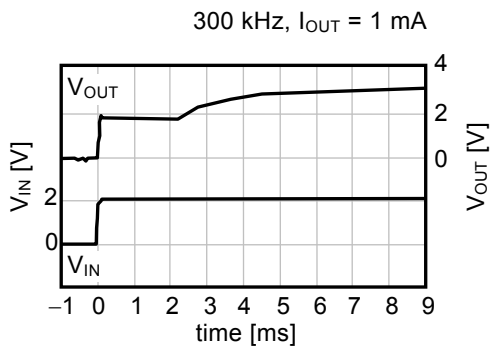
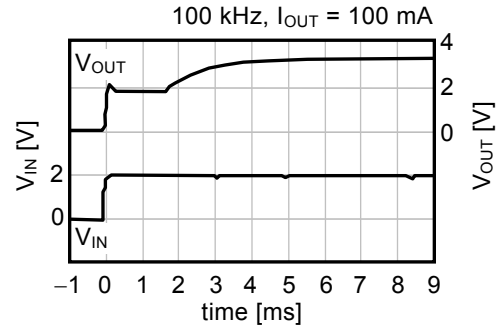
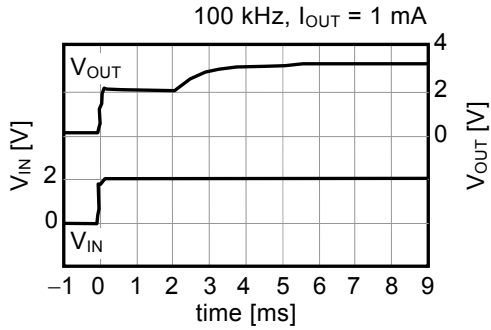


(3) S-8358N33MC

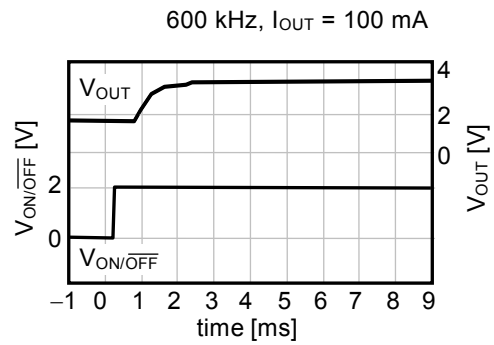
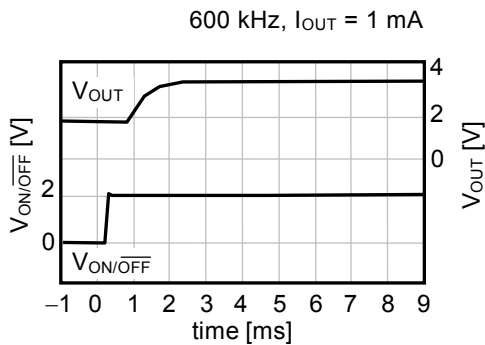
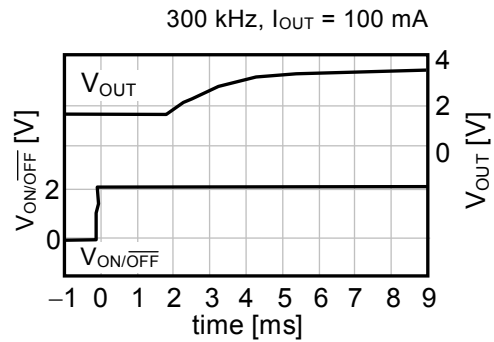
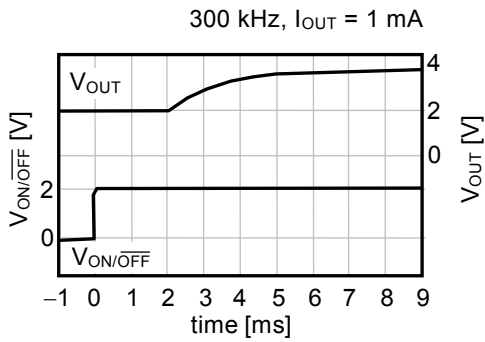
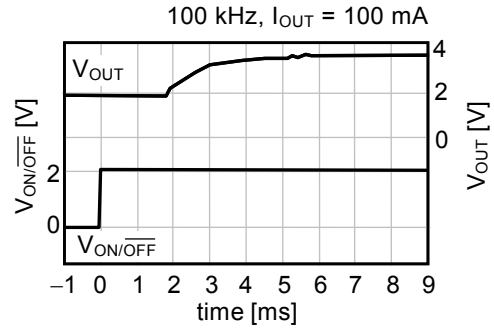
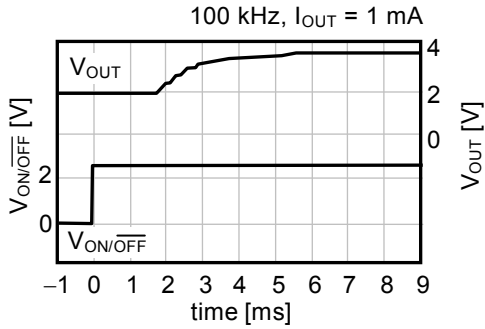


4. 过渡响应特性示例

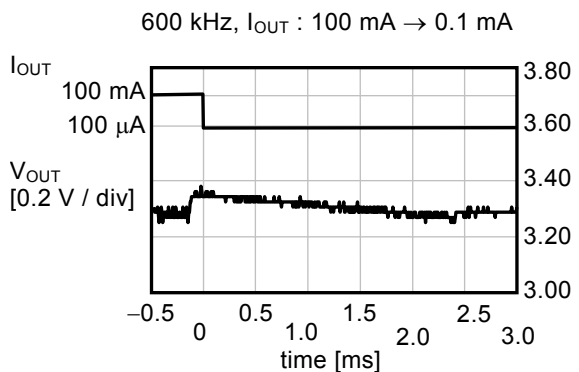
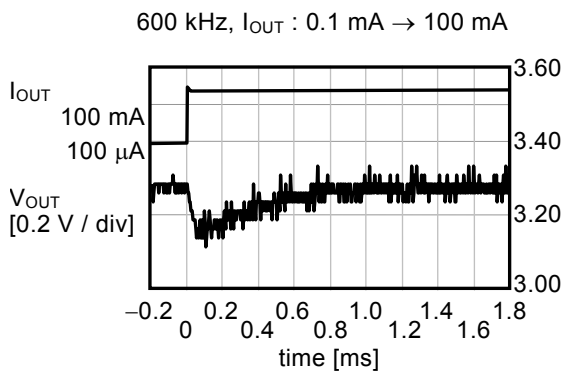
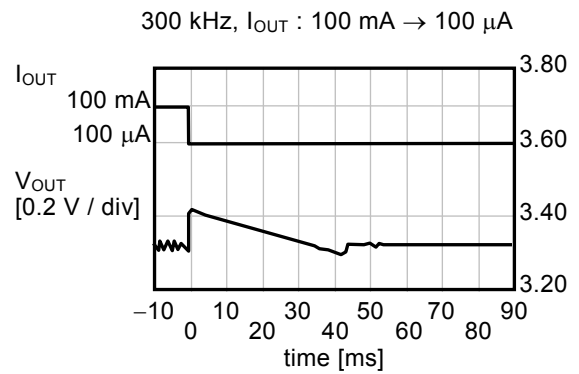
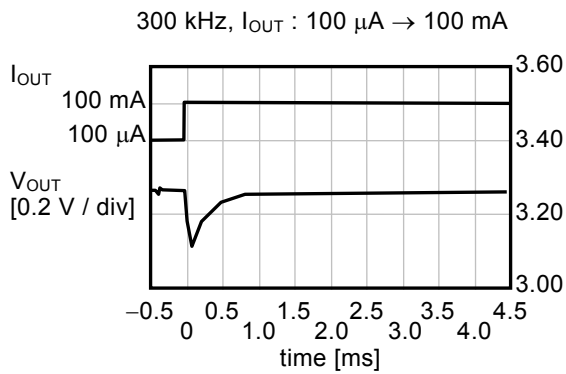
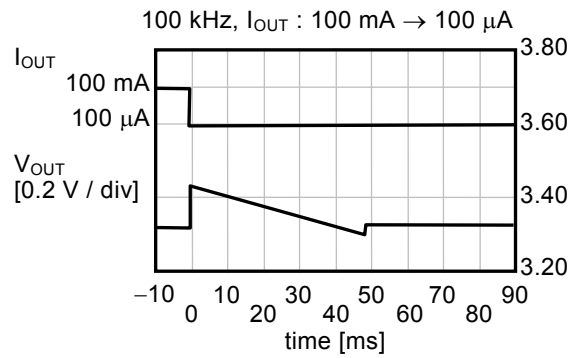
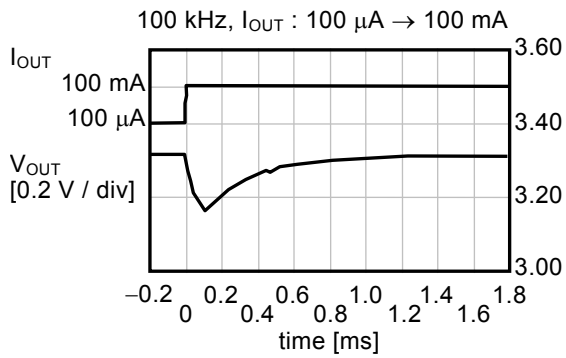
(1) 电源投入 ( $V_{IN}: 0\text{ V} \rightarrow 2\text{ V}$ )



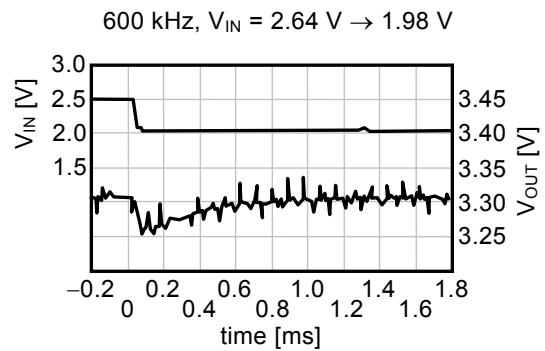
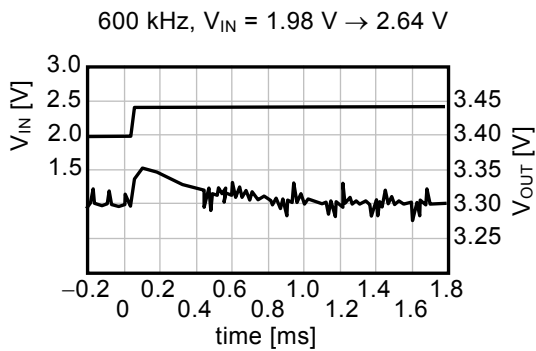
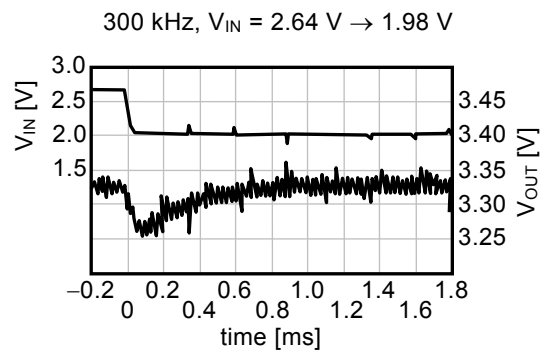
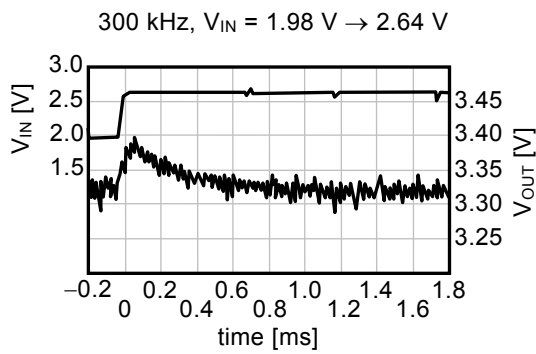
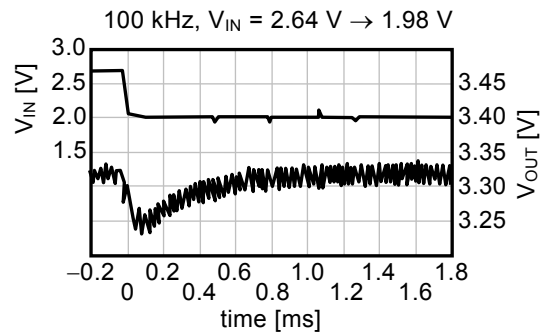
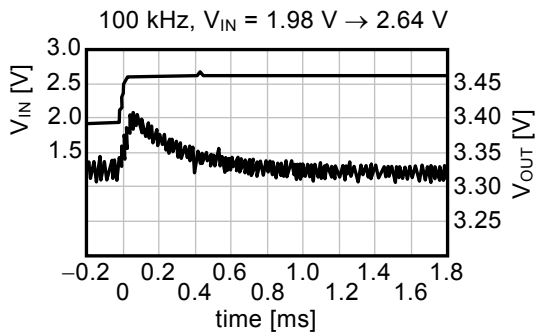
(2) ON/OFF 端子响应 ( $V_{ON/OFF} : 0\text{ V} \rightarrow 2\text{ V}$ )



(3) 负载变动



(4) 输入电压变动 ( $I_{OUT} = 100 \text{ mA}$ )



## ■ 参考数据

参考数据由具体的外接部件而决定。因此，在本数据表中列举了可以在各种用途下使用的外接部件以及其特性数据。

### 1. 参考数据用外接部件

表 27 效率—输出电流特性数据用以及输出电压—输出电流特性数据用外接部件

条件	产品名	振荡频率	输出电压	控制方式	电感器	晶体管	二极管	输出电容器	
1	S-8357F33	300 kHz	3.3 V	PWM	CDRH104R-220	FDN335N	M1FH3	F93(16 V, 47 $\mu$ F)×2	
2	S-8357F50	300 kHz	5.0 V	PWM					
3	S-8356M50	300 kHz	5.0 V	PWM / PFM					
4	S-8357B33	100 kHz	3.3 V	PWM					
5	S-8358B33	100 kHz	3.3 V	PWM / PFM					
6	S-8357B50	100 kHz	5.0 V	PWM					
7	S-8356M50	300 kHz	5.0 V	PWM / PFM	CDRH104R-470				
8	S-8357B33	100 kHz	3.3 V	PWM	CDRH8D28-220			MA2Z748	F93(16 V, 47 $\mu$ F)
9	S-8358B33	100 kHz	3.3 V	PWM / PFM					
10	S-8357B50	100 kHz	5.0 V	PWM					
11	S-8357F33	300 kHz	3.3 V	PWM					
12	S-8356M50	300 kHz	5.0 V	PWM / PFM	CXLP120-220	MCH3405	F92(6.3 V, 47 $\mu$ F)		
13	S-8357N33	600 kHz	3.3 V	PWM	CDRH8D28-100	FDN335N	M1FH3		F93(16 V, 47 $\mu$ F)
14	S-8357N50	600 kHz	5.0 V	PWM					
15	S-8356Q33	600 kHz	3.3 V	PWM / PFM					
16	S-8356Q50	600 kHz	5.0 V	PWM / PFM					

外接部件的性能如下所示。

表28 外接部件的性能

部件	产品名	生产厂家名	特性
电感器	CDRH104R-220	Sumida Corporation	22 $\mu$ H, DCR <sup>*1</sup> = 73 m $\Omega$ , I <sub>MAX.</sub> <sup>*2</sup> = 2.5 A, 部件高度 = 4.0 mm
	CDRH104R-470		47 $\mu$ H, DCR <sup>*1</sup> = 128 m $\Omega$ , I <sub>MAX.</sub> <sup>*2</sup> = 1.9 A, 部件高度 = 4.0 mm
	CDRH8D28-100		10 $\mu$ H, DCR <sup>*1</sup> = 47 m $\Omega$ , I <sub>MAX.</sub> <sup>*2</sup> = 2.7 A, 部件高度 = 3.0 mm
	CDRH8D28-220		22 $\mu$ H, DCR <sup>*1</sup> = 99 m $\Omega$ , I <sub>MAX.</sub> <sup>*2</sup> = 1.8 A, 部件高度 = 3.0 mm
	CDRH8D28-470		47 $\mu$ H, DCR <sup>*1</sup> = 195 m $\Omega$ , I <sub>MAX.</sub> <sup>*2</sup> = 1.25 A, 部件高度 = 3.0 mm
	CXLP120-220	Sumitomo Special Metals Co., Ltd	22 $\mu$ H, DCR <sup>*1</sup> = 590 m $\Omega$ , I <sub>MAX.</sub> <sup>*2</sup> = 0.55 A, 部件高度 = 1.2 mm
二极管	M1FH3	Shindengen Electric Manufacturing Co., Ltd.	V <sub>F</sub> <sup>*3</sup> = 0.3 V, I <sub>F</sub> <sup>*4</sup> = 1.5 A
	MA2Z748	Matsushita Electric Industrial Co., Ltd.	V <sub>F</sub> <sup>*3</sup> = 0.4 V, I <sub>F</sub> <sup>*4</sup> = 0.3 A
电容器 (输出容量)	F93	Nichicon Corporation	16 V, 47 $\mu$ F
	F92		6.3 V, 47 $\mu$ F
晶体管 (N沟道FET)	FDN335N	Fairchild Semiconductor Japan Ltd.	V <sub>DSS</sub> <sup>*5</sup> = 20 V 最大值, V <sub>GSS</sub> <sup>*6</sup> = 8 V 最大值, C <sub>ISS</sub> <sup>*7</sup> = 310 pF, I <sub>D</sub> <sup>*8</sup> = 1.5 A (V <sub>GS</sub> <sup>*6</sup> = 2.5 V)
	MCH3405	Sanyo Electric Co., Ltd.	V <sub>DSS</sub> <sup>*5</sup> = 20 V 最大值, V <sub>GSS</sub> <sup>*6</sup> = 10 V 最大值, C <sub>ISS</sub> <sup>*7</sup> = 280 pF, I <sub>D</sub> <sup>*8</sup> = 0.5 A (V <sub>GS</sub> <sup>*6</sup> = 1.8 V)

- \*1. 直流电阻
- \*2. 最大容许电流
- \*3. 正向电压
- \*4. 正向电流
- \*5. 漏极与源极间电压
- \*6. 门极与源极间电压
- \*7. 输入容量
- \*8. 漏极电阻

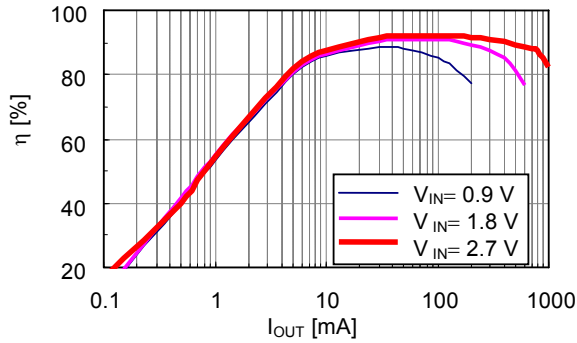
注意 表28的各种特性数据是基于各厂家的资料列举的, 请在充分确认各厂家的资料后再使用。

2. 输出电流( $I_{OUT}$ ) - 效率( $\eta$ )特性、输出电流( $I_{OUT}$ ) - 输出电压( $V_{OUT}$ )特性

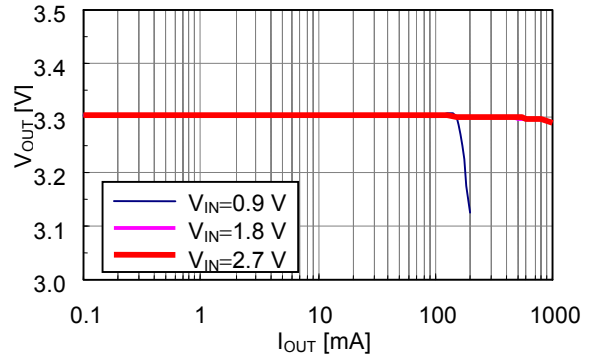
按照表 27 的条件 1 ~ 16, 实际的(a) 输出电流( $I_{OUT}$ ) - 效率( $\eta$ )特性、(b) 输出电流( $I_{OUT}$ ) - 输出电压( $V_{OUT}$ )特性如下所示。

条件1 S-8357F33

(a) 输出电流( $I_{OUT}$ ) - 效率( $\eta$ )特性

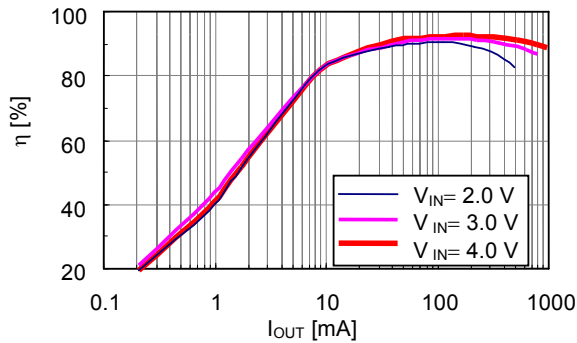


(b) 输出电流( $I_{OUT}$ ) - 输出电压( $V_{OUT}$ )特性

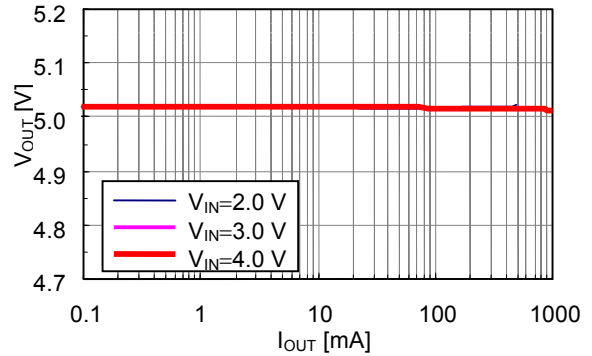


条件2 S-8357F50

(a) 输出电流( $I_{OUT}$ ) - 效率( $\eta$ )特性

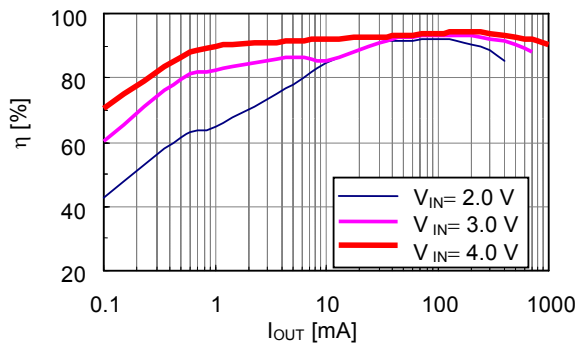


(b) 输出电流( $I_{OUT}$ ) - 输出电压( $V_{OUT}$ )特性

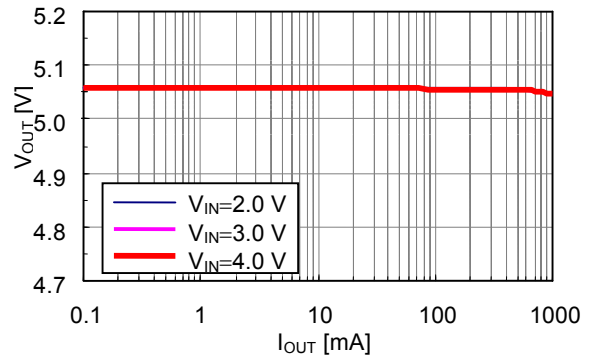


条件3 S-8356M50

(a) 输出电流( $I_{OUT}$ ) - 效率( $\eta$ )特性



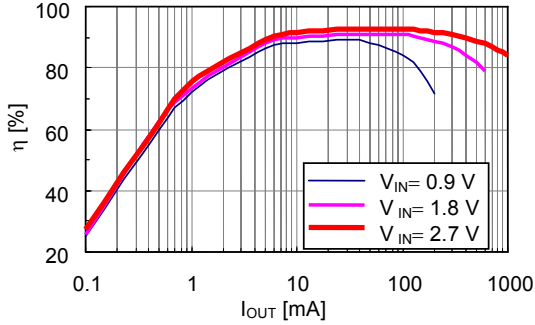
(b) 输出电流( $I_{OUT}$ ) - 输出电压( $V_{OUT}$ )特性



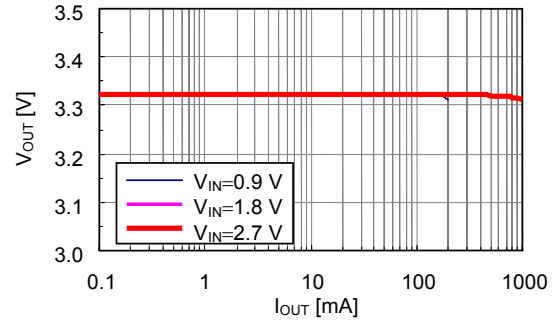


**条件4 S-8357B33**

(a) 输出电流( $I_{OUT}$ ) - 效率( $\eta$ )特性

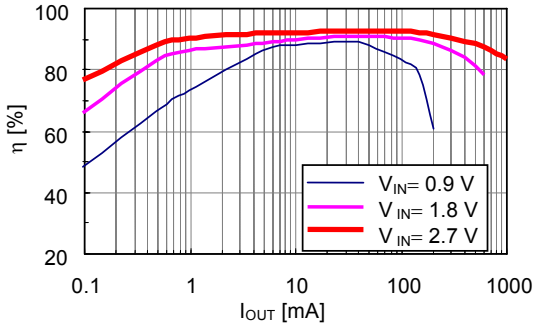


(b) 输出电流( $I_{OUT}$ ) - 输出电压( $V_{OUT}$ )特性

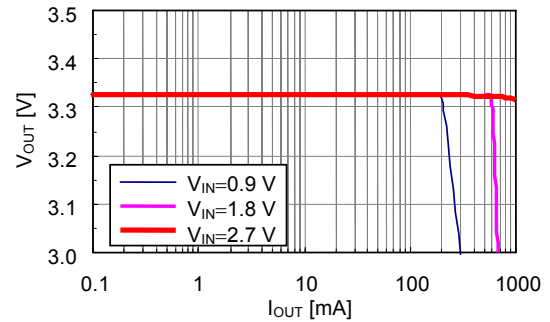


**条件5 S-8358B33**

(a) 输出电流( $I_{OUT}$ ) - 效率( $\eta$ )特性

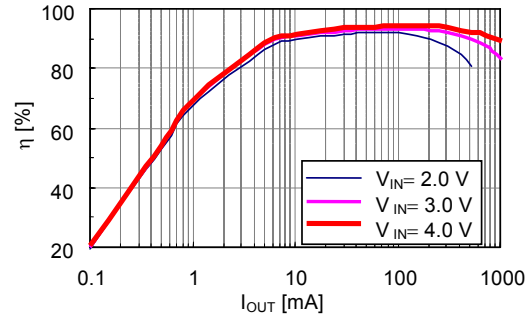


(b) 输出电流( $I_{OUT}$ ) - 输出电压( $V_{OUT}$ )特性

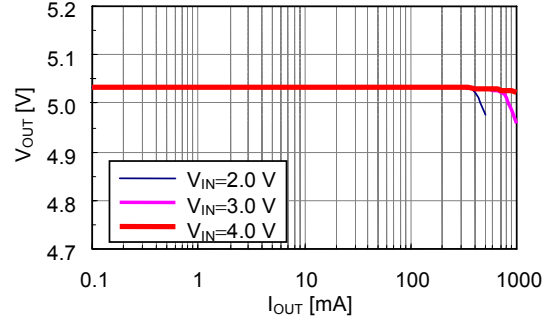


**条件6 S-8357B50**

(a) 输出电流( $I_{OUT}$ ) - 效率( $\eta$ )特性

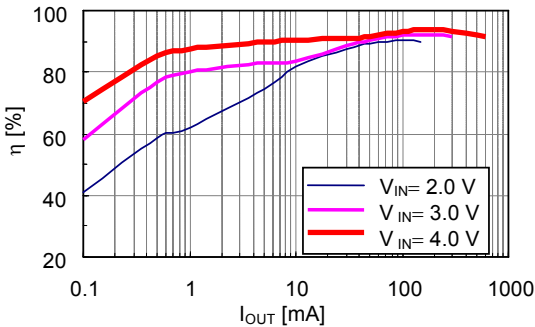


(b) 输出电流( $I_{OUT}$ ) - 输出电压( $V_{OUT}$ )特性

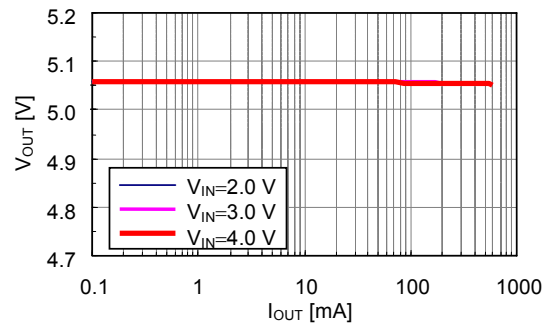


**条件7 S-8356M50**

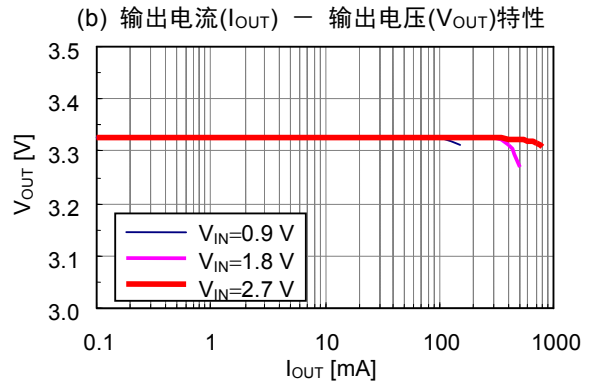
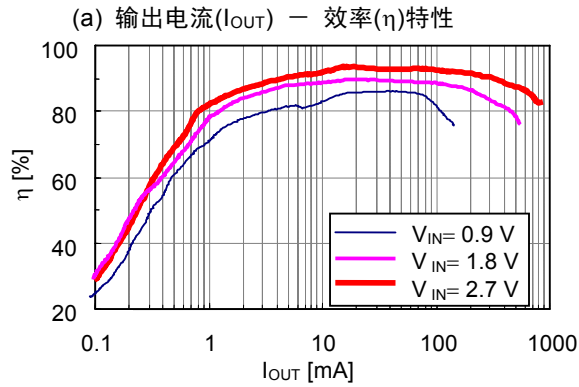
(a) 输出电流( $I_{OUT}$ ) - 效率( $\eta$ )特性



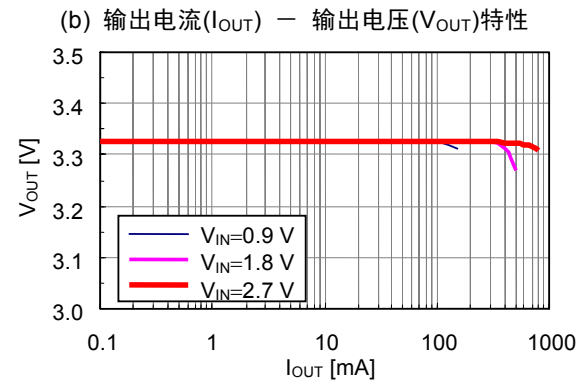
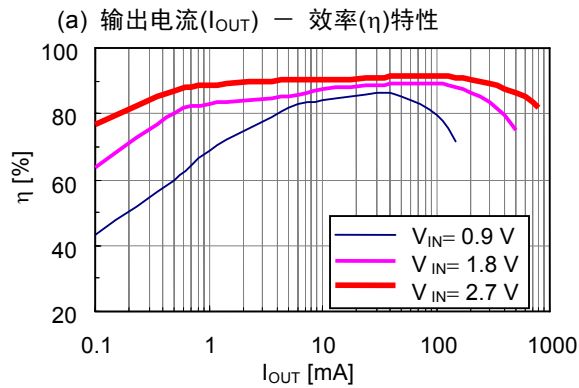
(b) 输出电流( $I_{OUT}$ ) - 输出电压( $V_{OUT}$ )特性



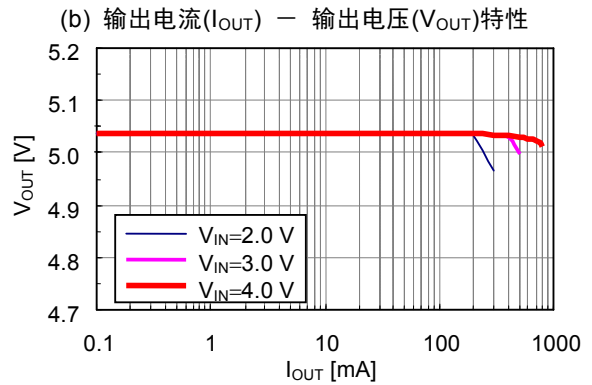
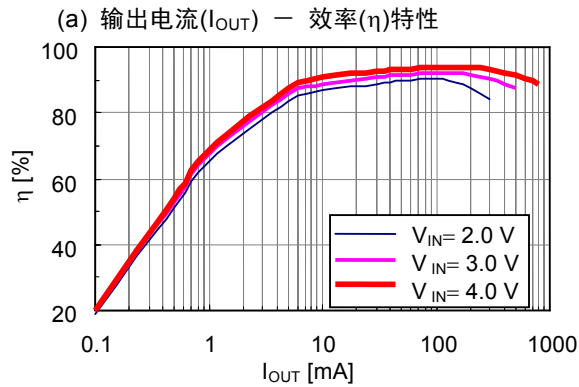
条件8 S-8357B33



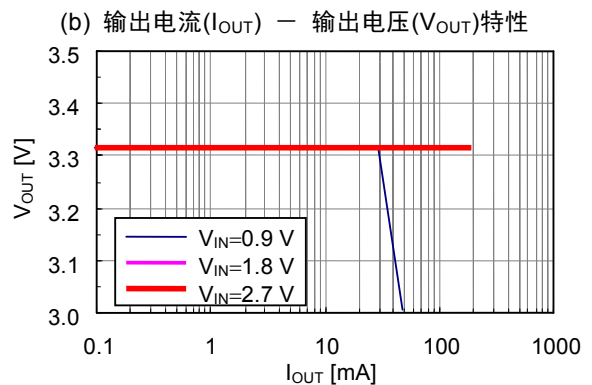
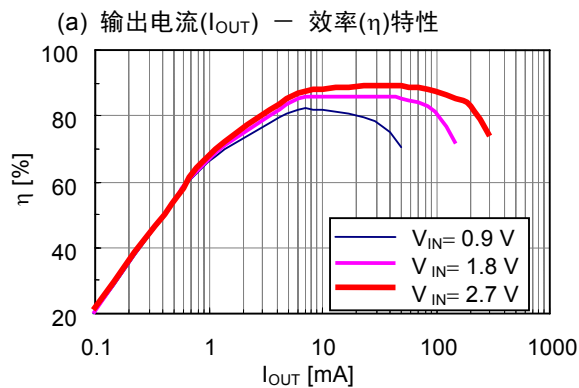
条件9 S-8358B33



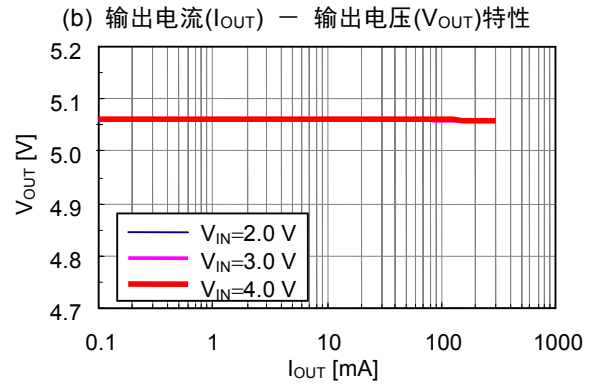
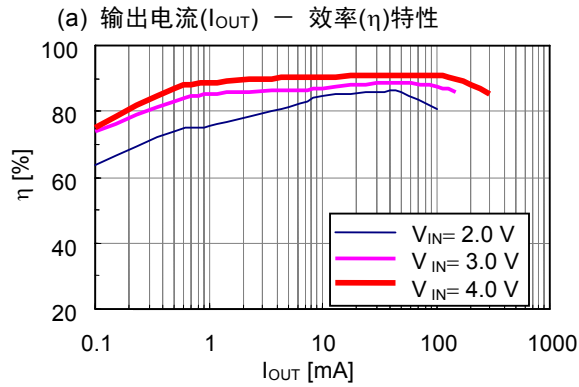
条件10 S-8357B50



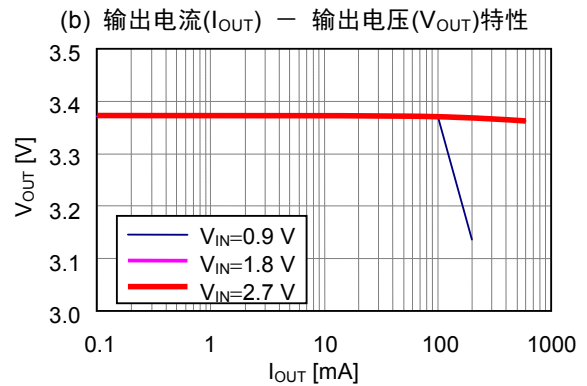
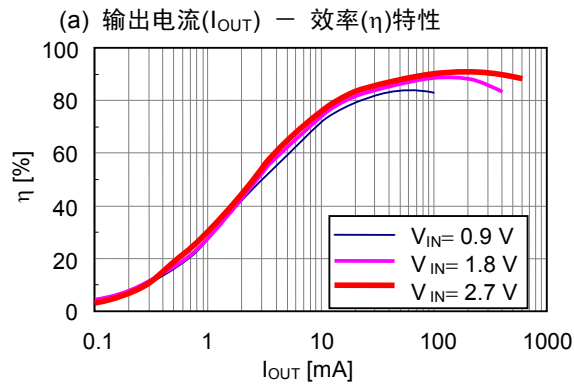
条件11 S-8357F33



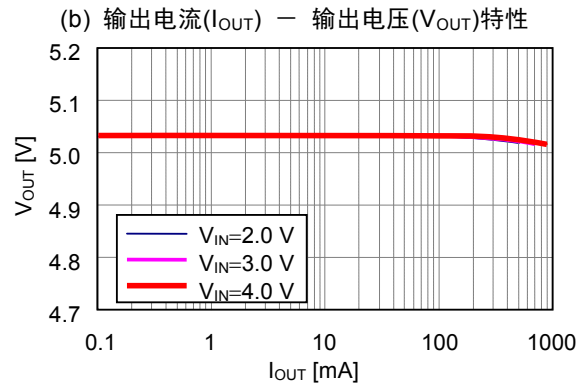
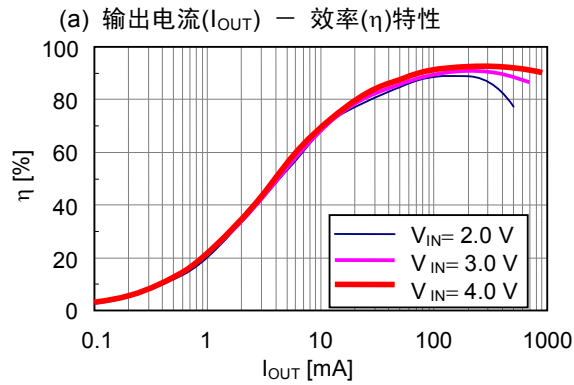
**条件12 S-8356M50**



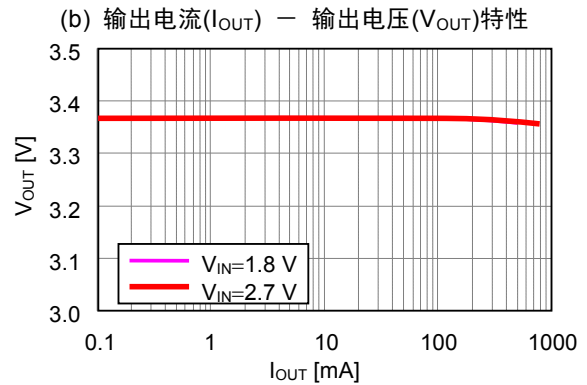
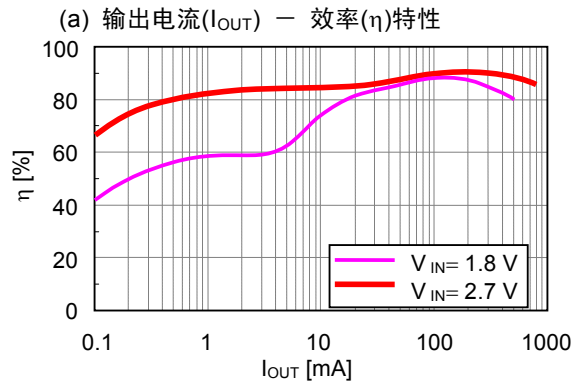
**条件13 S-8357N33**



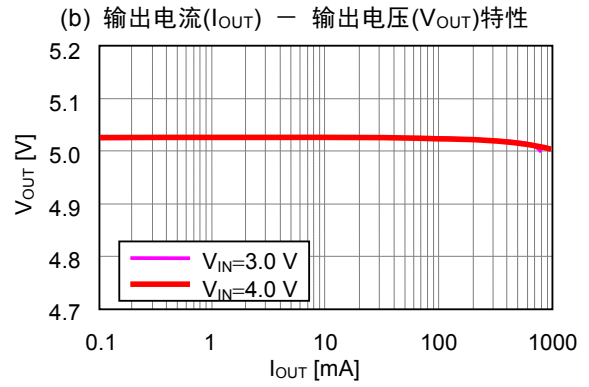
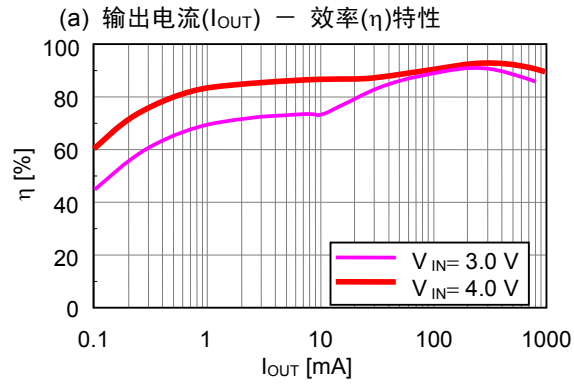
**条件14 S-8357N50**



**条件15 S-8356Q33**



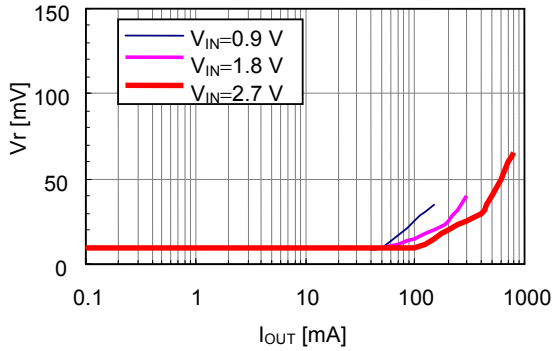
条件16 S-8356Q50



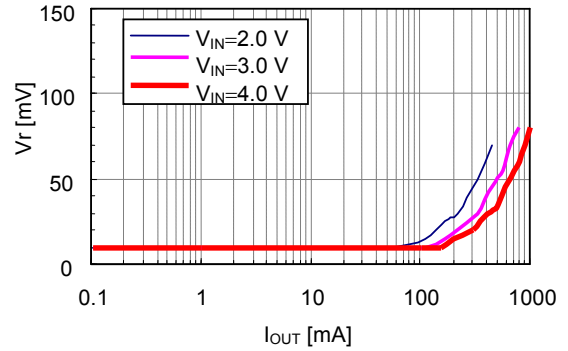
3. 输出电流( $I_{OUT}$ ) — 纹波电压( $V_r$ )特性

按照表 27 的条件 1 ~ 16, 实际的输出电流( $I_{OUT}$ ) — 纹波电压( $V_r$ )特性如下所示。

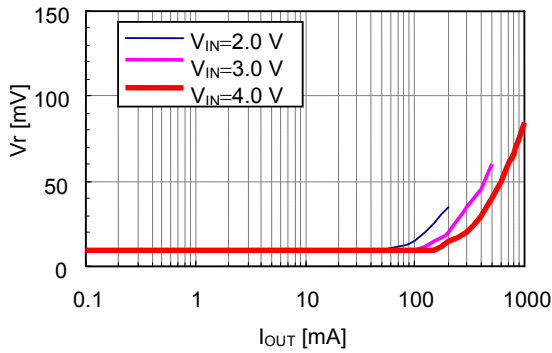
条件 1 S-8357F33



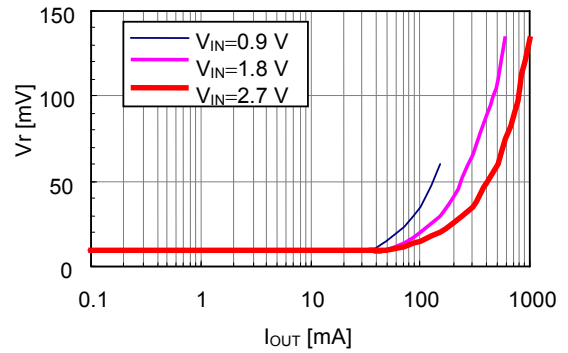
条件 2 S-8357F50



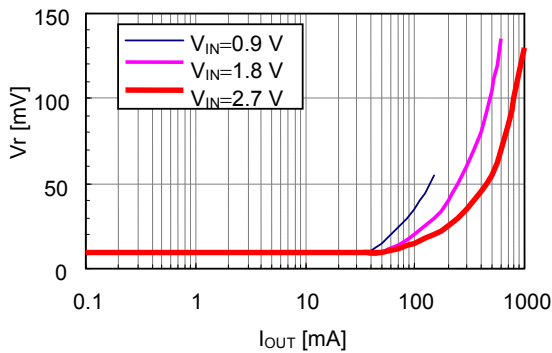
条件 3 S-8356M50



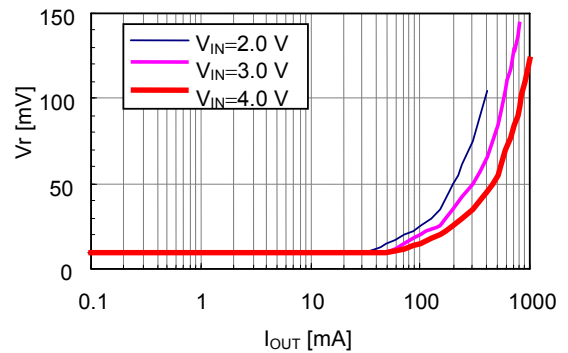
条件 4 S-8357B33



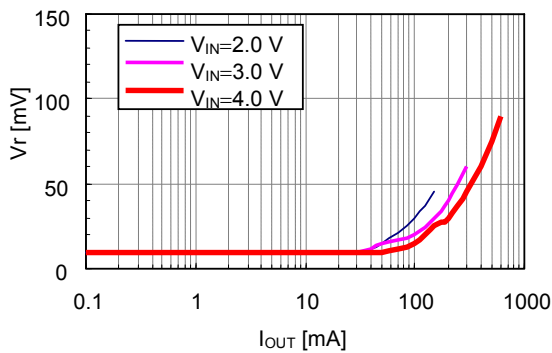
条件 5 S-8358B33



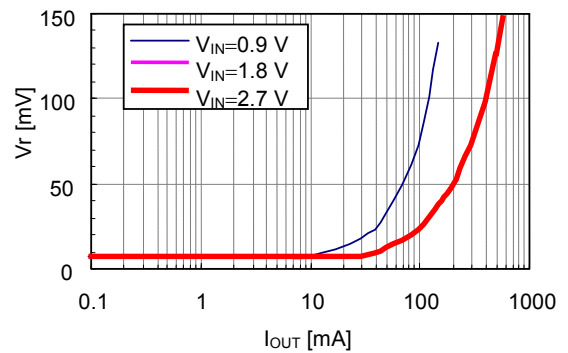
条件 6 S-8357B50



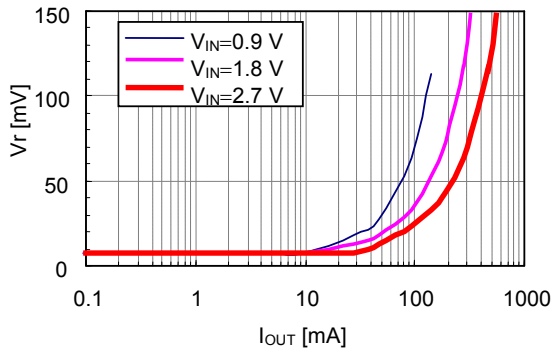
条件 7 S-8356M50



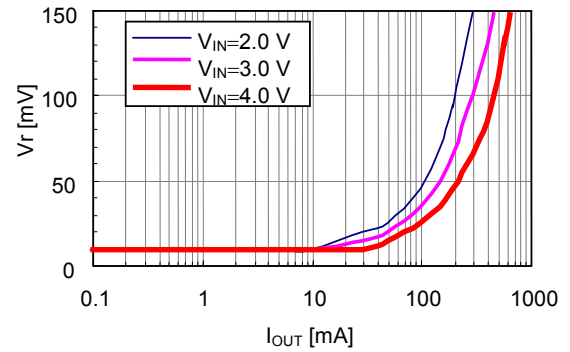
条件 8 S-8357B33



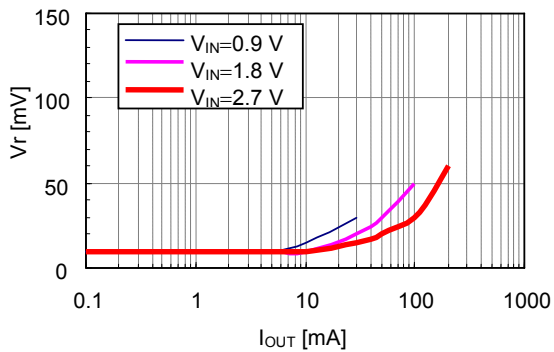
条件 9 S-8358B33



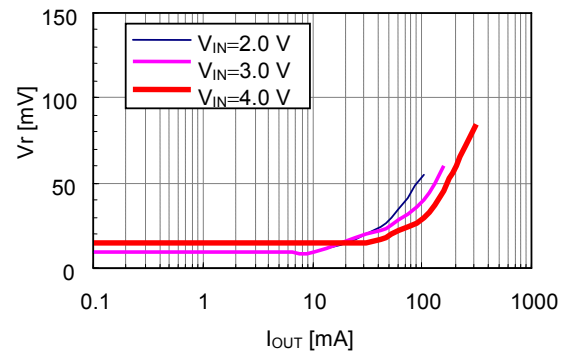
条件 10 S-8357B50



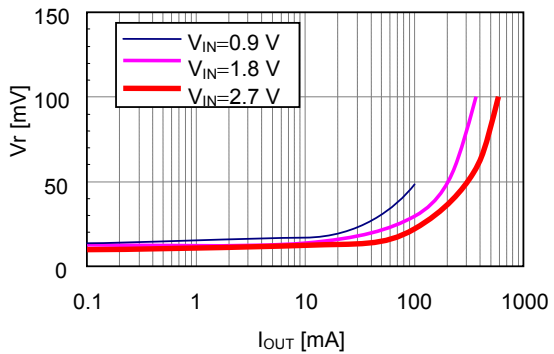
条件 11 S-8357F33



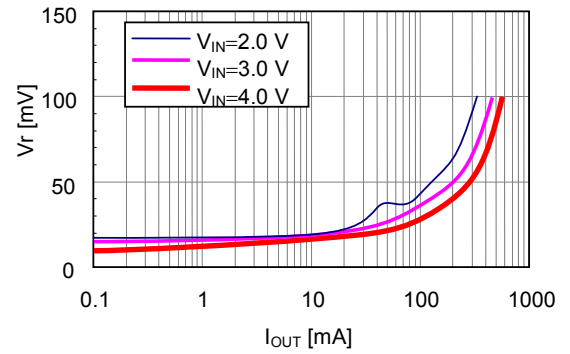
条件 12 S-8356M50



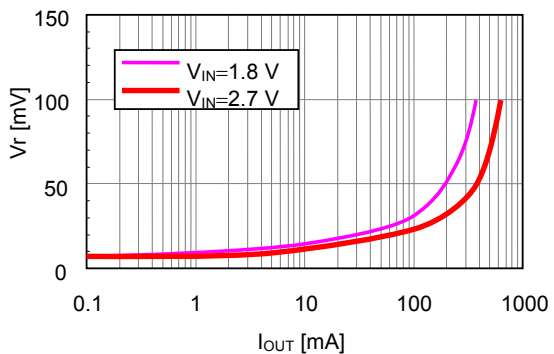
条件 13 S-8357N33



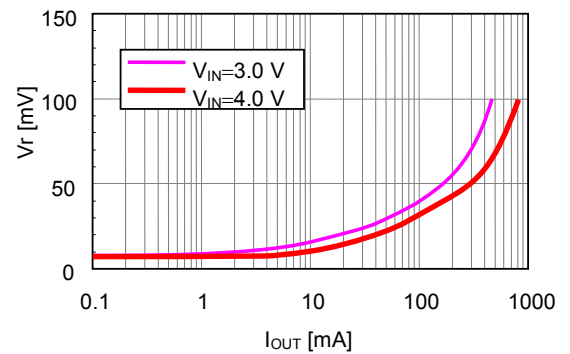
条件 14 S-8357N50



条件 15 S-8356Q33



条件 16 S-8356Q50





No. MP003-A-P-SD-1.2

TITLE	SOT233-A-PKG Dimensions
No.	MP003-A-P-SD-1.2
ANGLE	
UNIT	mm
<b>ABLIC Inc.</b>	



No. MP003-A-C-SD-2.0

TITLE	SOT233-A-Carrier Tape
No.	MP003-A-C-SD-2.0
ANGLE	
UNIT	mm
<b>ABLIC Inc.</b>	





Enlarged drawing in the central part



No. MP003-A-R-SD-1.1

TITLE	SOT233-A-Reel		
No.	MP003-A-R-SD-1.1		
ANGLE		QTY.	3,000
UNIT	mm		
<b>ABLIC Inc.</b>			



No. MP005-A-P-SD-1.3

TITLE	SOT235-A-PKG Dimensions
No.	MP005-A-P-SD-1.3
ANGLE	
UNIT	mm
<b>ABLIC Inc.</b>	



Feed direction →

No. MP005-A-C-SD-2.1

TITLE	SOT235-A-Carrier Tape
No.	MP005-A-C-SD-2.1
ANGLE	
UNIT	mm
<b>ABLIC Inc.</b>	



Enlarged drawing in the central part



No. MP005-A-R-SD-1.1

TITLE	SOT235-A-Reel		
No.	MP005-A-R-SD-1.1		
ANGLE		QTY.	3,000
UNIT	mm		
<b>ABLIC Inc.</b>			



No. UP003-A-P-SD-2.0

TITLE	SOT893-A-PKG Dimensions
No.	UP003-A-P-SD-2.0
ANGLE	
UNIT	mm

**ABLIC Inc.**



Feed direction →

No. UP003-A-C-SD-2.0

TITLE	SOT893-A-Carrier Tape
No.	UP003-A-C-SD-2.0
ANGLE	
UNIT	mm
<b>ABLIC Inc.</b>	



Enlarged drawing in the central part



No. UP003-A-R-SD-1.1

TITLE	SOT893-A-Reel		
No.	UP003-A-R-SD-1.1		
ANGLE		QTY.	1,000
UNIT	mm		
<b>ABLIC Inc.</b>			

## 免责声明 (使用注意事项)

1. 本资料记载的所有信息 (产品数据、规格、图、表、程序、算法、应用电路示例等) 是本资料公开时的最新信息, 有可能未经预告而更改。
2. 本资料记载的电路示例、使用方法仅供参考, 并非保证批量生产的设计。  
使用本资料的信息后, 发生并非因本资料记载的产品 (以下称本产品) 而造成的损害, 或是发生对第三方知识产权等权利侵犯情况, 本公司对此概不承担任何责任。
3. 因本资料记载的内容有说明错误而导致的损害, 本公司对此概不承担任何责任。
4. 请注意在本资料记载的条件范围内使用产品, 特别请注意绝对最大额定值、工作电压范围和电气特性等。  
因在本资料记载的条件范围外使用产品而造成的故障和 (或) 事故等的损害, 本公司对此概不承担任何责任。
5. 在使用本产品时, 请确认使用国家、地区以及用途的法律、法规, 测试产品用途的满足能力和安全性能。
6. 本产品出口海外时, 请遵守外汇交易及外国贸易法等出口法令, 办理必要的相关手续。
7. 严禁将本产品用于以及提供 (出口) 于开发大规模杀伤性武器或军事用途。对于如提供 (出口) 给开发、制造、使用或储藏核武器、生物武器、化学武器及导弹, 或有其他军事目的者的情况, 本公司对此概不承担任何责任。
8. 本产品并非是设计用于可能对人体、生命及财产造成损失的设备或装置的部件 (医疗设备、防灾设备、安全防范设备、燃料控制设备、基础设施控制设备、车辆设备、交通设备、车载设备、航空设备、太空设备及核能设备等)。本公司指定的车载用途例外。上述用途未经本公司的书面许可不得使用。本资料所记载的产品不能用于生命维持装置、植入人体使用的设备等直接影响人体生命的设备。考虑使用于上述用途时, 请务必事先与本公司营业部门商谈。  
本公司指定用途以外使用本资料记载的产品而导致的损害, 本公司对此概不承担任何责任。
9. 半导体产品可能有一定的概率发生故障或误工作。  
为了防止因本产品的故障或误工作而导致的人身事故、火灾事故、社会性损害等, 请客户自行负责进行冗长设计、防止火势蔓延措施、防止误工作等安全设计。并请对整个系统进行充分的评价, 客户自行判断适用的可否。
10. 本产品非耐放射线设计产品。请客户根据用途, 在产品设计的过程中采取放射线防护措施。
11. 本产品在一般的使用条件下, 不会影响人体健康, 但因含有化学物质和重金属, 所以请不要将其放入口中。另外, 晶元和芯片的破裂面可能比较尖锐, 徒手接触时请注意防护, 以免受伤等。
12. 废弃本产品时, 请遵守使用国家和地区的法令, 合理地处理。
13. 本资料中也包含了与本公司的著作权和专有知识有关的内容。  
本资料记载的内容并非是对本公司或第三方的知识产权、其它权利的实施及使用的承诺或保证。严禁在未经本公司许可的情况下转载、复制或向第三方公开本资料的一部分或全部。
14. 有关本资料的详细内容, 请向本公司营业部门咨询。

2.2-2018.06



**ABLIC**

艾普凌科有限公司  
www.ablic.com